

基研研究会「素粒子物理学の進展2013」

2013年8月7日

# LHC Non-SUSY BSM 探索の現状と展望

寺師 弘二

東京大学 素粒子物理国際研究センター



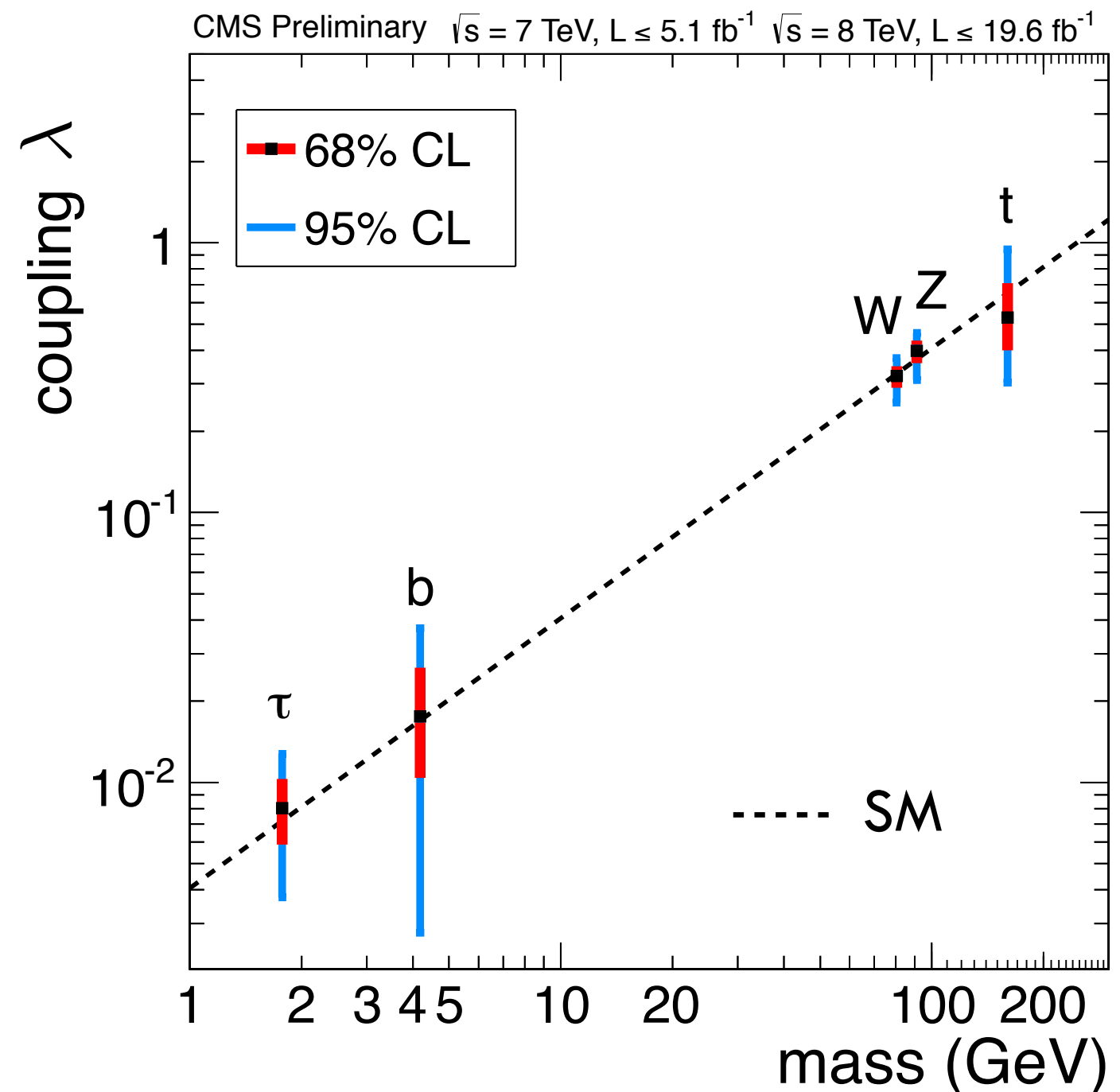
# “Higgs” Discovery

ヒッグス粒子が発見された!!

- ▶  $H \rightarrow \gamma\gamma, WW, ZZ, \tau\tau(?)$ を確認
- ▶ VBF生成も確認
- ▶ 断面積はSMヒッグスと無矛盾
- ▶ スピン・結合定数もSMヒッグスと無矛盾  
(というか良く合っている)

結合定数と質量がほぼ比例している

→ **Electroweak Symmetry Breaking**と関係がある!!

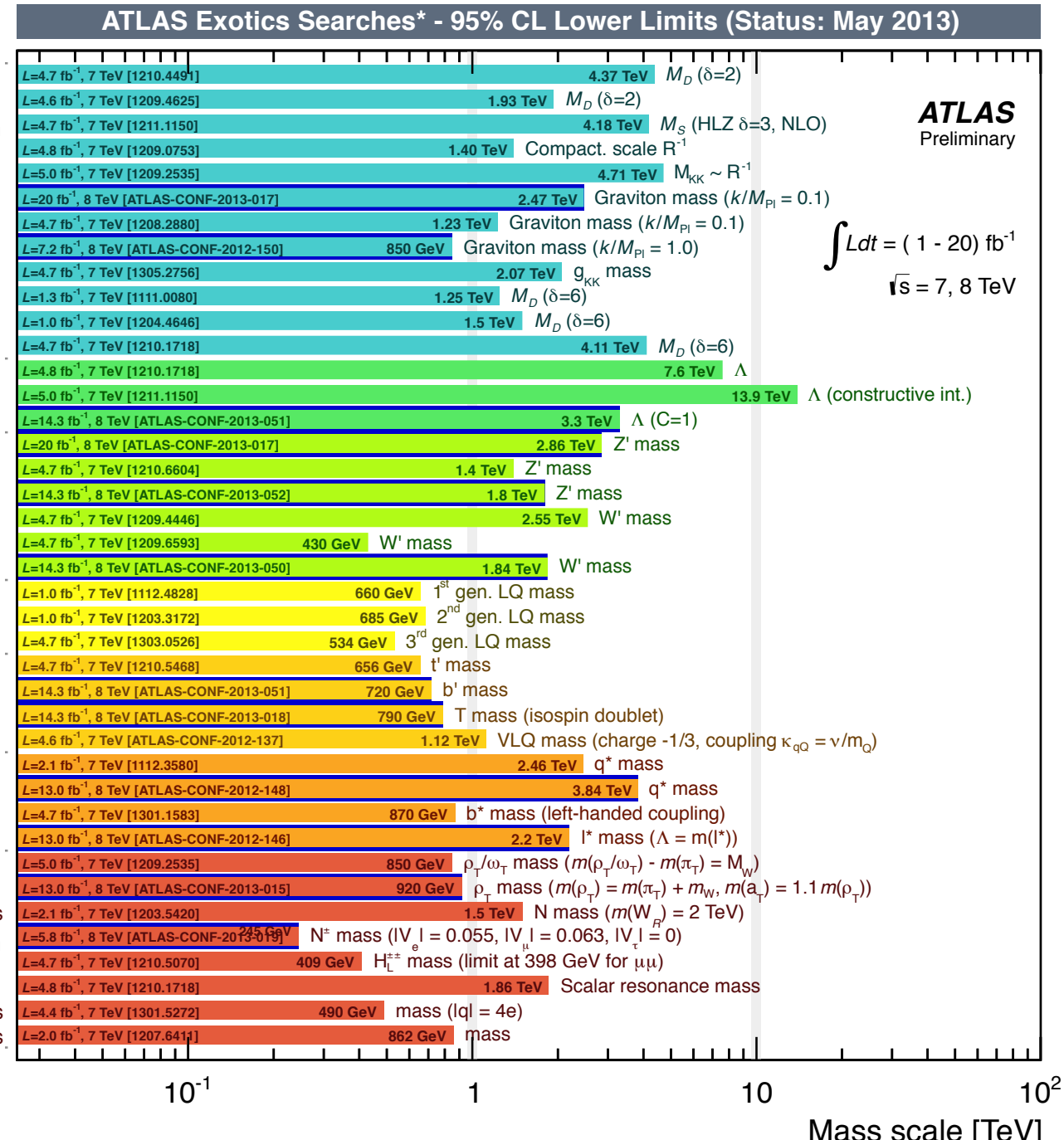


# “Higgs” Discovery

ヒッグス粒子が発見された!!

- ▶  $H \rightarrow \gamma\gamma, WW, ZZ, \tau\tau(?)$  を確認
- ▶ VBF生成も確認
- ▶ 断面積はSMヒッグスと無矛盾
- ▶ スピン・結合定数もSMヒッグスと無矛盾  
(というか良く合っている)

が、ヒッグス以外にはSUSYも何も見えていない。。。。



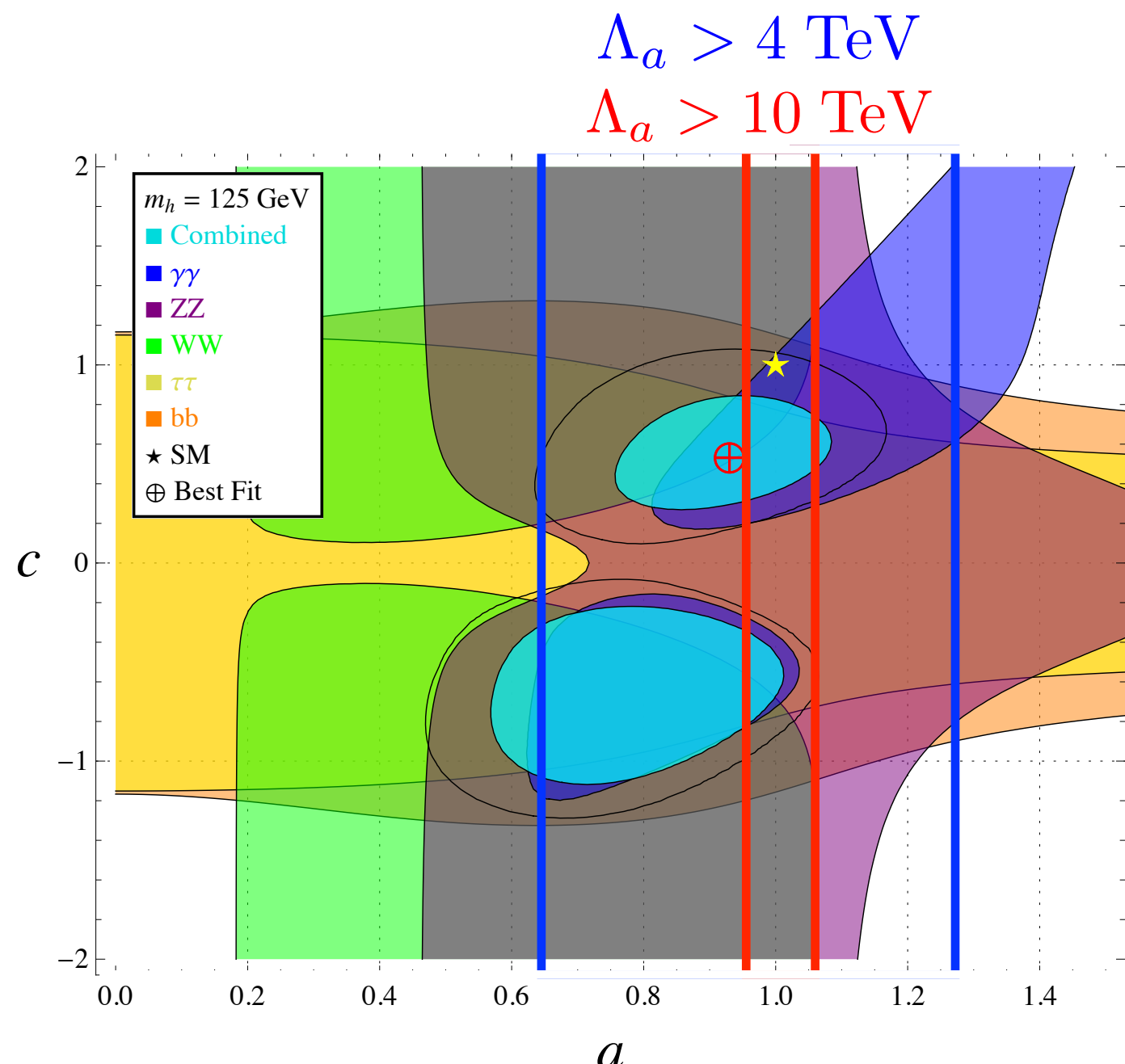
# “Higgs” Discovery

ヒッグス粒子が発見された!!

- ▶  $H \rightarrow \gamma\gamma, WW, ZZ, \tau\tau(?)$ を確認
- ▶ VBF生成も確認
- ▶ 断面積はSMヒッグスと無矛盾
- ▶ スピン・結合定数もSMヒッグスと無矛盾  
(というか良く合っている)

が、ヒッグス以外にはSUSYも何も見えていない。。。。

新物理が現れるエネルギー  
スケールは高いのかも。。。



$$\Lambda_a = \frac{4\pi v}{\sqrt{|1 - a^2|}}$$

# “Higgs” Discovery

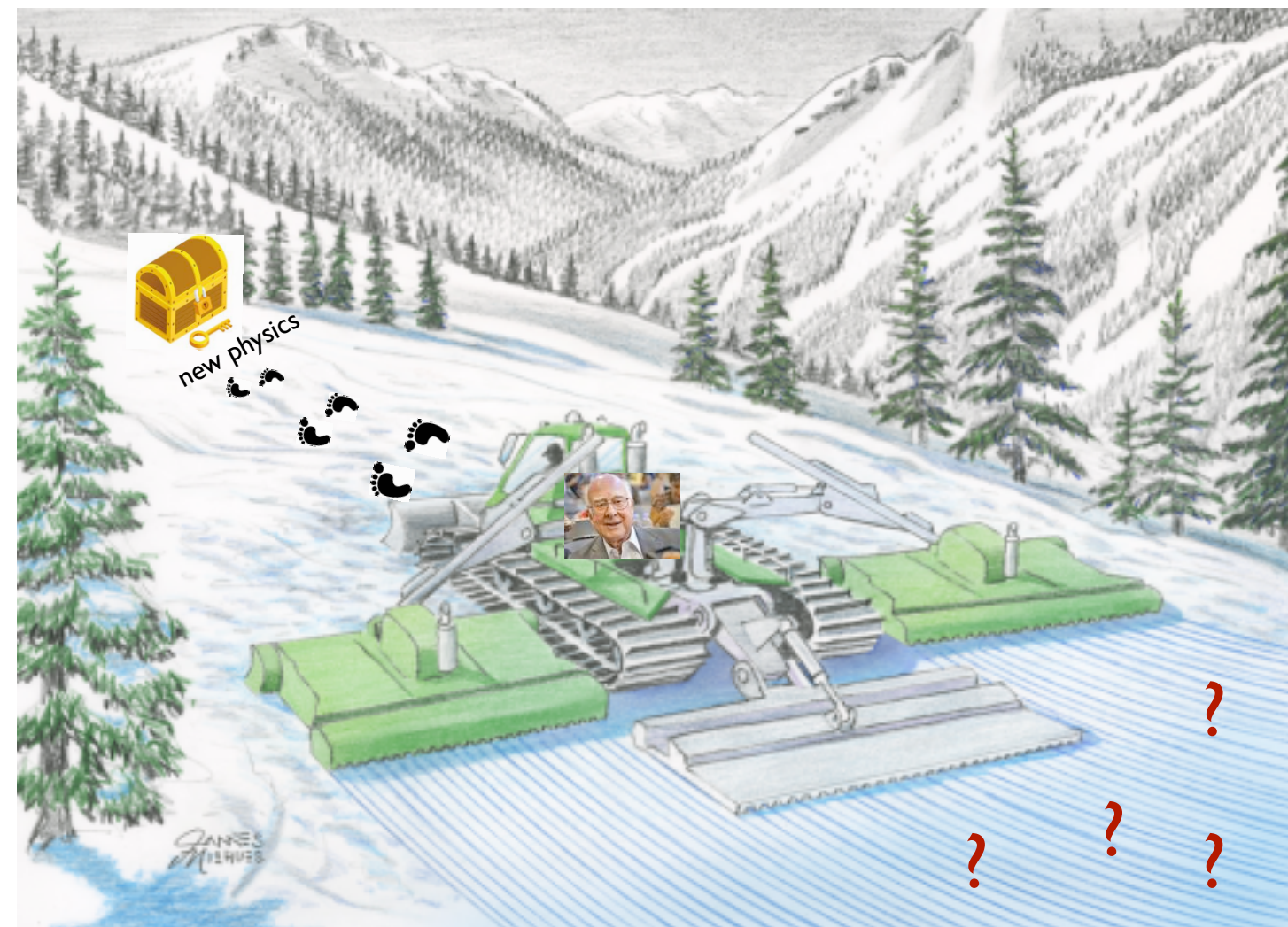
ヒッグス粒子が発見された!!

- ▶  $H \rightarrow \gamma\gamma, WW, ZZ, \tau\tau(?)$ を確認
- ▶ VBF生成も確認
- ▶ 断面積はSMヒッグスと無矛盾
- ▶ スピン・結合定数もSMヒッグスと無矛盾  
(というか良く合っている)

が、ヒッグス以外にはSUSYも何も見えていない。。。。

新物理が現れるエネルギー  
スケールは高いのかも。。。

Les Houches 2013, A Weiler



とは言っても、我々実験屋は探し続けなければならぬ!!

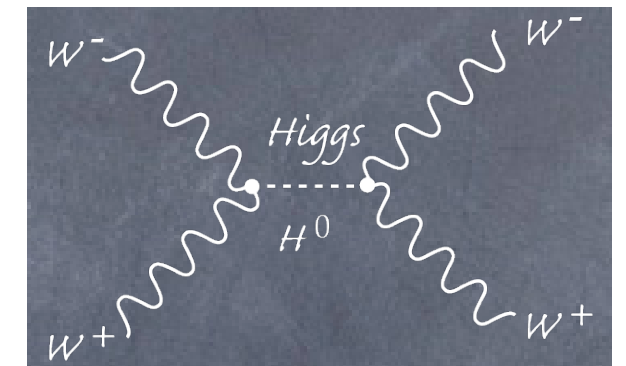
でも何かヒントは欲しい。。。  
→ やはりEWSBセクターに何かある？

# Elementary vs Composite?

より具体的には

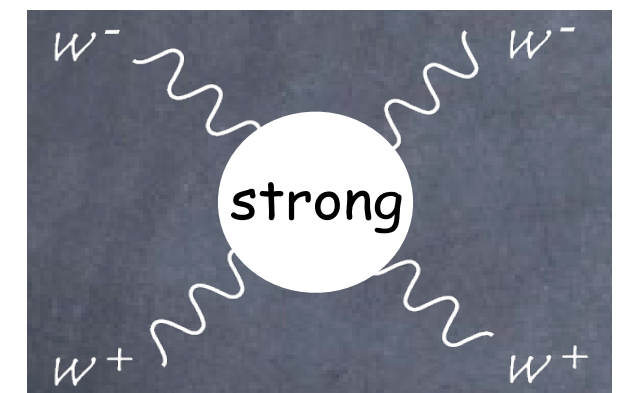
ヒッグスはElementary scalar粒子か？

- ▶ Weakly interacting model (SM? SUSY? Others?)
- ▶ MSSMだと1%以下のFine-tuningが必要



ヒッグスはComposite粒子か？

- ▶ Strongly interacting model (Technicolor? Little Higgs? Others?)
- ▶ より基本的な粒子から構成される  
(→新しいゲージ相互作用?)
- ▶ Fine-tuningは比較的少ない
- ▶ ヒッグス +  $\rho$  共鳴で  $VV$  散乱振幅のユニタリティー性はOK



いずれにしろ、ヒッグスの性質測定は非常に大事 (→ 花垣さん)

ヒッグス ≈ Composite粒子？をLHCで直接検証したい。

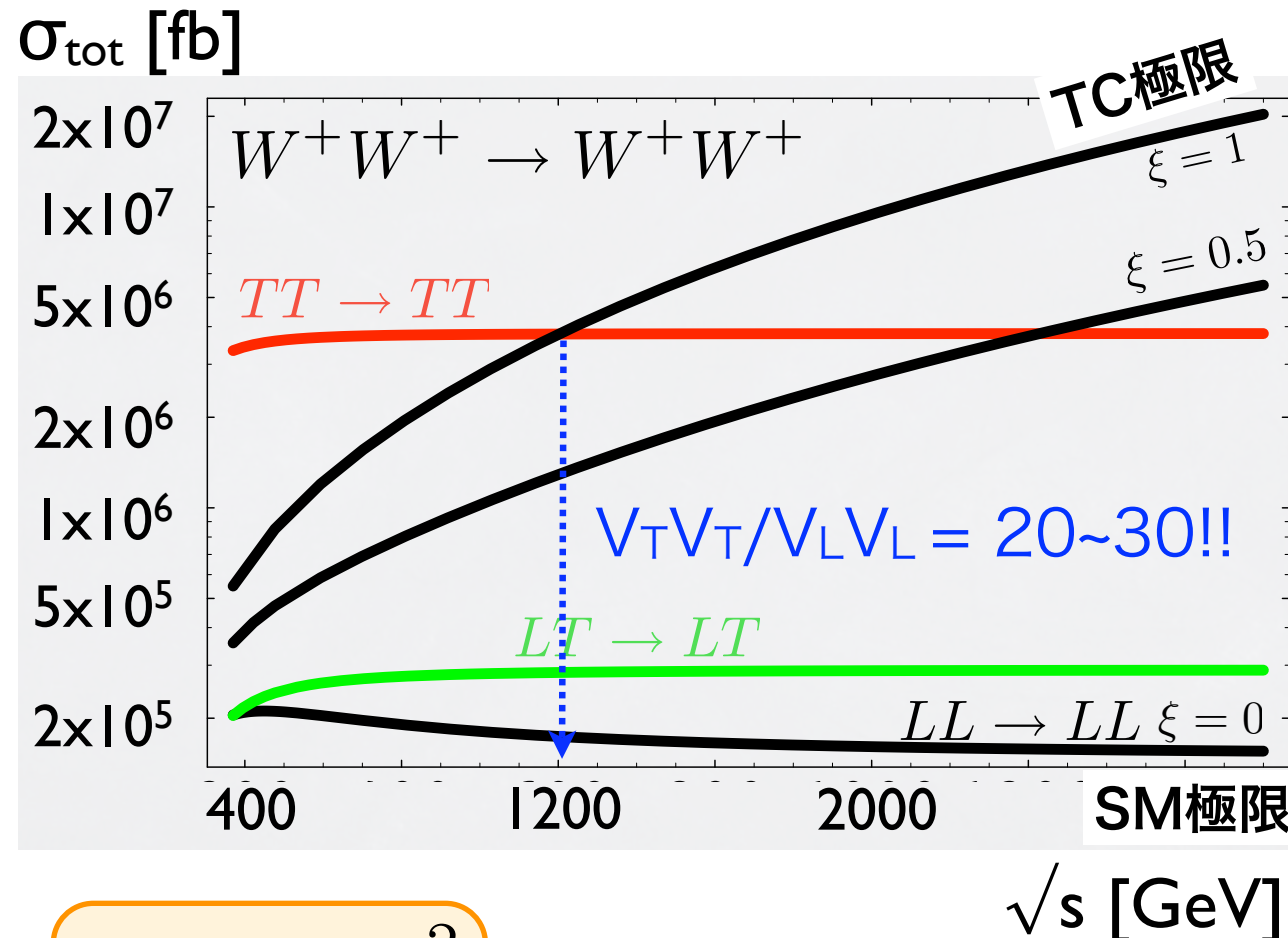
# Probing Composite Higgs (I)

Composite粒子としてのヒッグスを検証できるか？

1) もしCompositeなら、VV散乱振幅に何かヒントが見えるはず。

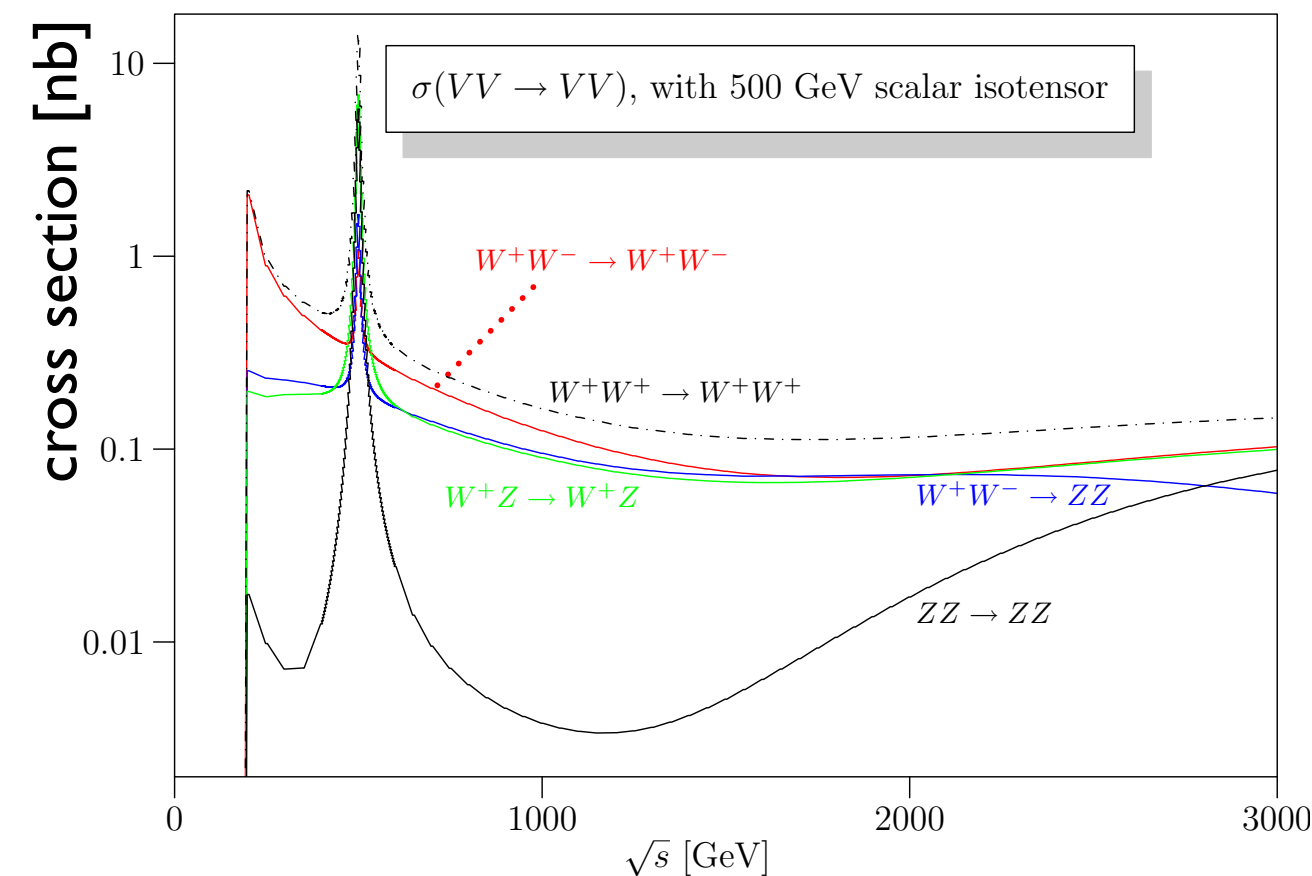
- ▶ SM予想とのずれ?  
→ **VV散乱断面積の測定**

- ▶ ユニタリティーを回復させる  
機構がある?  
→ **VBSでの共鳴状態の探索**



$$\xi = \left( \frac{v}{f} \right)^2$$

vev (weak scale)  
strong coupling scale



# Probing Composite Higgs (II)

## Composite粒子としてのヒッグスを検証できるか？

2) Strongダイナミクスに付随した新粒子が存在するはず。

考える模型に依るが

- ▶ テクニカラー： Spin-1  $\rho$ 共鳴  $\rightarrow WZ, ll, VH, \dots$
  - ▶ 余剰次元 (RS)： KKグラビトン  $\rightarrow tt, VV, KK\text{グルーオン} \rightarrow tt$
  - ▶ Little Higgs：  $t' \rightarrow Vq, W', Z' \rightarrow VH, ll, qq, \dots$
- 実験で見える信号としてはどれも良く似ている。  
Signature-baseの探索で十分カバーできる。

3) Vector-likeなトップパートナーの存在を示唆する。

“SM”ヒッグスと無矛盾

軽いヒッグス質量を説明できる ( $\rightarrow$  SMトップの寄与を相殺)

- ▶ 例えば、  $t' \rightarrow Vq$  (Little Higgs)

$\Gamma_{\text{Higgs}}$ の測定も良いが、(個人的には)やっぱり直接見えた方が楽しい!!  
( $\rightarrow$  ハドロン加速器の醍醐味)

# Outline

- ▶ Resonance ( $W'$ ,  $Z'$ ,  $\rho$ ,  $g^{KK}$ )
- ▶ Vector-like Quark
- ▶ Vector Boson Scattering

の3つを中心に、

## LHC 7/8 TeVでの直接探索のまとめ

- ▶ どういう終状態を見たか？
- ▶ どこまで棄却したか？

## LHC 13/14 TeVでの感度予想

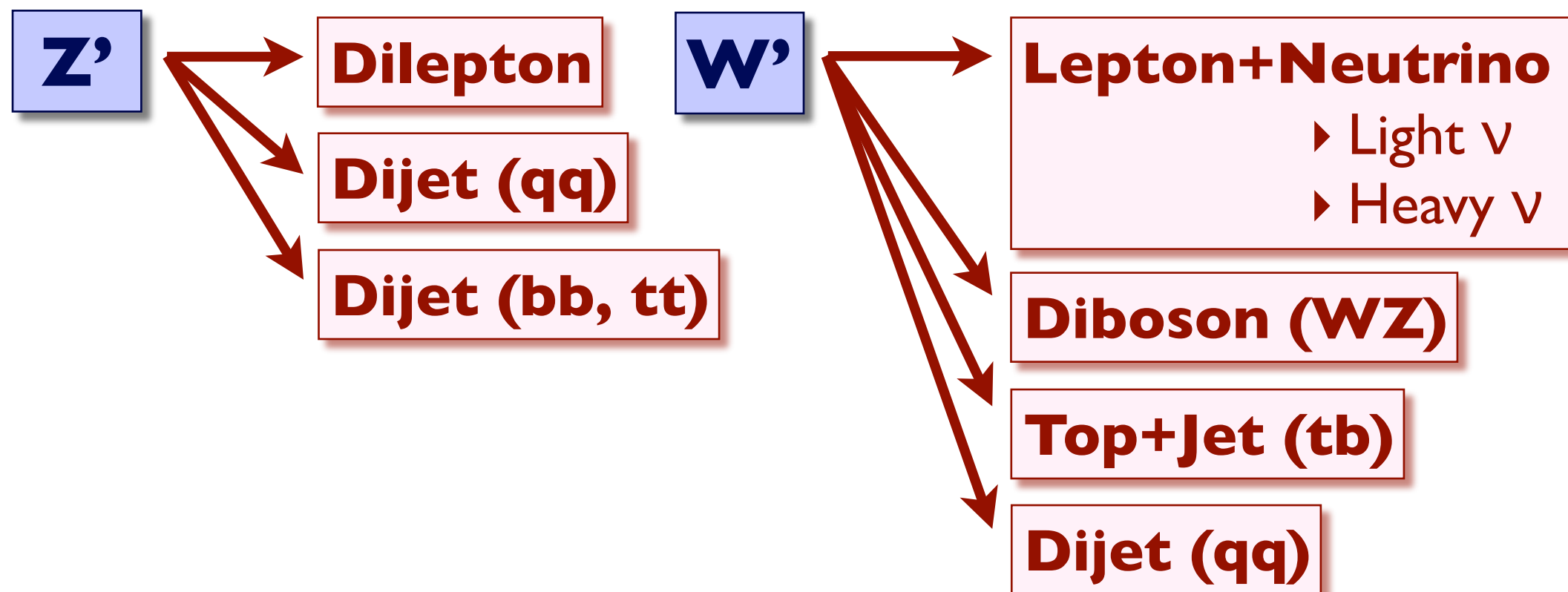
(進行中なので結果があるものだけですが)

を話そうと思います。

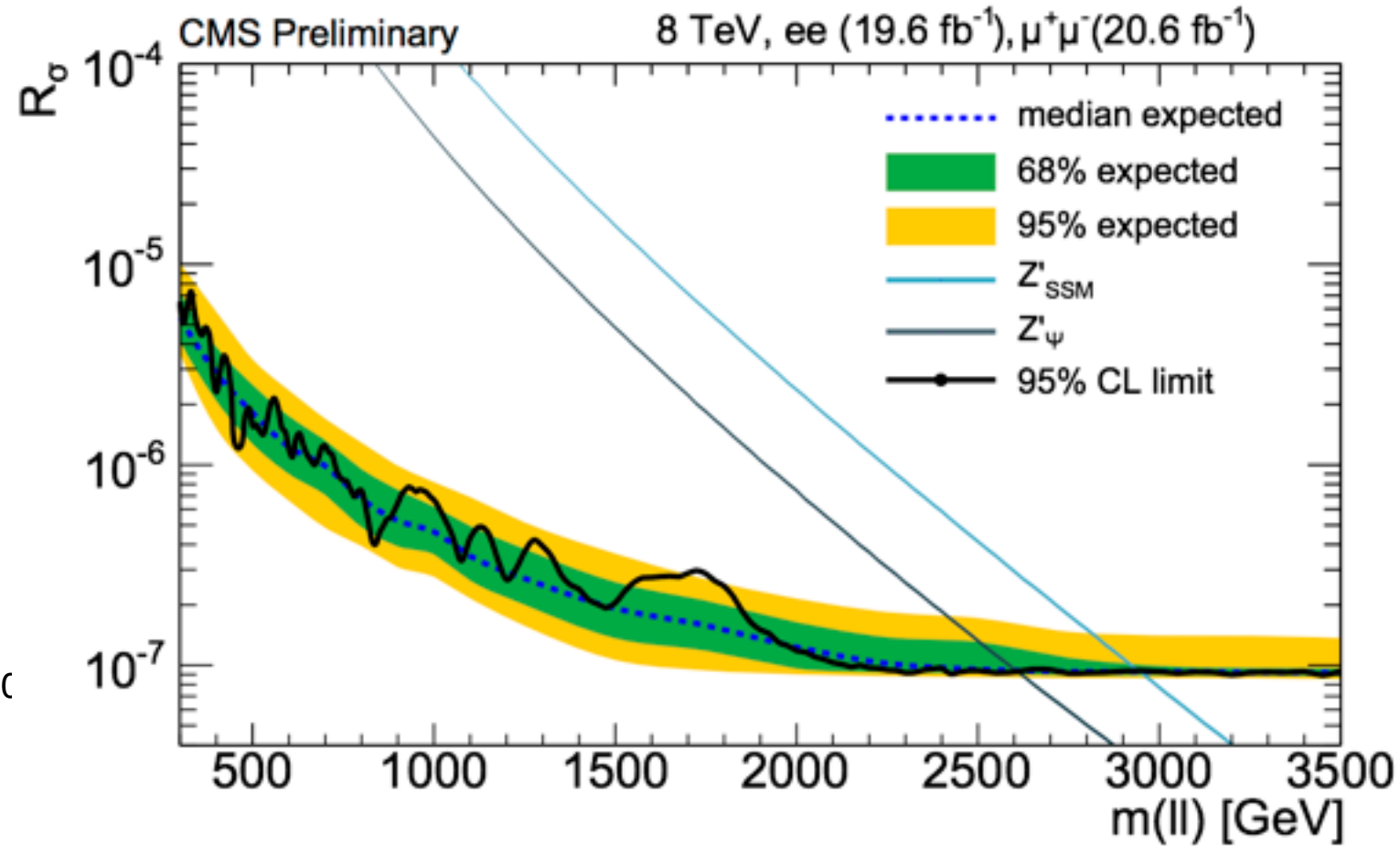
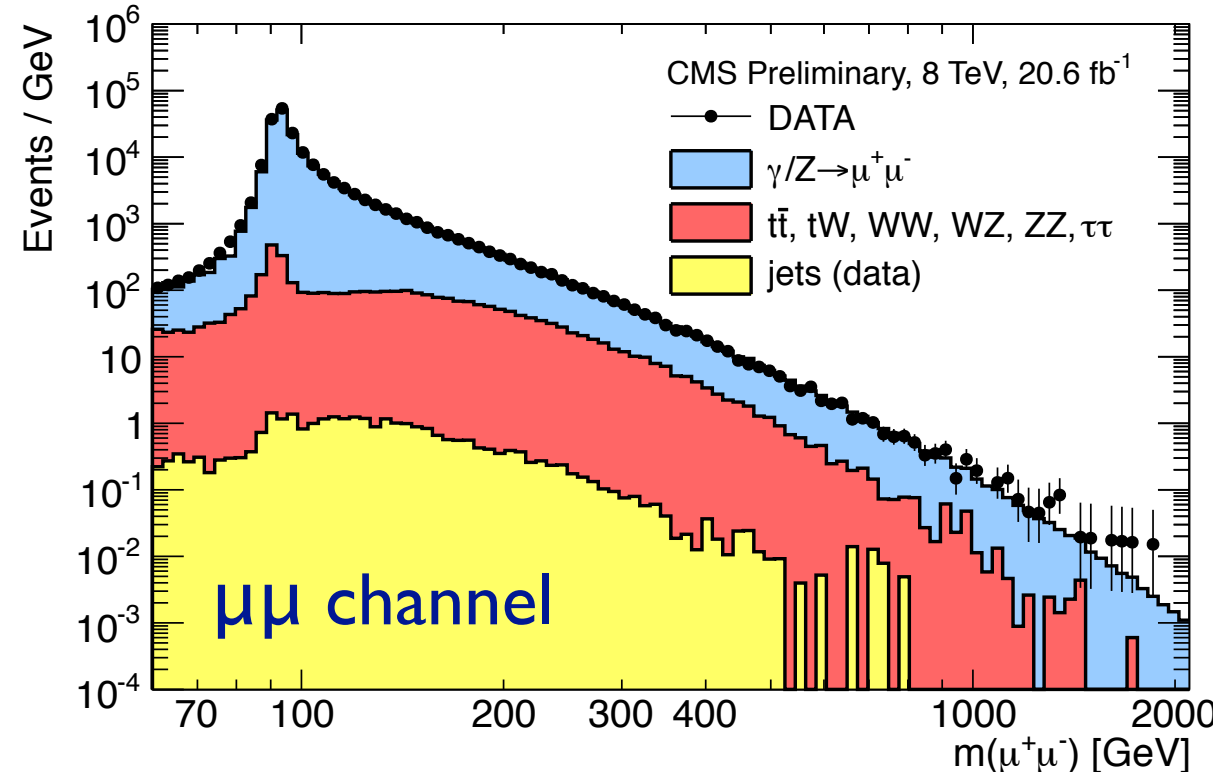
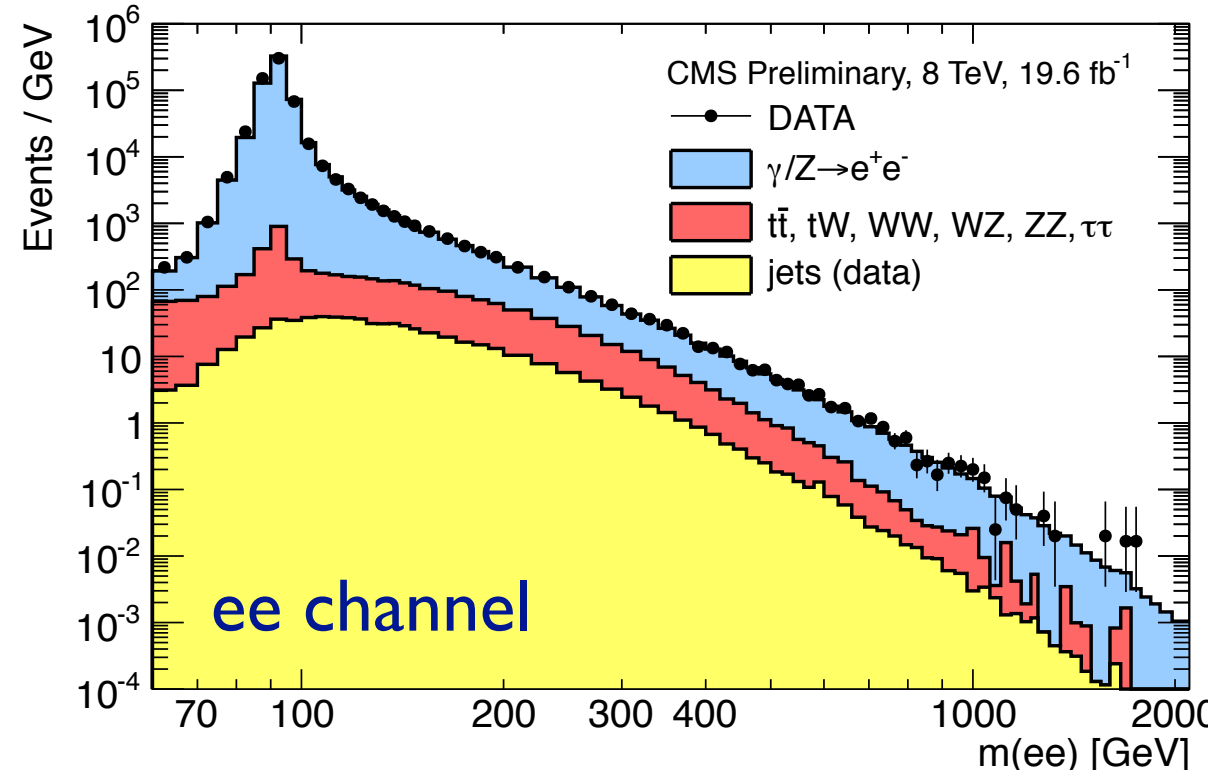
# Resonance (New Gauge Boson)

# New Gauge Boson

- Extension to SM gauge symmetry group  $SU(3)_C \times SU(2)_L \times U(1)_Y$ 
  - $U(1)'$  : neutral ( $Z'$ ) gauge boson
  - $SU(2)'$  : charged ( $W'$ ) and neutral ( $Z'$ ) gauge bosons
- SM embedded within a larger gauge symmetry group: GUT-E6, SO(10), ...
  - Charged ( $W'$ ) and neutral ( $Z'$ ) gauge bosons



## ATLAS $Z' \rightarrow ll$ selection : 2 isolated leptons $p_T^{e(\mu)} > 35(45)$ GeV

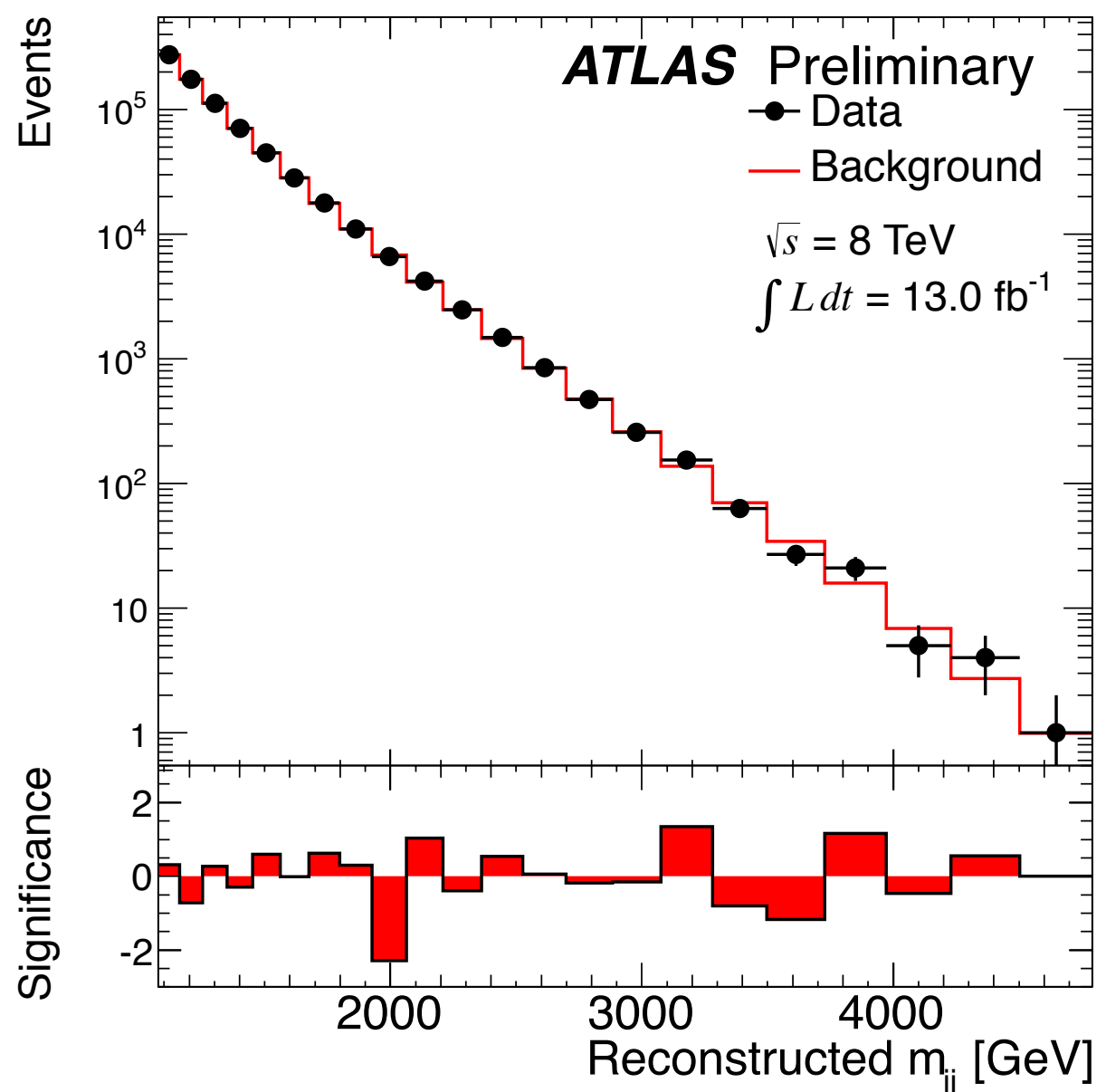


- ▶ Drell-Yan BG estimated by POWHEG (NLO)
- ▶ Total simulated background scaled to data at Z-peak ( $60 < M_{ll} < 120$  GeV)
- ▶ Limits set on  $R_\sigma = \frac{\sigma(pp \rightarrow Z' + X \rightarrow ll + X)}{\sigma(pp \rightarrow Z + X \rightarrow ll + X)}$

$Z'_{SSM}( \rightarrow ll )$  の質量下限 : 2.96 TeV (CMS)

## 模型に依らないDijet mass bumpの探索

- ▶ Quark substructure
- ▶ Colored particles
  - Excited quark,  $W'/Z'$ , color-octet scalars

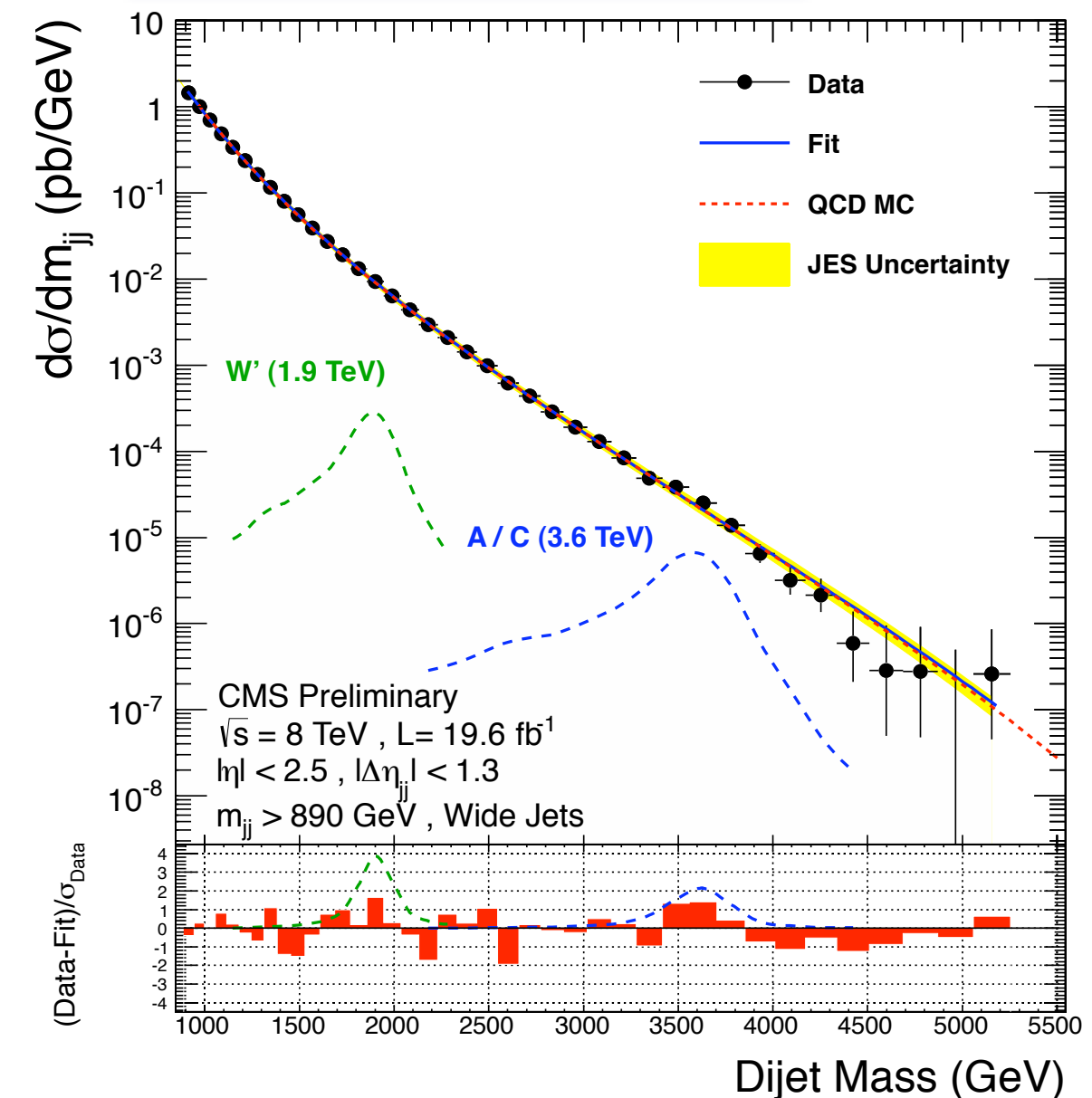


$W'_{\text{SSM}}(\rightarrow qq)$  の質量下限 : 2.29 TeV (CMS)  
 $Z'_{\text{SSM}}(\rightarrow qq)$  の質量下限 : 1.68 TeV

Smooth background fit to data

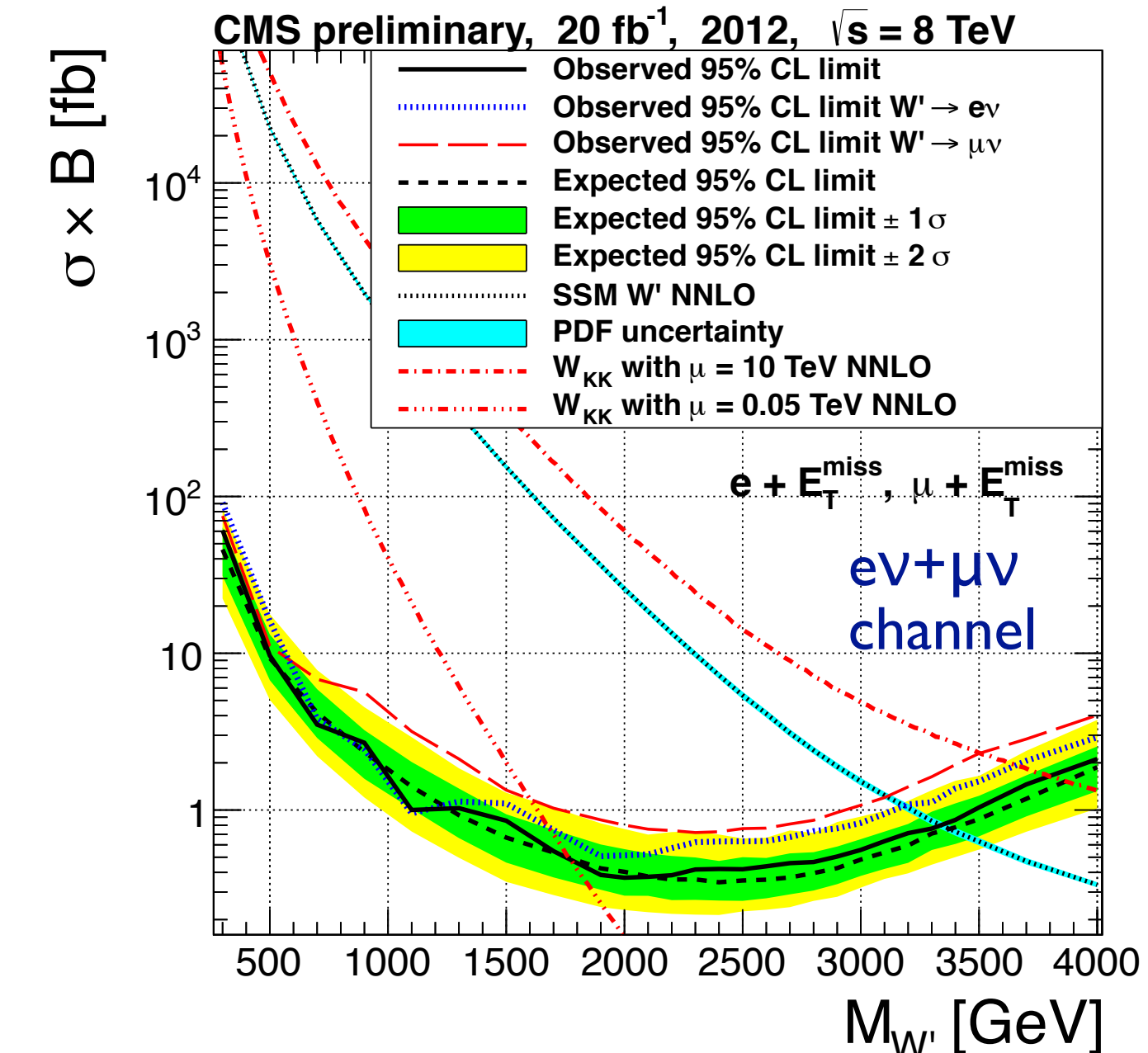
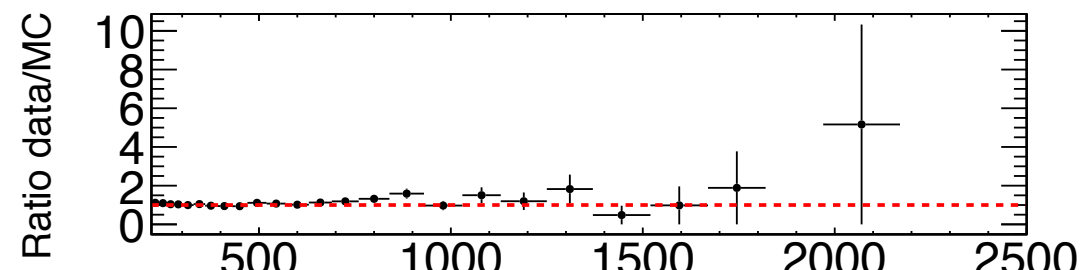
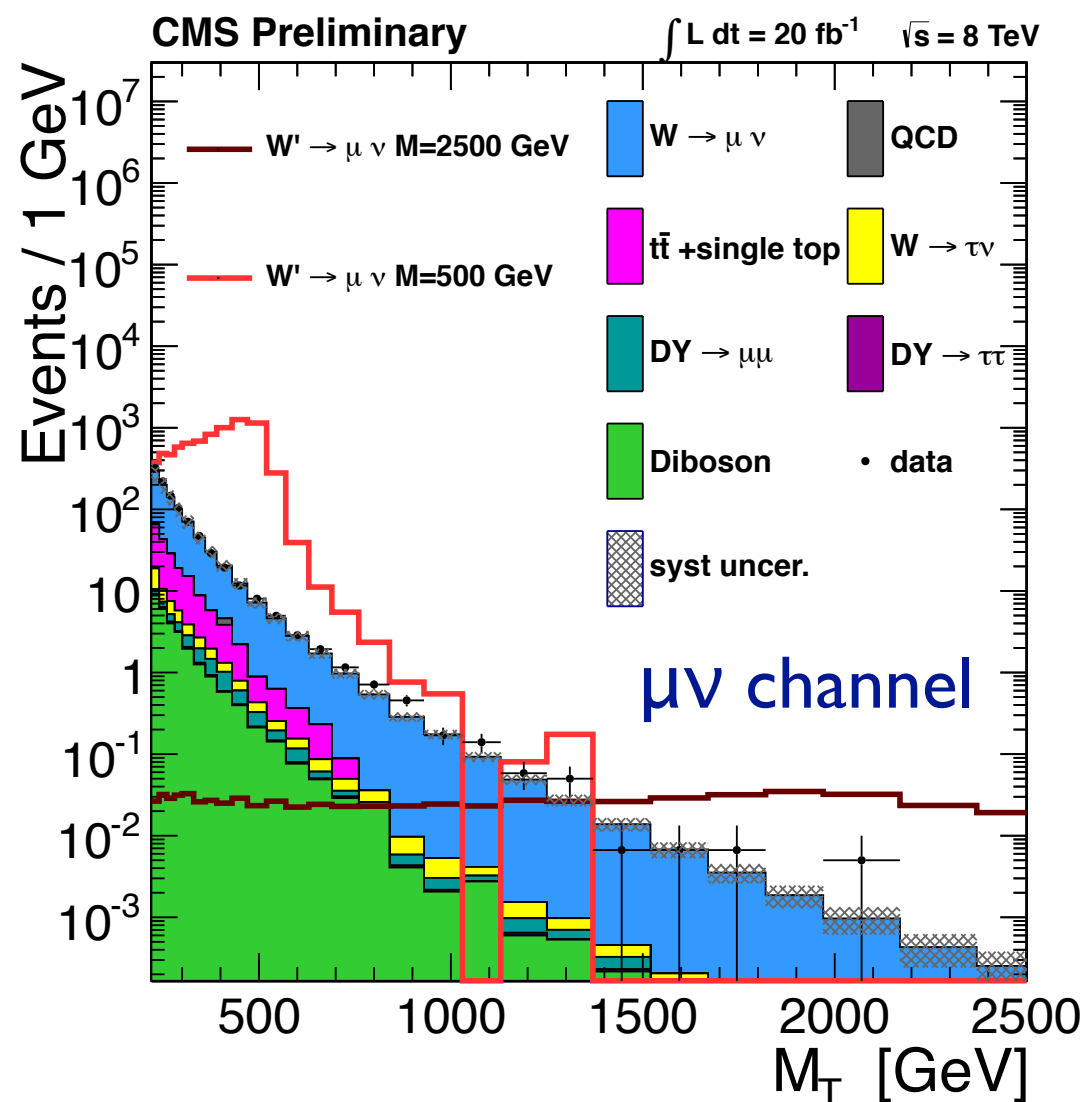
$$\frac{dN}{dx} = p_1 \frac{(1-x)^{p_2}}{x^{p_3+p_4 \cdot \ln x}}$$

$x = m_{jj} / \sqrt{s}$



## CMS $W' \rightarrow l\nu$ selection

- 1 electron(muon)  $p_T > 100(45)$  GeV
- $0.4 < p_T^{\text{lepton}} / E_T^{\text{miss}} < 1.5$
- $\Delta\Phi(\text{lepton}, E_T^{\text{miss}}) > 0.8\pi$



- SM  $W \rightarrow l\nu$  BG (PYTHIA+NLO QCD corr) extended to high  $M_T$  using fit
- SM  $W - W'$  left interference considered

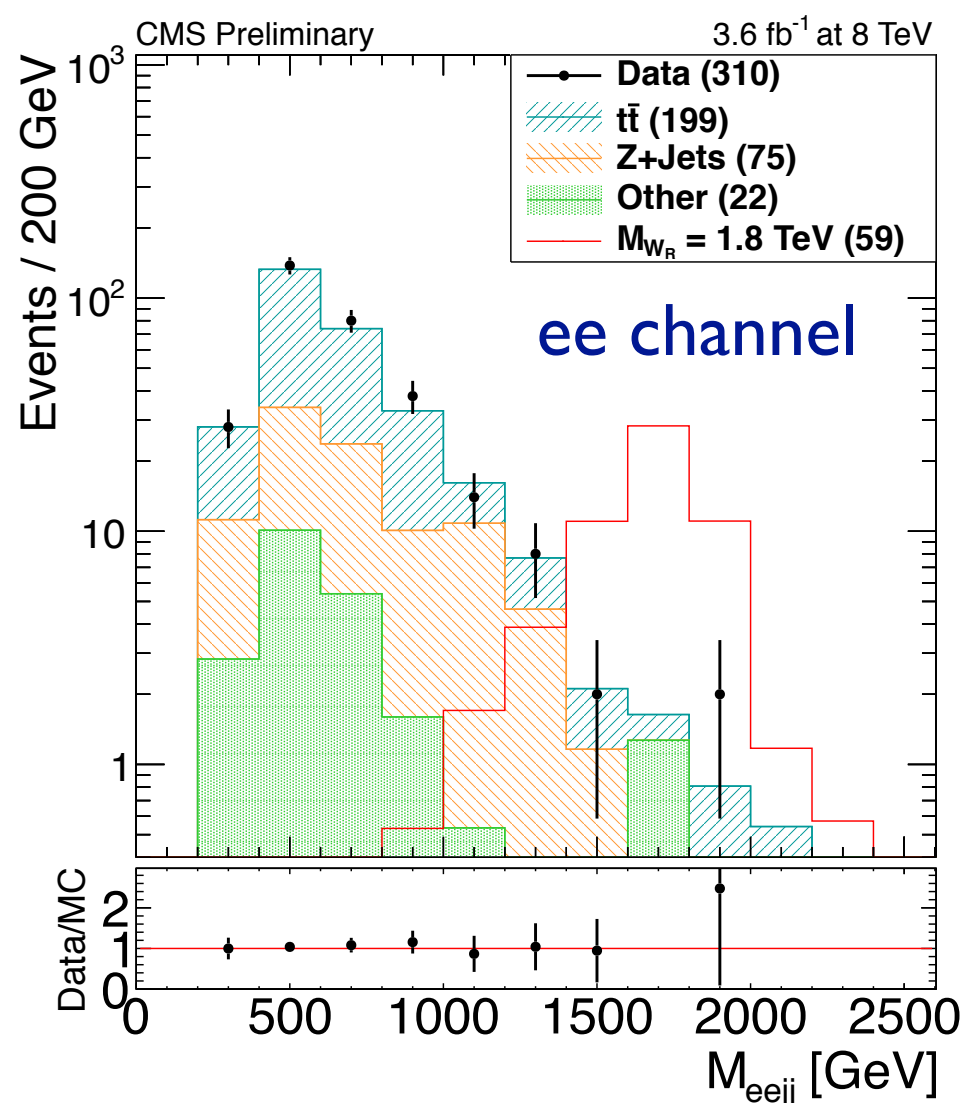
$W'_{\text{SSM}}(\rightarrow l\nu)$  の質量下限 : 3.35 TeV (CMS)

Left-Right symmetric modelでのシナリオ

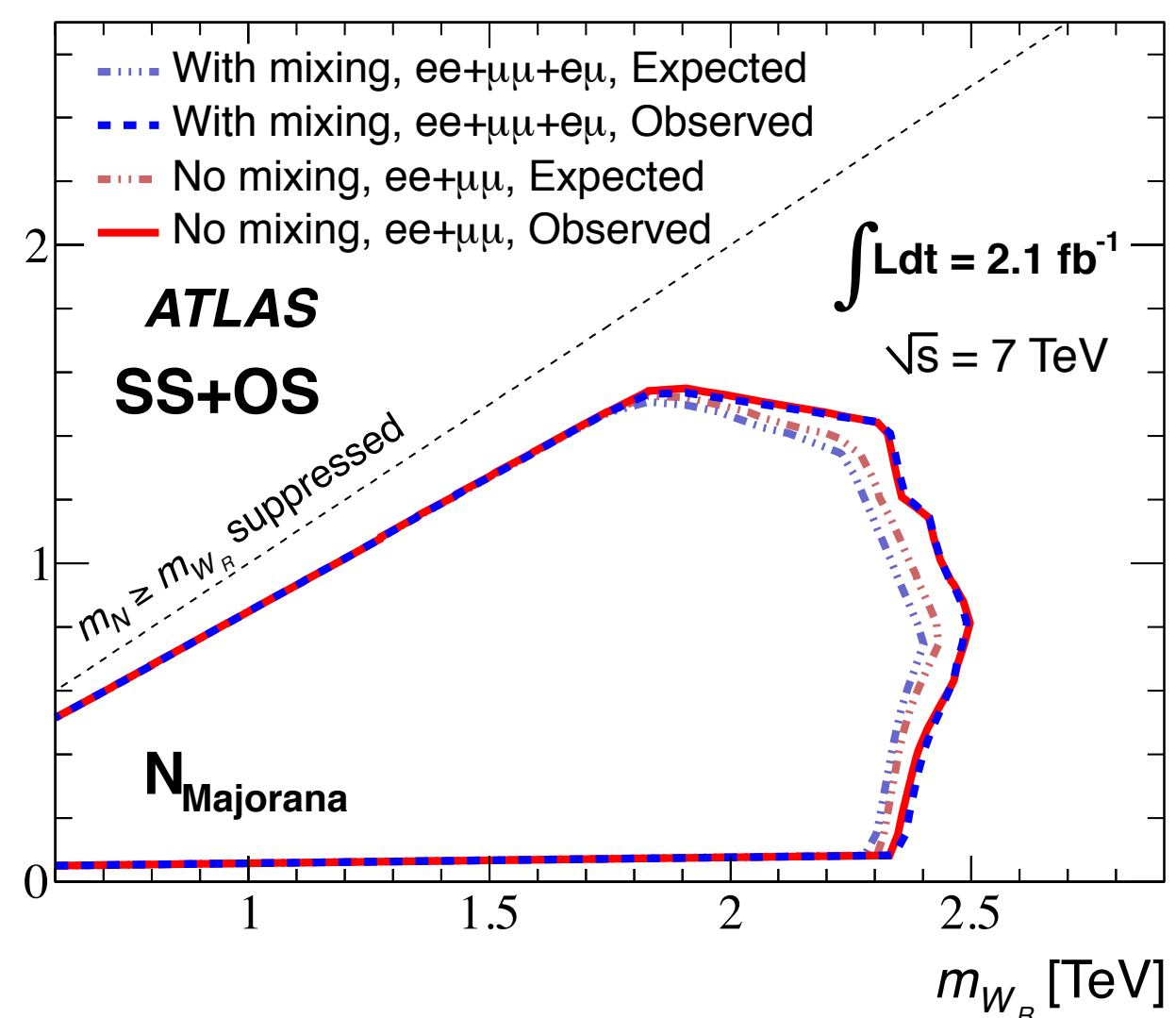
- $W_R \rightarrow$  Heavy Neutrino崩壊
- フレーバー (non)mixing,  $N_e = N_\mu (= N_\tau)$

## CMS $W_R \rightarrow IN \rightarrow l l W_R^*$ selection

- 2 isolated SF leptons  $p_T > 60, 40$  GeV
- 2 jets  $p_T > 40$  GeV
- $M_{ll} > 200$  GeV,  $M_{lljj} > 600$  GV



$W_R(\rightarrow l l N)$  の質量下限 : 2.5-2.8 TeV (CMS)  
( $m_N = 0.2-1.8$  TeV)

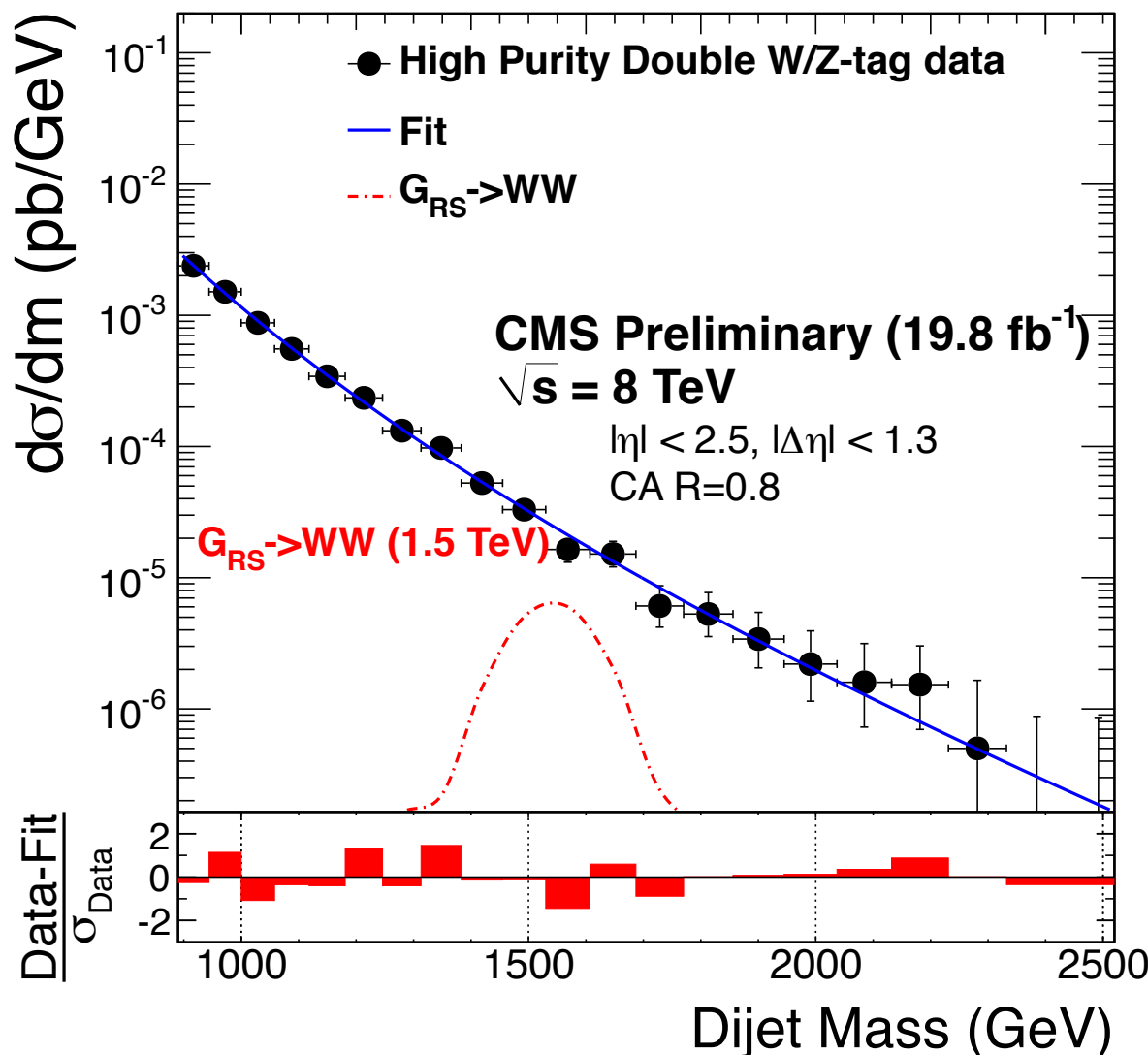


## CMS $W' \rightarrow WZ \rightarrow \text{qqqq}$ selection

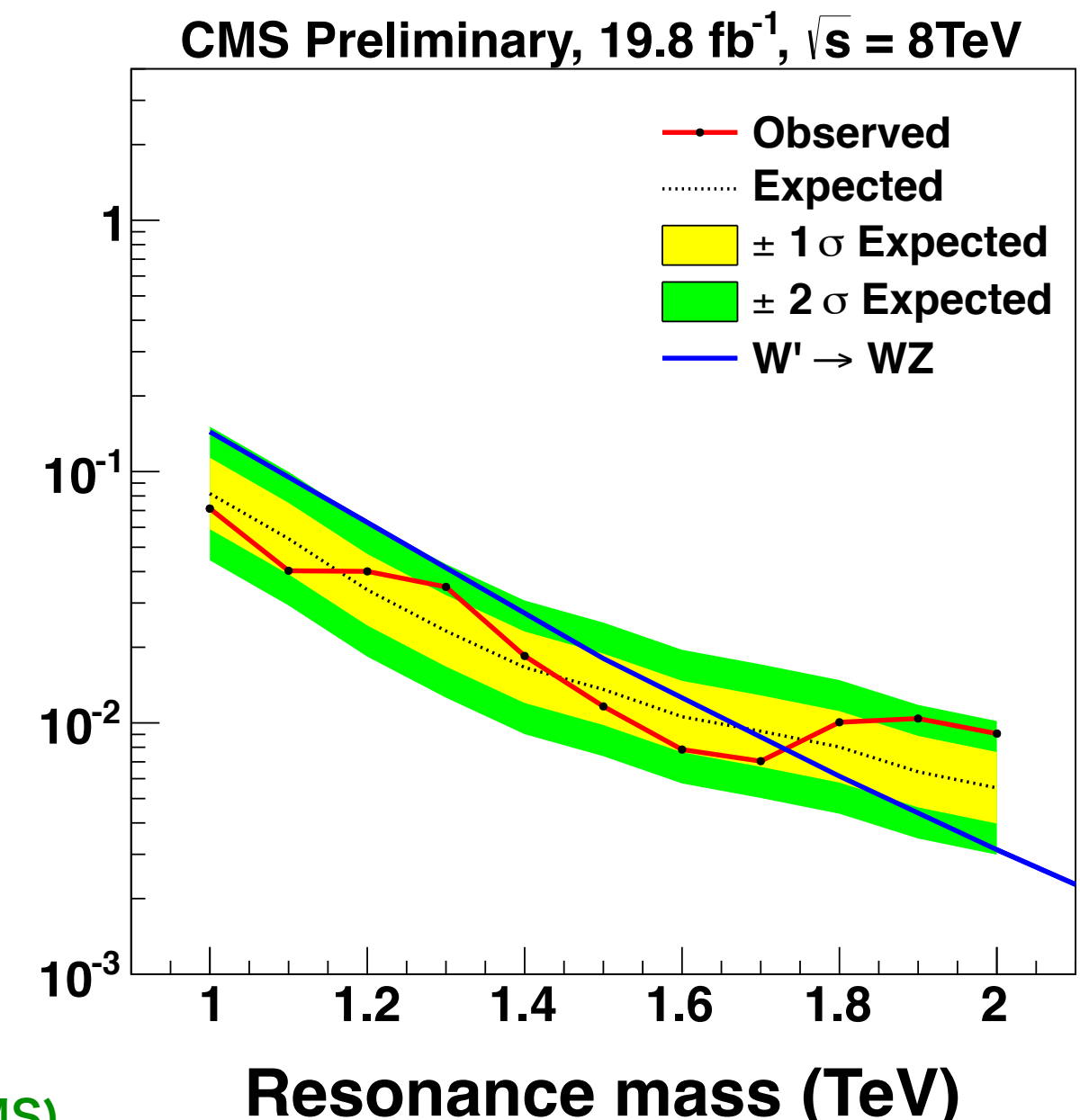
- ▶  $\geq 2$  C/A R=0.8 jets  $p_T > 30$  GeV
- ▶  $|\Delta\eta_{jj}| < 1.3, M_{jj} > 890$  GeV

## Exploit jet substructure technique :

- ▶ Pruned jet mass :  $70 < M_{\text{jet}}^{\text{Pruned}} < 100$  GeV
- ▶ N-subjettiness :  $\tau_{21} < 0.5$  (tight), 0.5-0.75 (medium)
- ⇒ Tight double-tag :  $\epsilon_{\text{signal}} \sim 10\text{-}20\%$ ,  $\epsilon_{\text{background}} < 0.1\%!!$

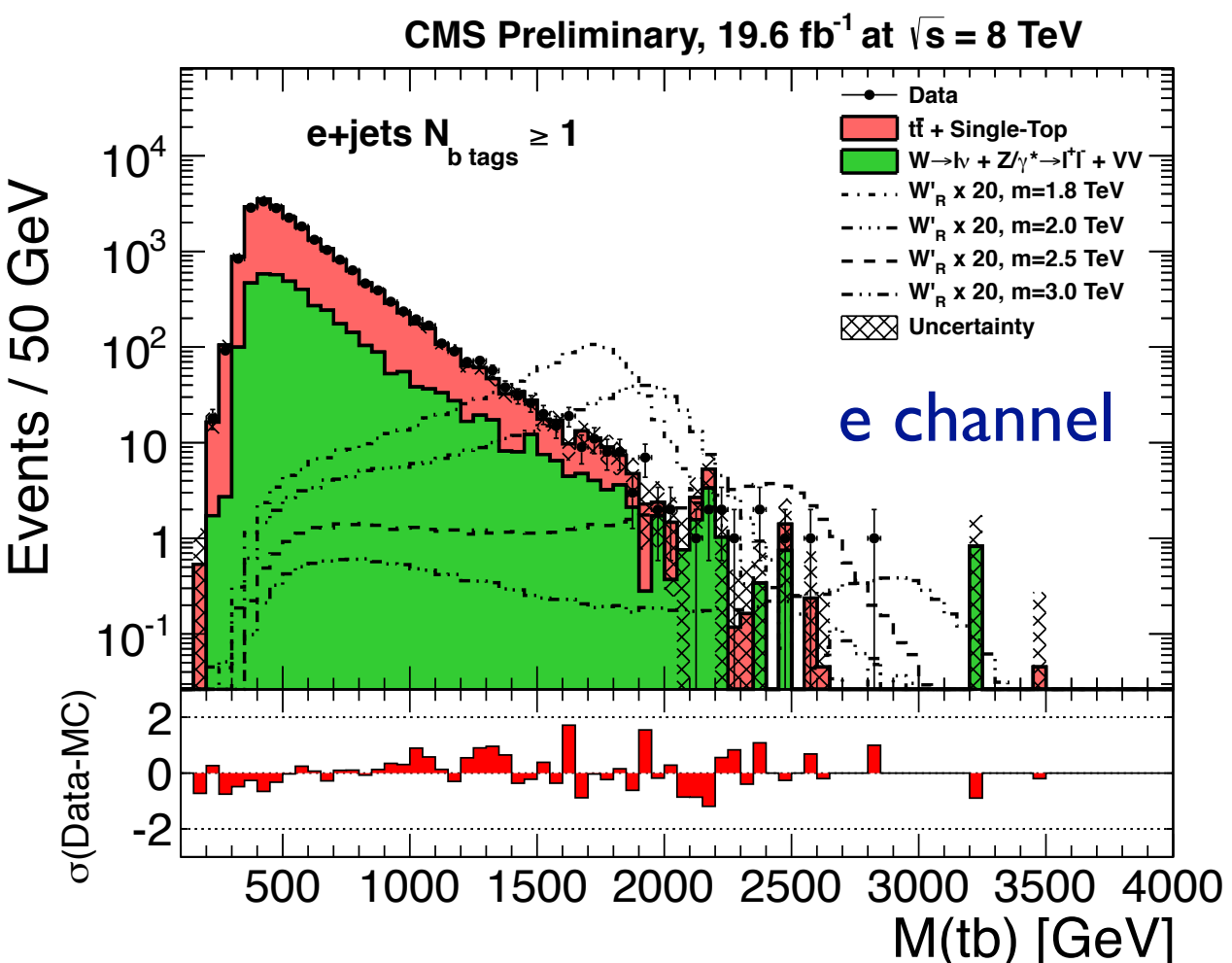


SSM + EGM  $W'$ 結合 ( $= g_{\text{SSM}} \times m_W^2/m_{W'}^2$ )  
→  $W'(\rightarrow WZ)$ の質量下限 : 1.73 TeV (CMS)

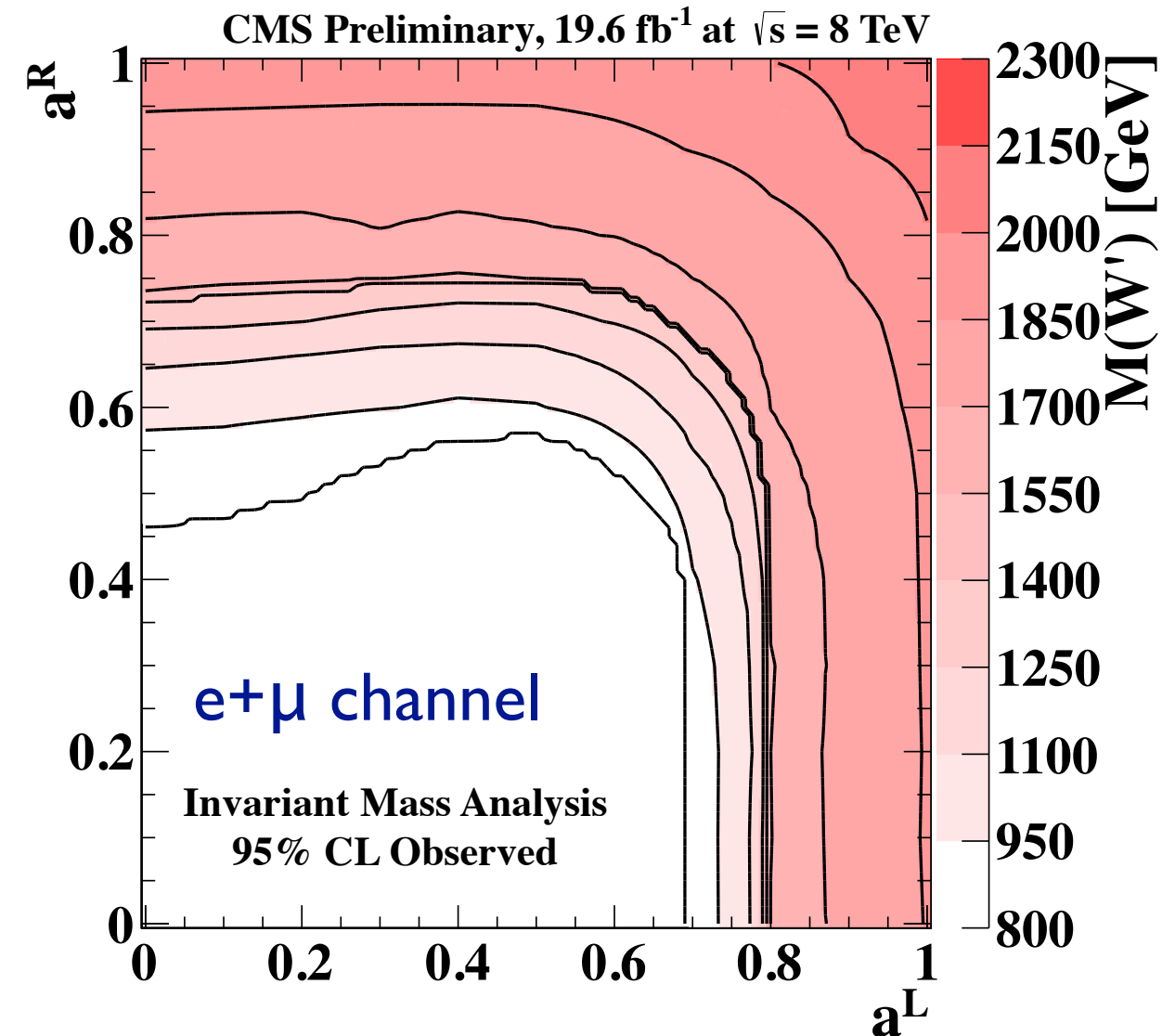


## CMS $W' \rightarrow tb \rightarrow l\nu bb$ selection

- ▶ 1 lepton  $p_T > 50$  GeV
- ▶  $\geq 2$  jets  $p_T > 120, 40$  GeV ( $\geq 1$  b-tag)
- ▶  $E_T^{\text{miss}} > 20$  GeV



- Neutrino  $p_z$  from  $W$ -mass constraint
  - Reconstruct top candidate from  $W$  and jet (close to  $m_{\text{top}}$ )
  - Further criteria to improve S/B
- $p_T^{top} > 85$  GeV,  $p_T^{jj} > 140$  GeV,  $130 < m^{top} < 210$  GeV



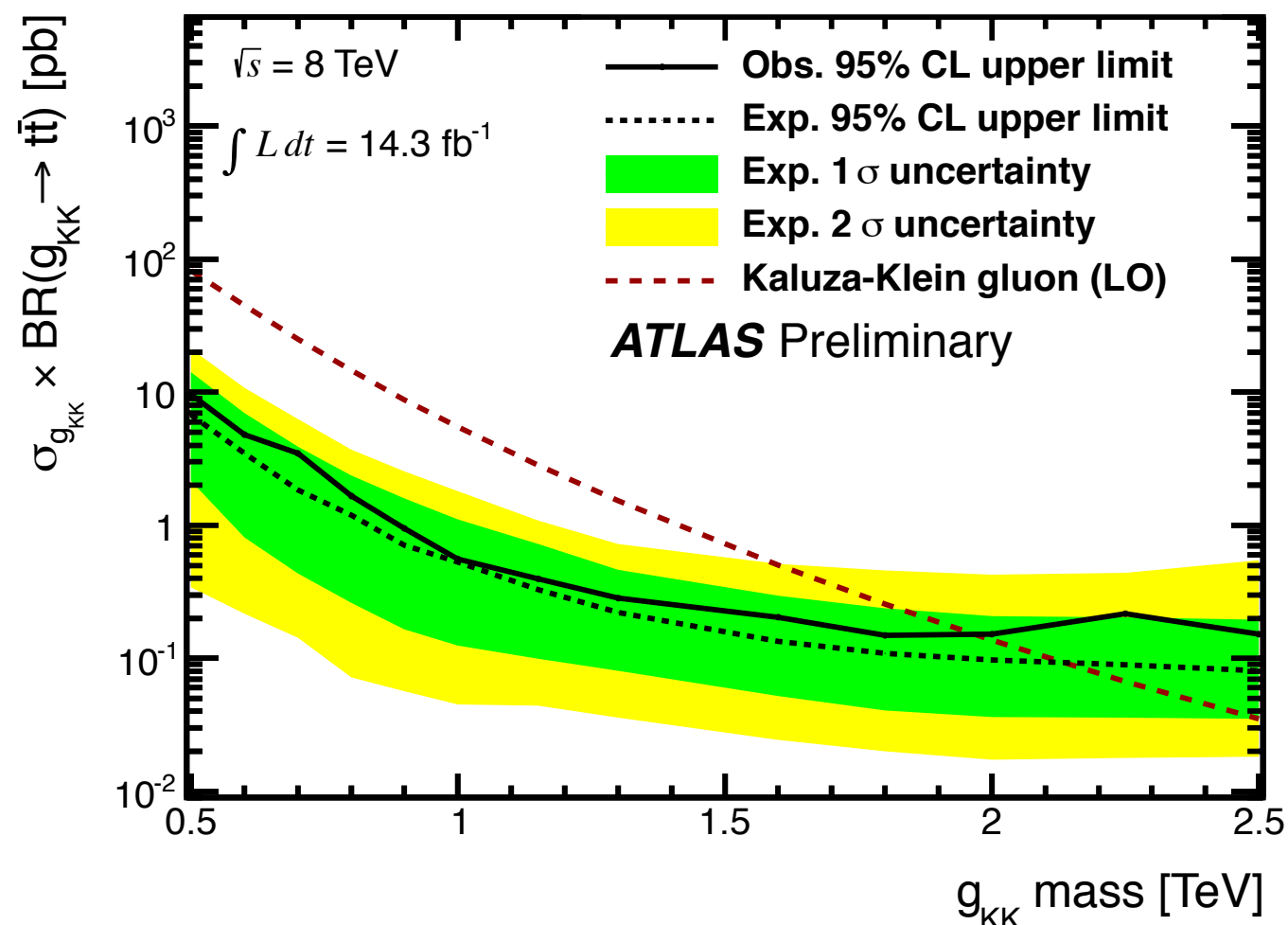
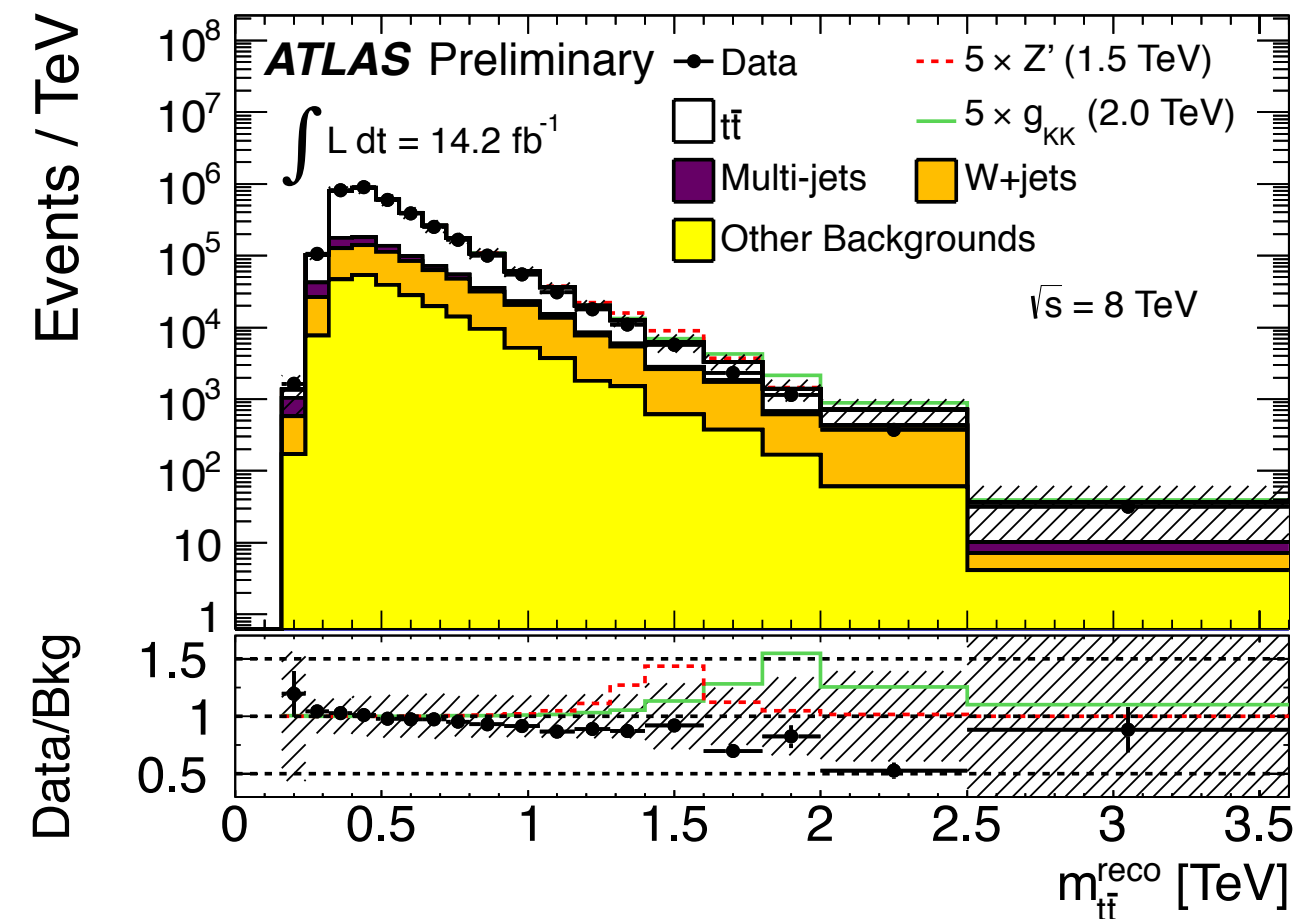
- ▶ LH-only, RH-only, LR-mixed  $W'$  samples
- ▶  $\sigma \cdot \text{BR}$  limits translated to  $M(W')$  limits in  $a^R$  vs  $a^L$  plane

$$\mathcal{L} \sim g_w \bar{f}_i \gamma_\mu [a_{ij}^R (1 + \gamma^5) + a_{ij}^L (1 - \gamma^5)] W'^\mu f_j + \dots$$

$W'(\rightarrow tb)$  の質量下限 : 2.0 TeV (CMS)  
for both RH and LH couplings

tt resonance : prominent signature in bulk Randall-Sundrum scenario

- 8 TeV  $t\bar{t}$  resonance searches start probing KK mass scale  $\geq 2.0\text{-}2.5$  TeV



## ATLAS $g^{KK} \rightarrow t\bar{t} \rightarrow l\nu b\bar{q} q\bar{b}$ selection

- 1 lepton  $p_T > 25$  GeV,  $E_T^{\text{miss}}$  and  $M_T^W$  cuts
- Boosted :  $R=1.0$  “trimmed” jet with  $m_{\text{jet}} > 100$  GeV,  $\sqrt{d_{12}} > 40$  GeV
- Resolved :  $\geq 4$   $R=0.4$  jets ( $\geq 3$  jets if  $m_{\text{jet}} > 60$  GeV)
- $\geq 1$  b-tagged  $R=0.4$  jets

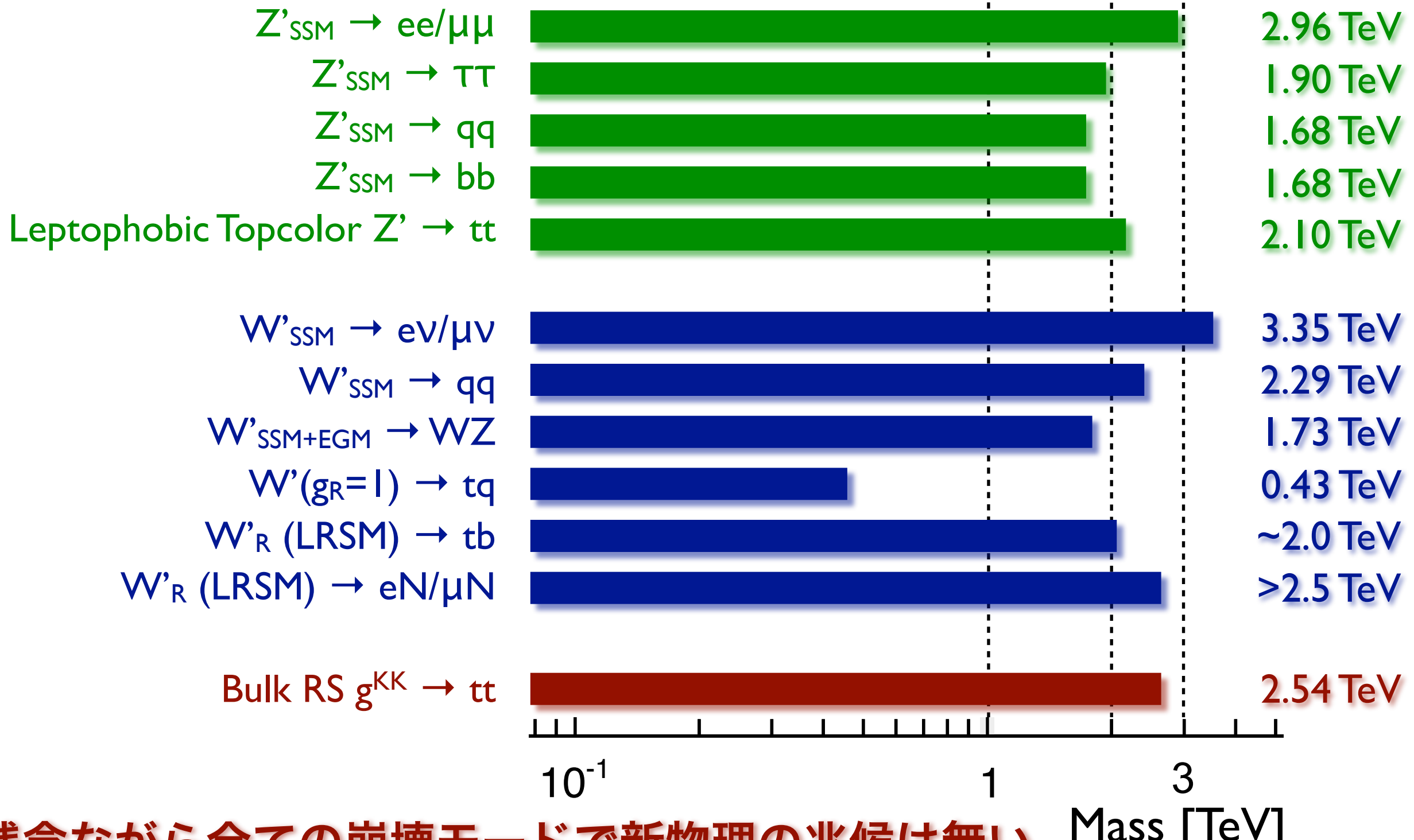
$g^{KK}(\rightarrow t\bar{t})$  の質量下限 : 2.54 TeV (CMS)

→ Entering into regime predicted from precision EW measurements

Topcolor  $Z'(\rightarrow t\bar{t})$  の質量下限 : 2.10 TeV

# Run 1 Limits on $W'/Z'/g^{KK}$

Mass limits from 7/8 TeV LHC run



残念ながら全ての崩壊モードで新物理の兆候は無い  
 ~2 TeVまではほぼ全て棄却

→ Run 2ではどこまで行ける?

# $Z' \rightarrow ll / W' \rightarrow qq$ at 14 TeV

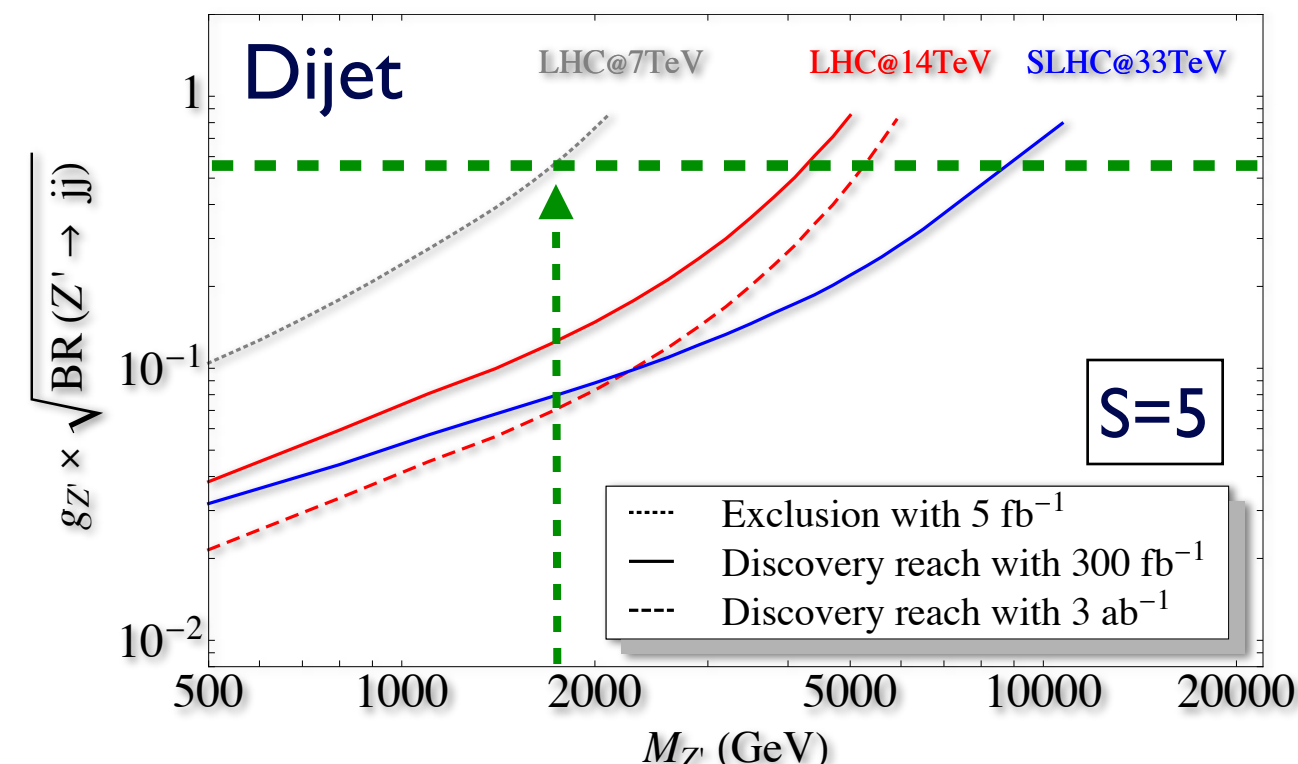
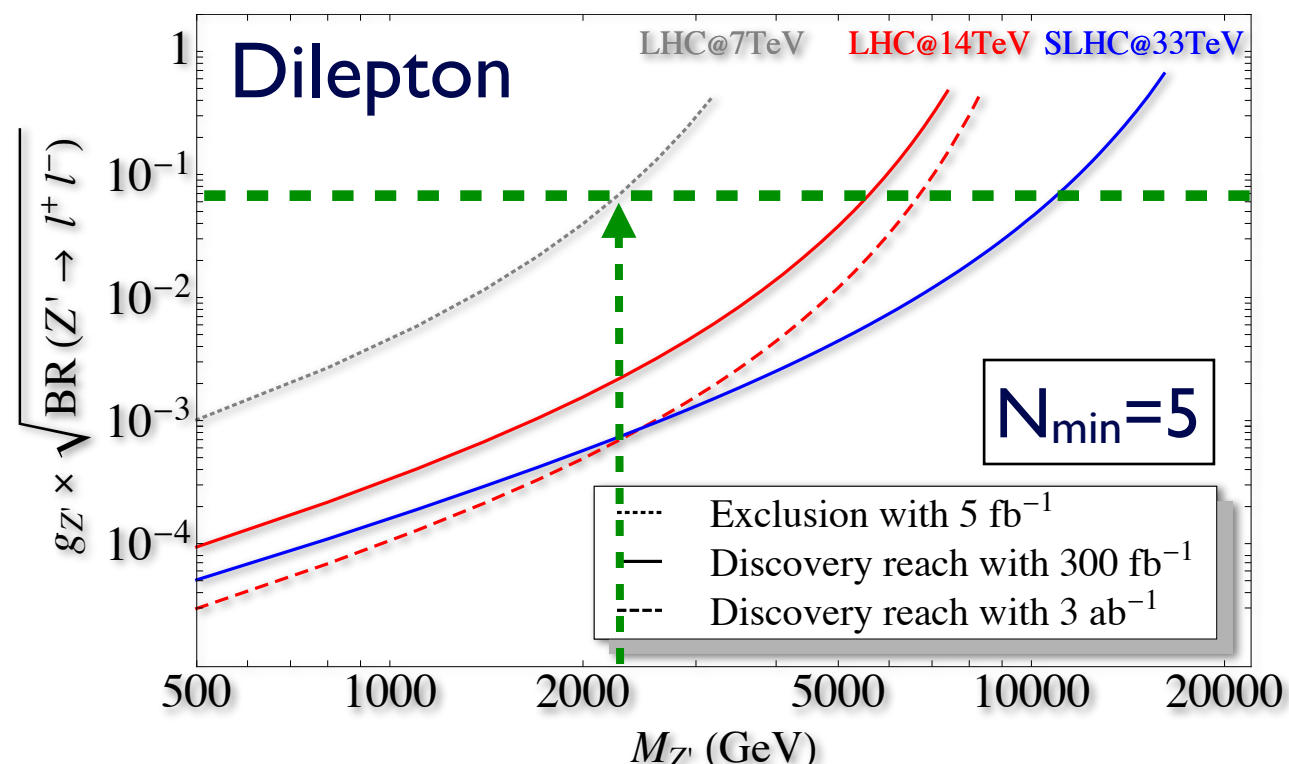
LHC2TSP workshop  
arXiv:1307.7135

$$\mathcal{L}_{Z'} \sim g_{Z'} Z'_\mu \left( \bar{q}_i \gamma^\mu \frac{1 - \gamma_5}{2} q^i \right)$$

Universal left-handed coupling to up and down quarks assumed

$$g_{Z'} \sqrt{\text{BR}(Z' \rightarrow l^+ l^-)} = \left( \frac{N_{\min}}{\sigma(q\bar{q} \rightarrow Z')|_{g_{Z'}=1} A\epsilon L} \right)^{1/2}$$

$$g_{Z'} \sqrt{\text{BR}(Z' \rightarrow l^+ l^-)} = \left( \frac{S \sqrt{N_{\text{BG}}}}{\sigma(q\bar{q} \rightarrow Z')|_{g_{Z'}=1} A\epsilon L} \right)^{1/2}$$



$Z' \text{ SSM} \rightarrow ll$

2.2 TeVまで棄却 (7TeV, 5fb<sup>-1</sup>)

→ ~5.5(7.0)TeVまで発見可能

at 14TeV, 300 (3000) fb<sup>-1</sup>

$W' \text{ SSM} \rightarrow qq$

1.7 TeVまで棄却 (7TeV, 5fb<sup>-1</sup>)

→ ~4.0(5.0)TeVまで発見可能

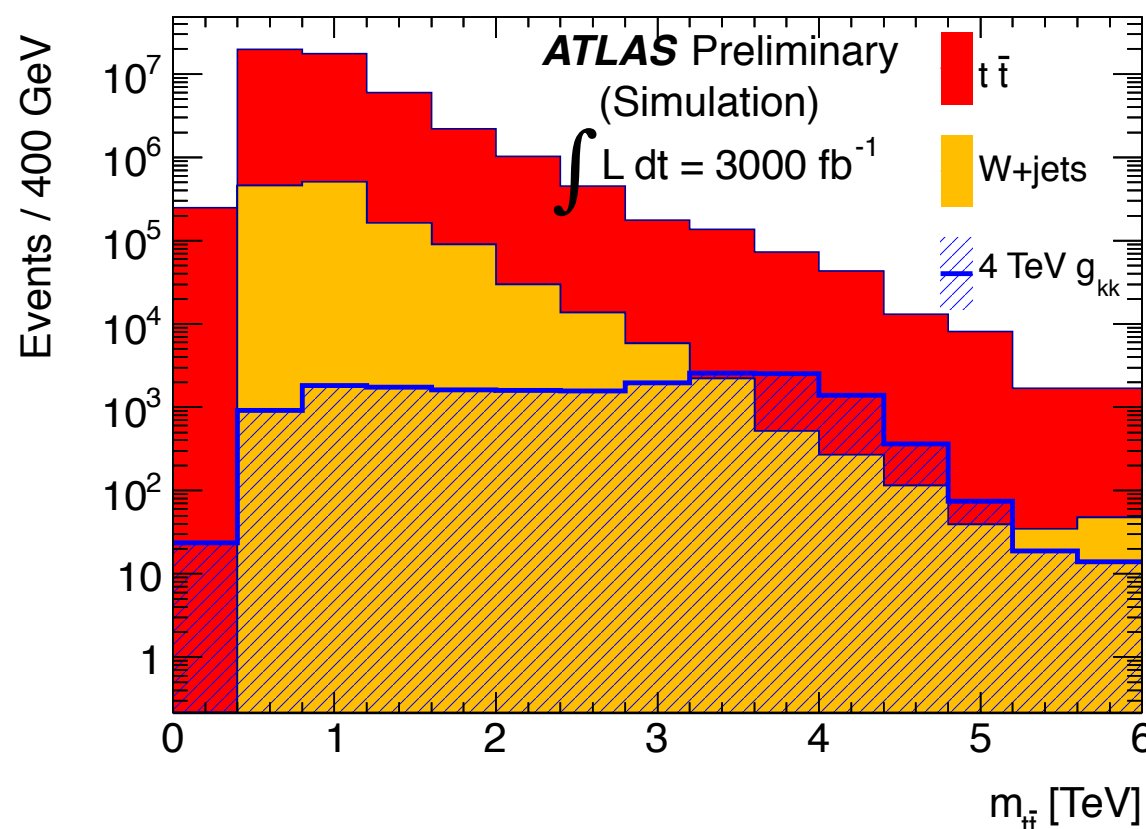
at 14TeV, 300 (3000) fb<sup>-1</sup>

Snowmass CMS White Paper :

~5.2(6.3) TeV at 300(3000) fb<sup>-1</sup>

## Lepton+jets チャンネル

- 1 lepton  $p_T > 25$  GeV,  $E_T^{\text{miss}} > 50$  GeV
- $\geq 1$   $R=0.4$  jet  $p_T > 25$  GeV
- $\geq 1$   $R=1.0$  jet  $p_T > 250$  GeV,  $m_{\text{jet}} > 120$  GeV



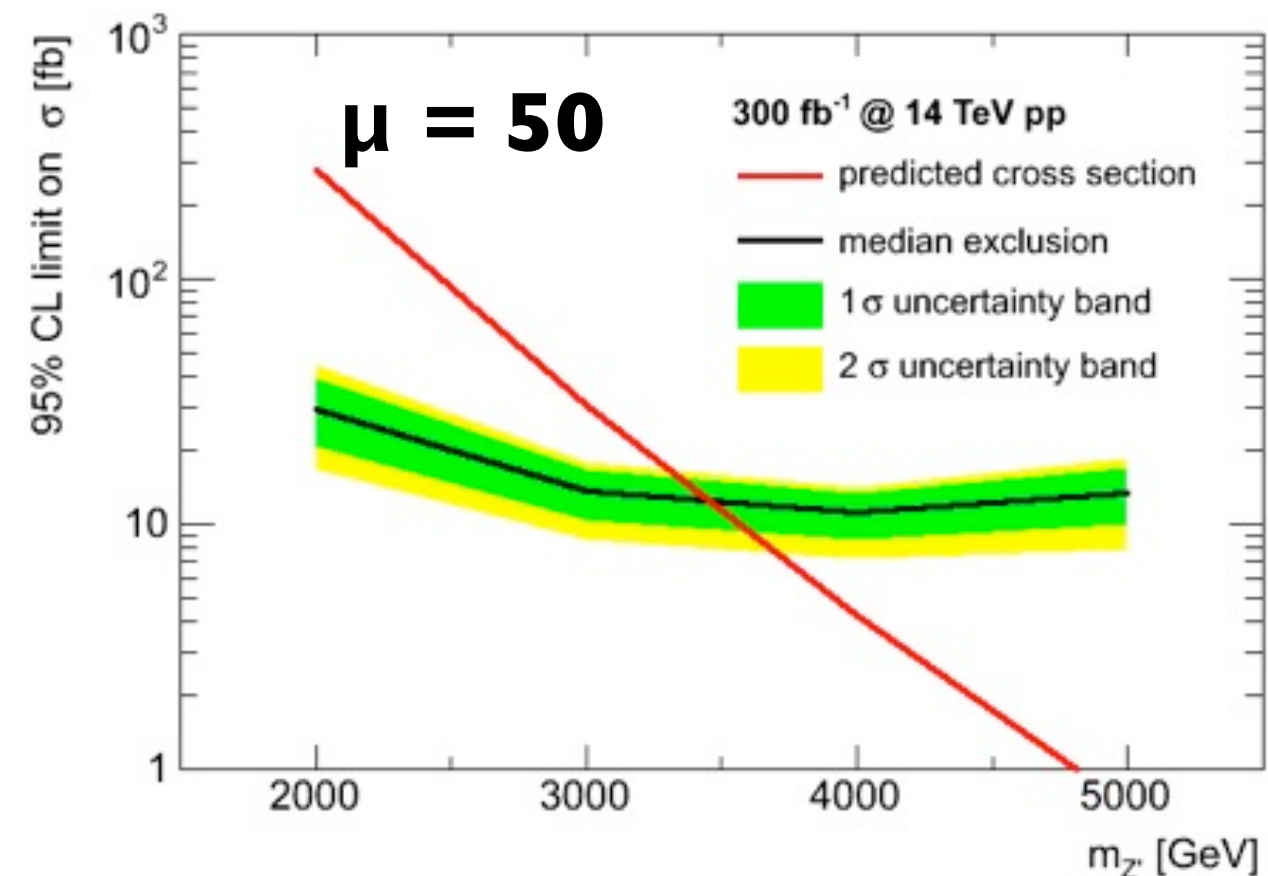
$g^{KK \rightarrow tt}$

→ ~4.3(6.7) TeVまで棄却可能  
at 14TeV, 300 (3000)  $\text{fb}^{-1}$

Soon to be updated for Snowmass...

## Full hadronic チャンネル

- 2 C/A  $R=0.8$  jets  $p_T > 750$  GeV
- Top-tag :  $Q_w > 70$  GeV,  $m_{\text{jet}}^{\text{Trimmed}} > 70$  GeV
- b-tag :  $\epsilon = 50(30)\%$  at 0.75(1.5) TeV
- $f_{\text{mistag}} = 2.5(5)\%$  at 0.75(1.5) TeV
- $f_{\text{mistag}}$  raised by 30(70)% for  $\mu = 50(140)$



$Z' \rightarrow tt$

→ ~3.7(4.1) TeVまで棄却可能  
at 14TeV, 300 (3000)  $\text{fb}^{-1}$

# Vector-like Quark

# “Top Partner”

- ▶ Composite Higgs模型 (Higgs = pNGボソン) では一般的に現れる。
  - ▶ 軽いヒッグス質量を説明するのに有効 ( $\rightarrow$  SMトップの寄与を相殺)

## SMヒッグス質量補正

$$\Delta = \frac{\delta_{\text{UV}} m_H^2}{m_H^2} \gtrsim \left( \frac{\Lambda_{\text{UV}}}{400 \text{ GeV}} \right)^2 \sim 10^{27}$$

if NP scale  $\Lambda_{\text{UV}} \sim$  GUT scale ( $10^{16} \text{ GeV}$ )

“Fine tuning”(階層性問題)を避けるには $\Lambda_{UV} \sim \text{TeV}$ が必要

→ “Top” partners with  $m \sim \Lambda_{UV} \sim \text{TeV}$  to cancel SM top contributions

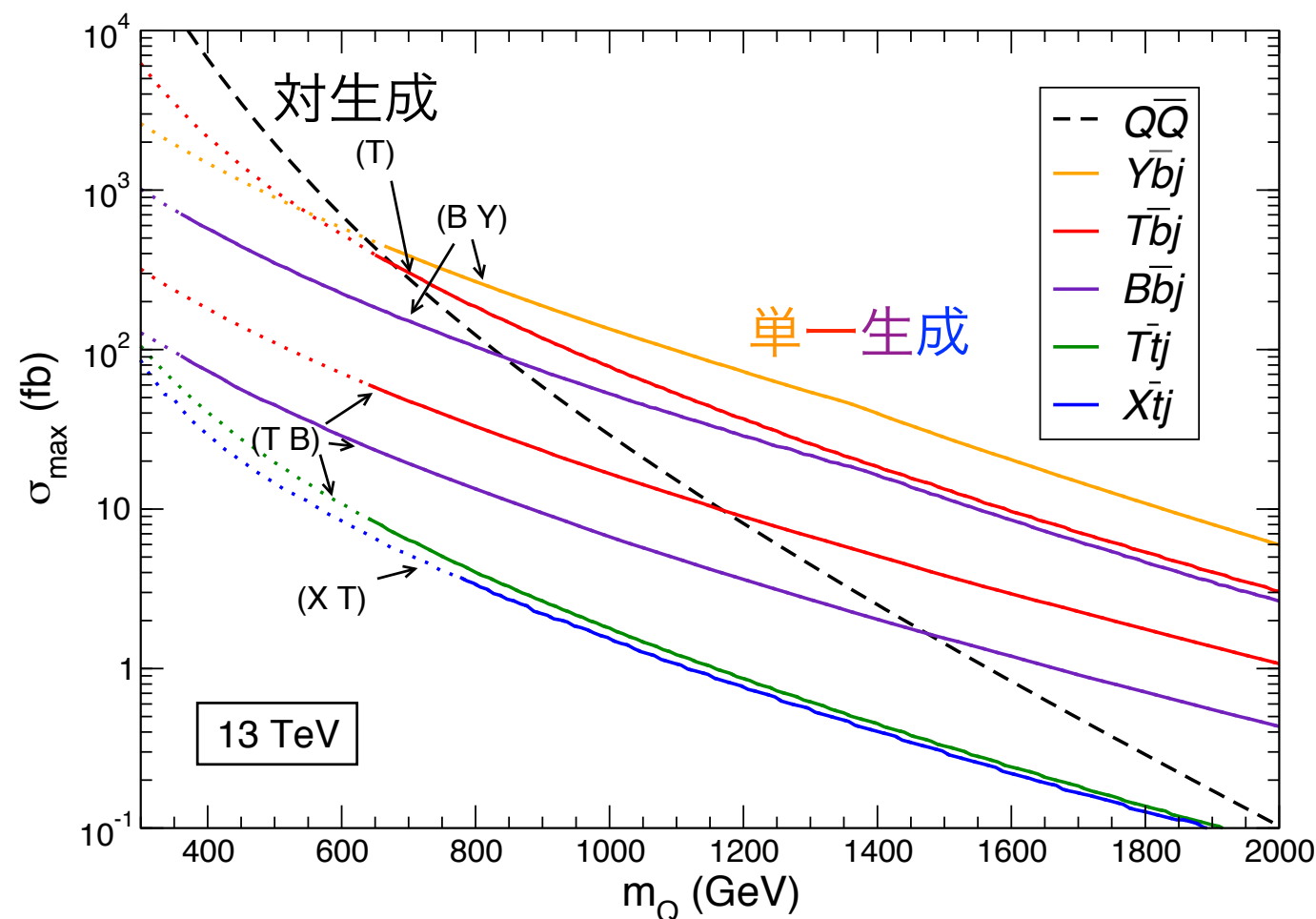
→ Fermionic top partner with vector coupling      Cf.) Scalar top in SUSY  
*(left- and right-handed components have same EW quantum numbers)*

VLQ Type	Electric Charge (Q)
T Singlet	+2/3
B Singlet	-1/3
(T,B) Doublet	(+2/3,-1/3)
(X,T) Doublet	(+5/3,+2/3)
(B,Y) Doublet	(-1/3,-4/3)

# Vector-like quark

- ▶ SMクォーク（特に第三世代）と混合
  - ▶ 主に  $T \rightarrow Wb/Zt/Ht$ ,  $B \rightarrow Wt/Zb/Hb$  に崩壊
  - ▶ 対生成 (QCD) → model-independent
  - ▶ 単一生成 (EW) → 高い質量領域で重要

# Search Strategy



初期探索は対生成信号で行う

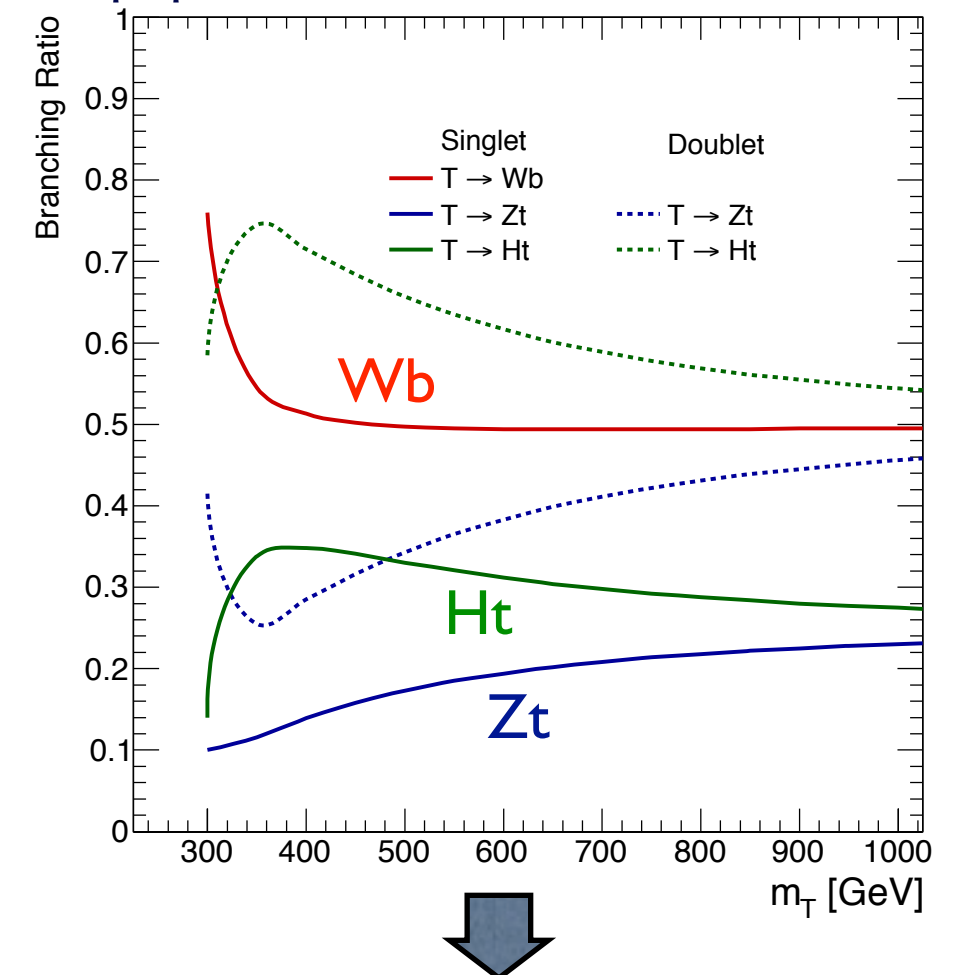
- ▶ 模型に非依存 ( $\leftarrow$  QCD結合)
- ▶ 複数のt/bクォーク崩壊  $\rightarrow$  信号が特徴的

高い質量領域への拡張は单一生成信号で行う

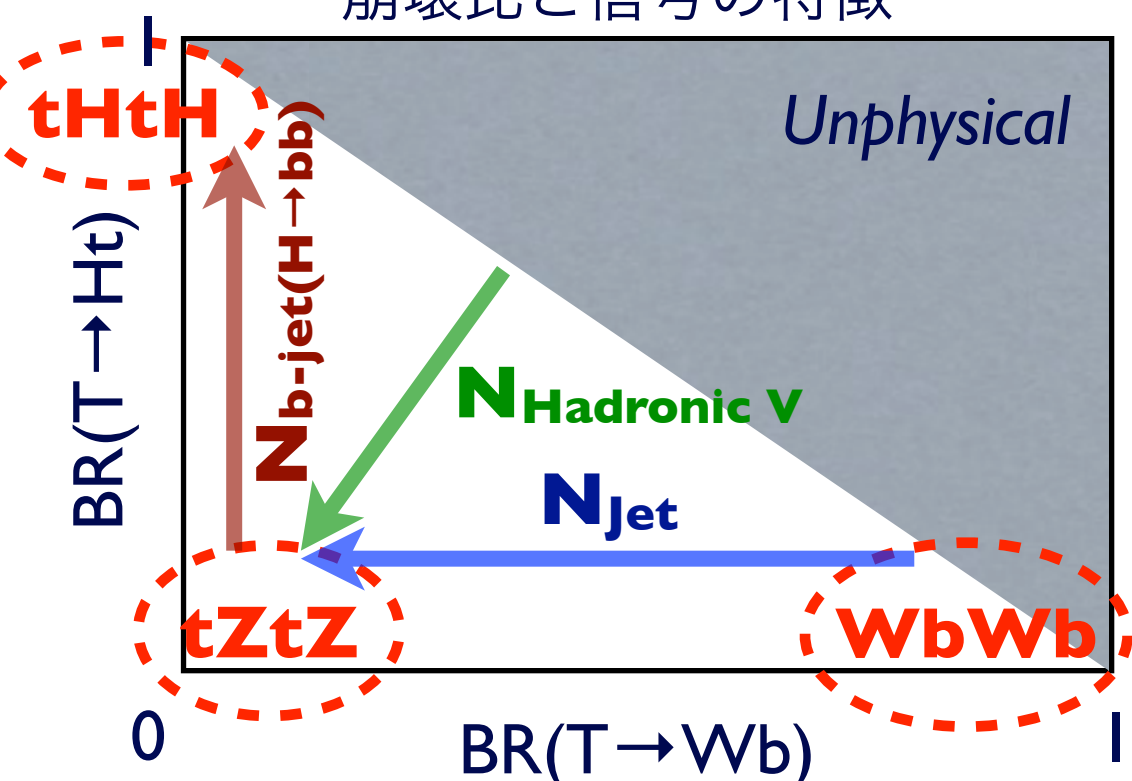
- ▶ 模型依存 ( $\leftarrow$  EW結合)

崩壊比の違いは終状態の違いでカバーする

Top partner(電荷+2/3)の崩壊比



崩壊比と信号の特徴



## ATLAS $t' \rightarrow Wb + X$ selection

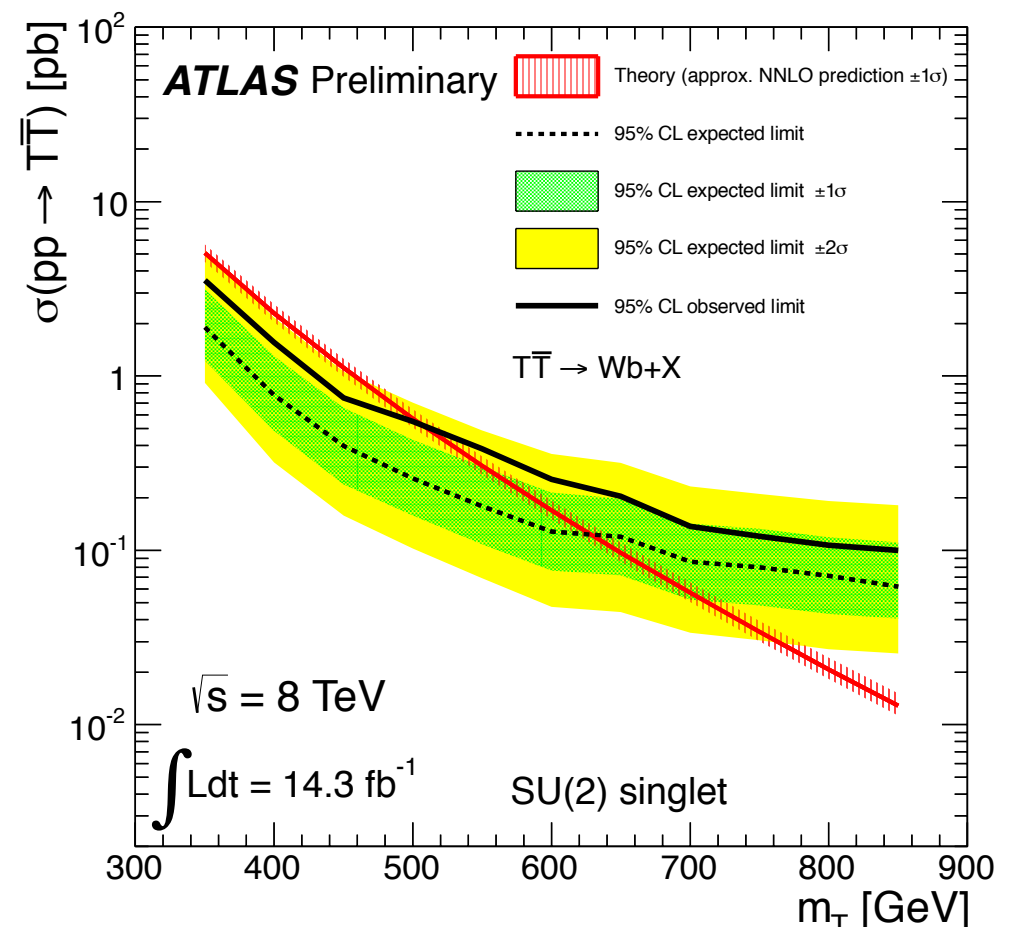
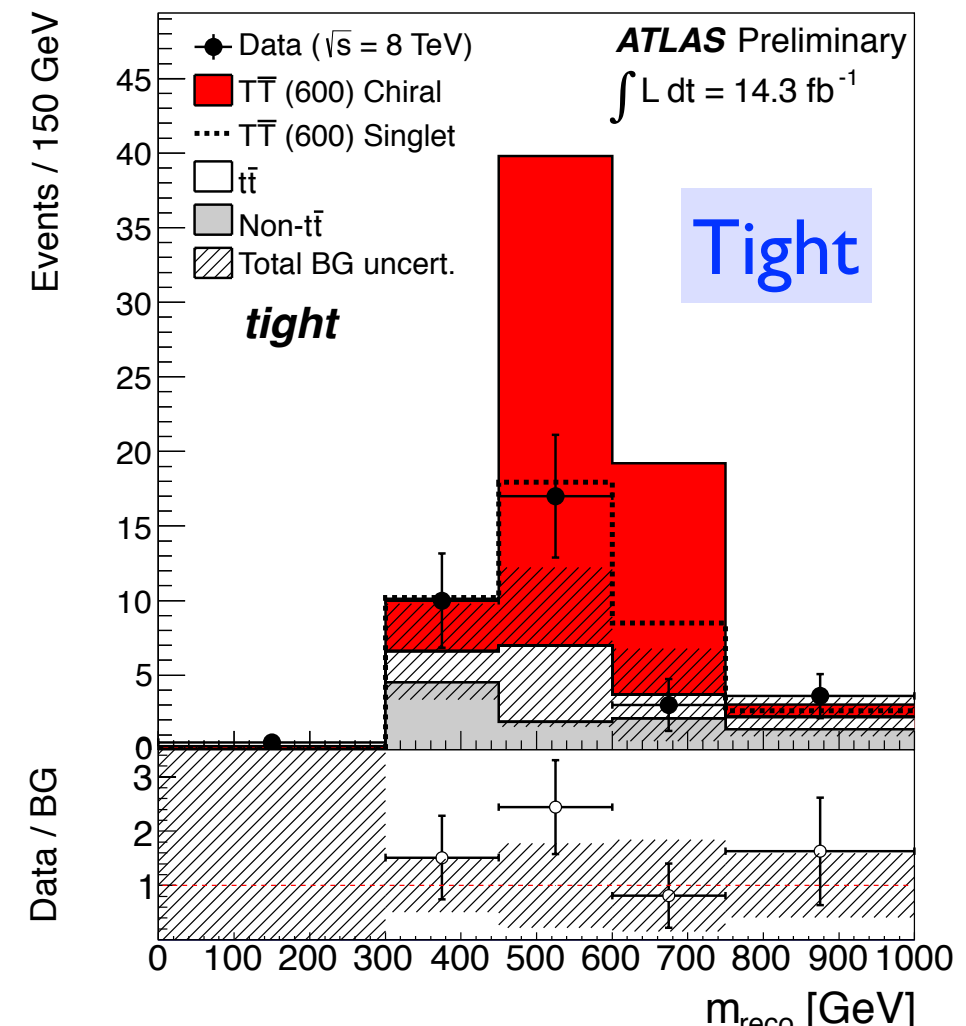
- ▶ 1 lepton  $p_T > 25$  GeV
- ▶  $\geq 4$  jets  $p_T > 25$  GeV ( $\geq 1$  b-tag)
- ▶  $E_T^{\text{miss}} > 20$  GeV,  $E_T^{\text{miss}} + M_T^W > 60$  GeV
- ▶ High- $p_T$  hadronic- $W$  jet (merged or resolved)

Require topology of boosted  $W$ -bosons

- $H_T = \sum p_T^{\text{lepton, jets}} + E_T^{\text{miss}} > 800$  GeV
- Two b-jet candidates  $p_T > 160, 80$  GeV
- $\Delta R(\text{lepton}, \nu) < 1.2$  → Loose selection
- $\min(\Delta R(W^{\text{had}}, \text{b-jet})) > 1.4$
- $\min(\Delta R(\text{lepton}, \text{b-jet})) > 1.4$  → Tight selection

SU(2) singlet  $t'$  (400-600 GeV)

$Wb$	$Zt$	$Ht$
~50%	15-20%	35-30%



# $b' \rightarrow Zb, t' \rightarrow Zt$

ATLAS-CONF-2013-056

## ATLAS Zb/Zt+X selection

- ▶  $\geq 1$  OS-SF pair leptons  $p_T > 25$  GeV
- ▶  $|M_{ll} - M_Z| < 15$  GeV
- ▶  $\geq 2$  jets  $p_T > 25$  GeV ( $\geq 2$  b-tags)
- ▶  $p_T^Z > 150$  GeV,  $H_T = \sum p_T^{\text{jets}} > 600$  GeV

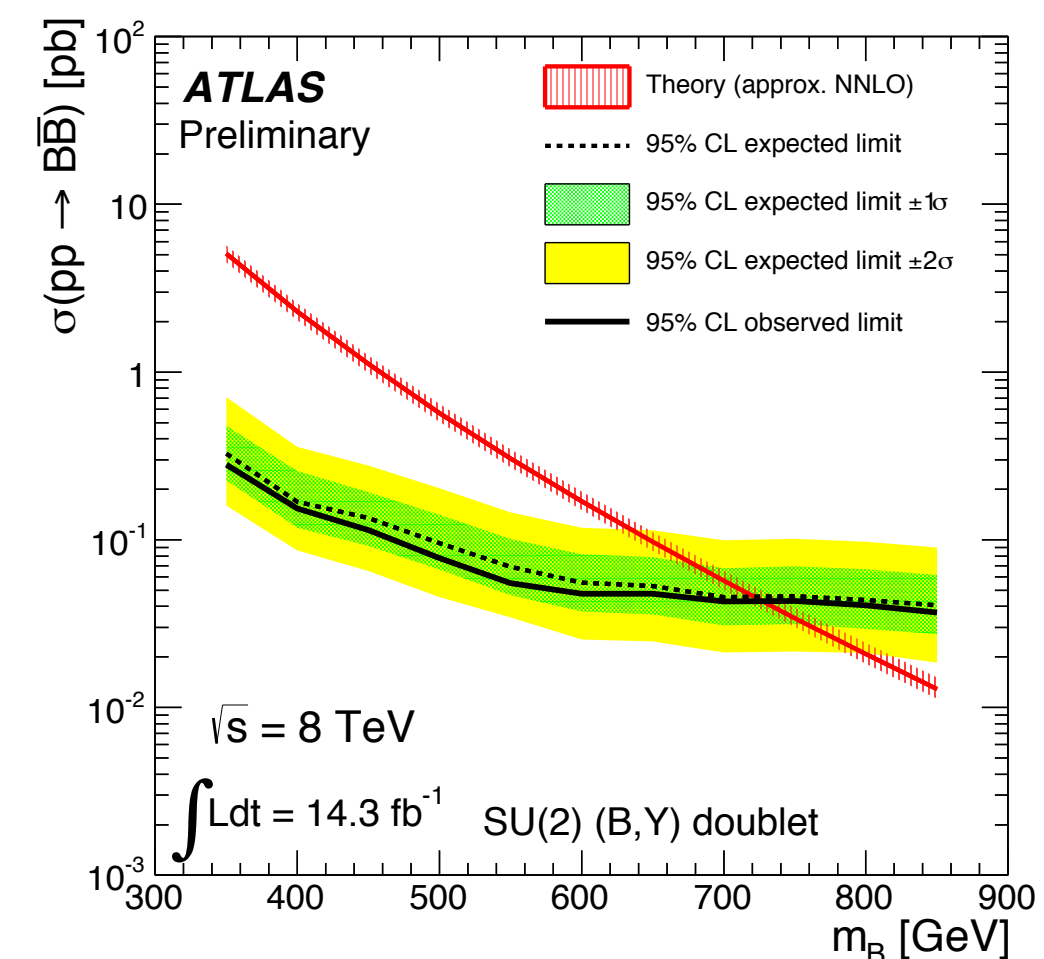
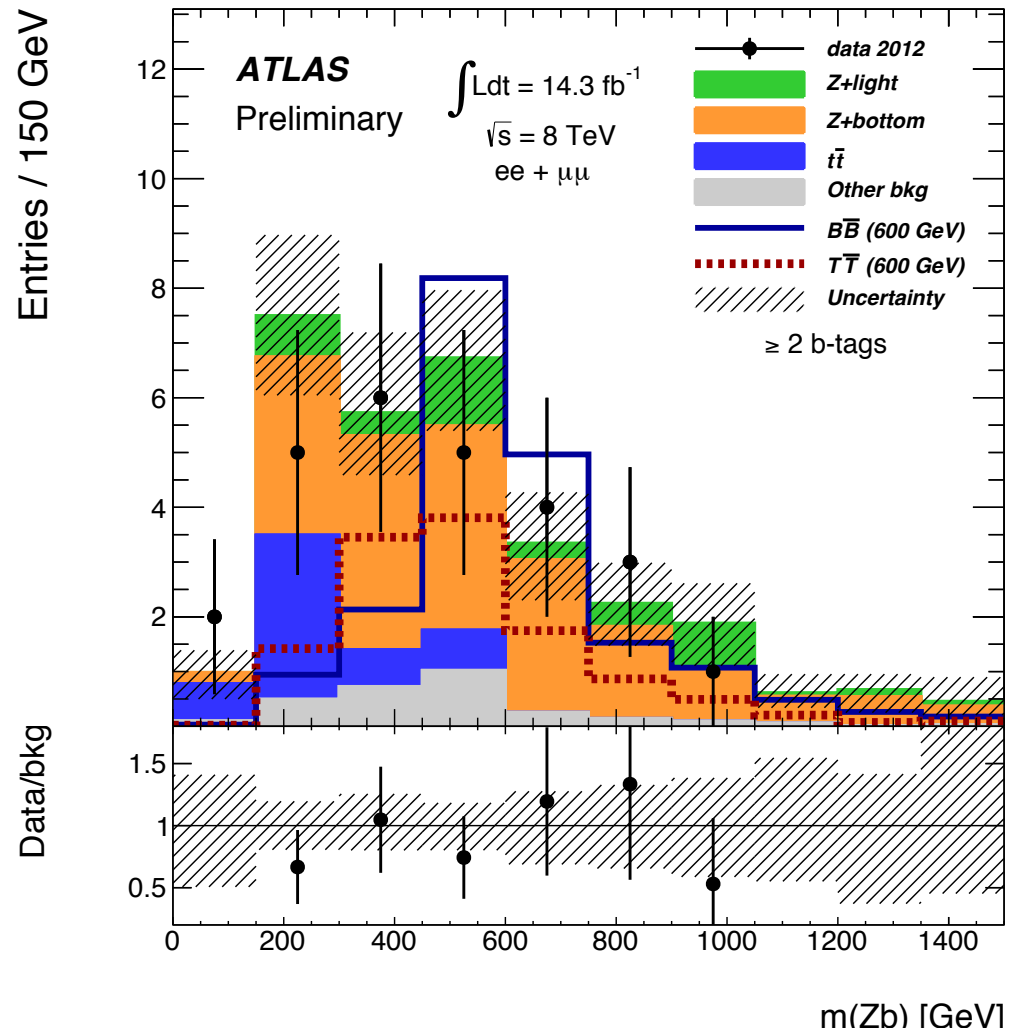
Use  $N_{\text{b-tag}} = 0$  or 1 as control regions to validate  $Z + \text{jets}$  background

- ▶ Normalization at  $p_T^Z < 100$  GeV at each  $N_{\text{b-tag}}$
- ▶  $p_T^Z$  dependence at  $N_{\text{b-tag}} = 1$

Invariant mass of  $Z + \text{leading b-jet}$  used as discriminant

→ ZbとZt( $\rightarrow bW$ )の両方を選別可能

SU(2) (B,Y) doublet (500-800 GeV)		
Wt	Zb	Hb
0%	55-50%	45-50%

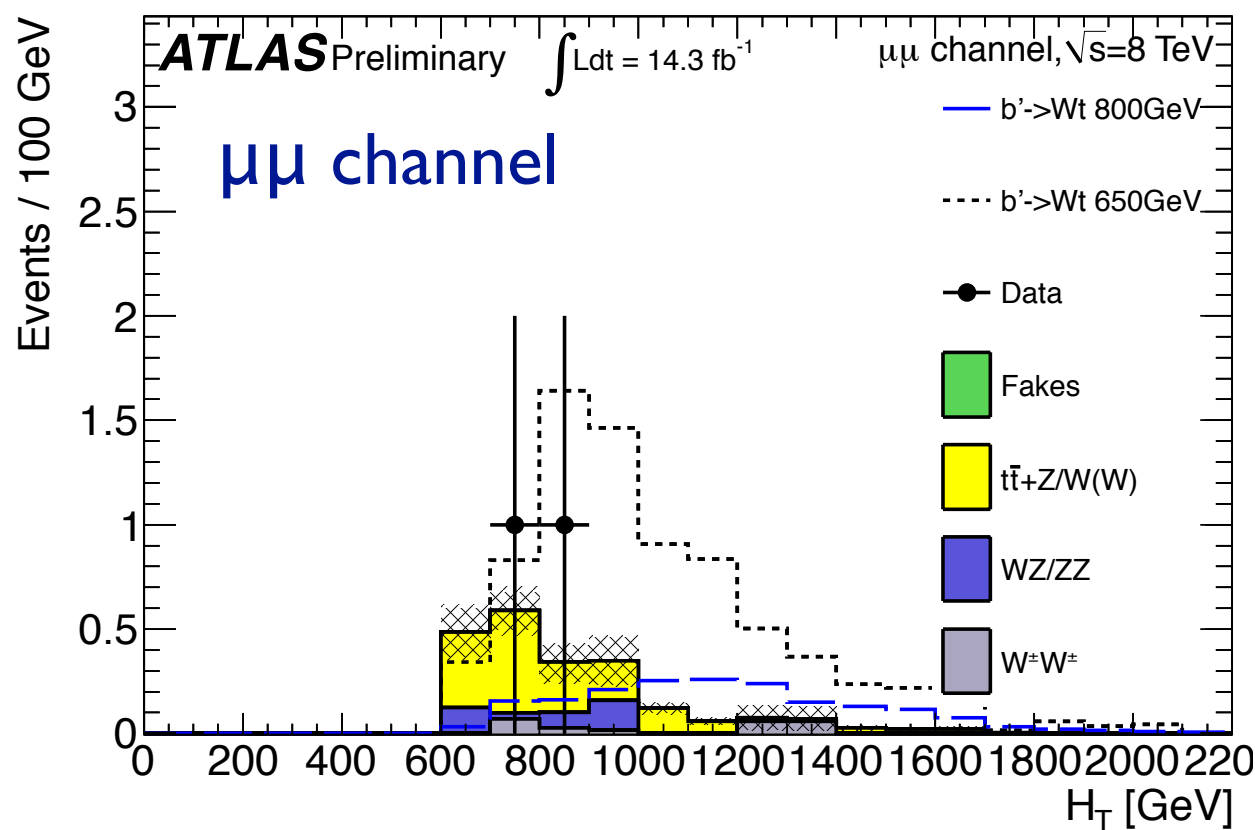


# b'/t' with SS Dilepton

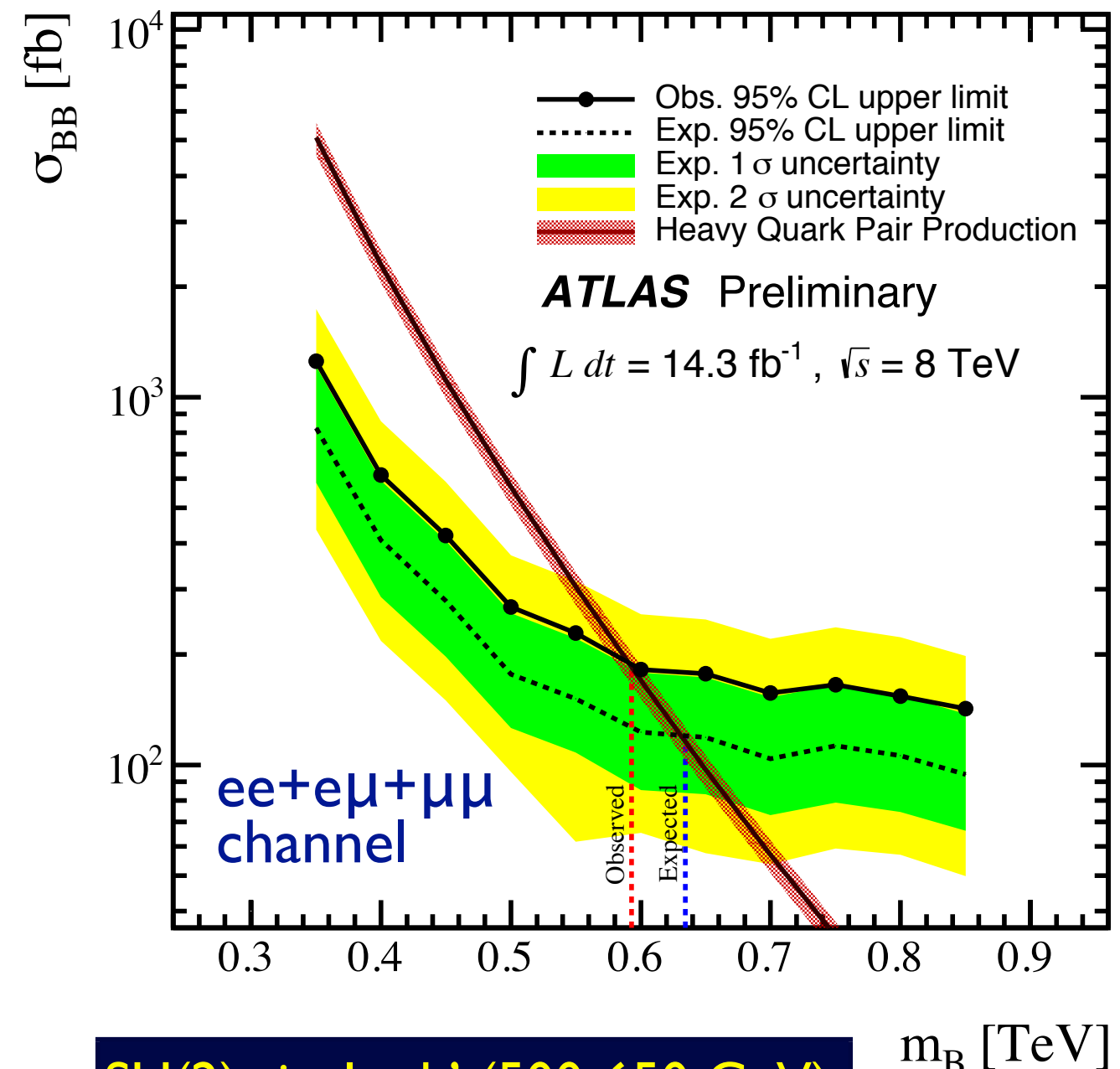
ATLAS-CONF-2013-051

## ATLAS b' $\rightarrow$ Wt, t' $\rightarrow$ Zt/Ht with SS dilepton selection

- ▶ 2 same-sign leptons  $p_T > 25$  GeV
- ▶  $\geq 2$  jets  $p_T > 25$  GeV ( $\geq 1$  or  $\geq 2$  b-tag)
- ▶  $E_T^{\text{miss}} > 40$  GeV
- ▶ SF pair :  $M_{ll} > 15$  GeV,  $|M_{ll} - M_Z| > 10$  GeV
- ▶  $H_T = \sum p_T^{\text{lepton,jet}} > 550\text{-}650$  GeV



- ▶ Charge misidentification, fake lepton background estimated from data
- ▶ Real SS dilepton events ( $t\bar{t}V$ , diboson) estimated from MC

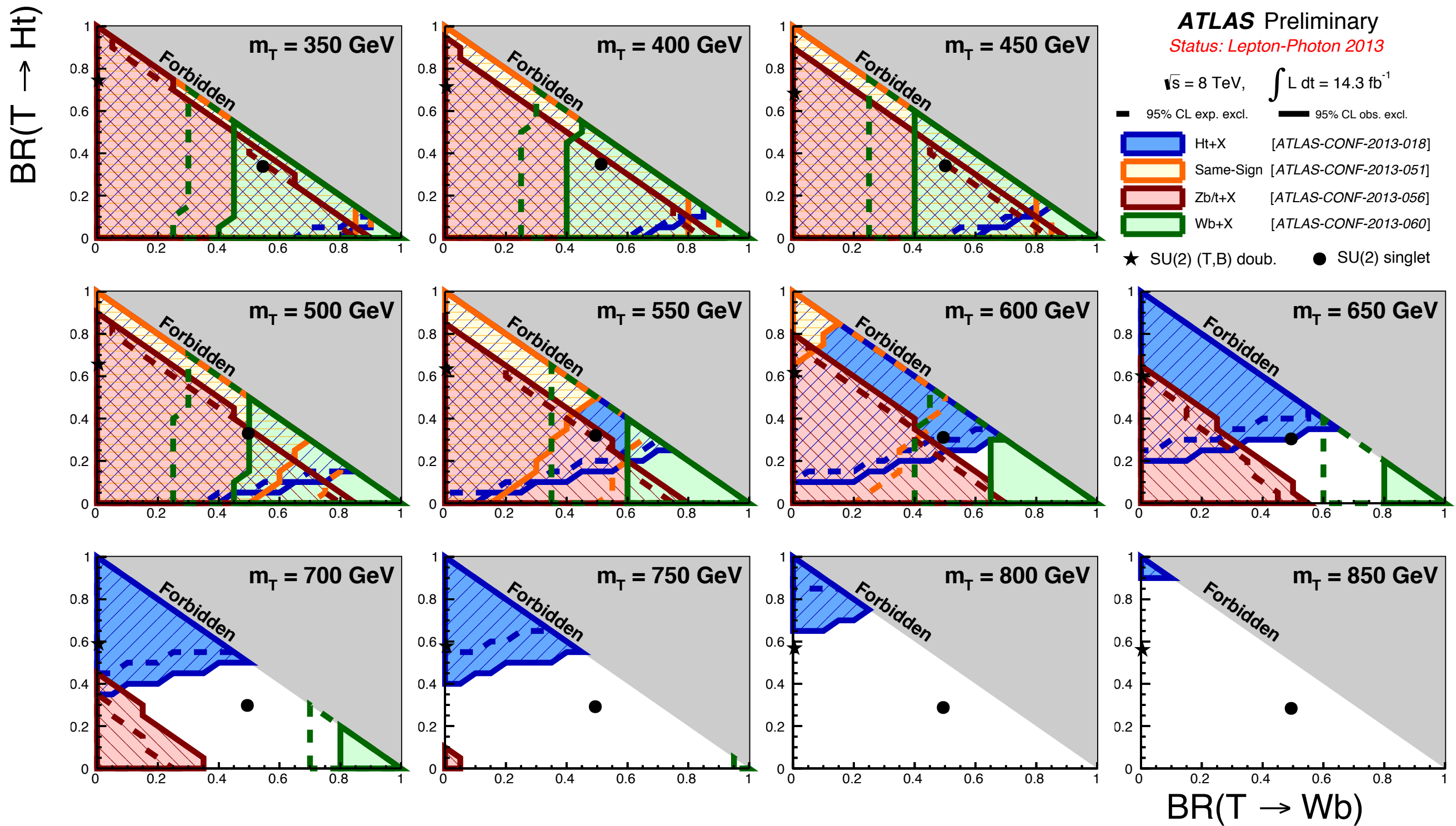


### SU(2) singlet b' (500-650 GeV)

Wt	Zb	Ht
42-45%	31-29%	27-26%

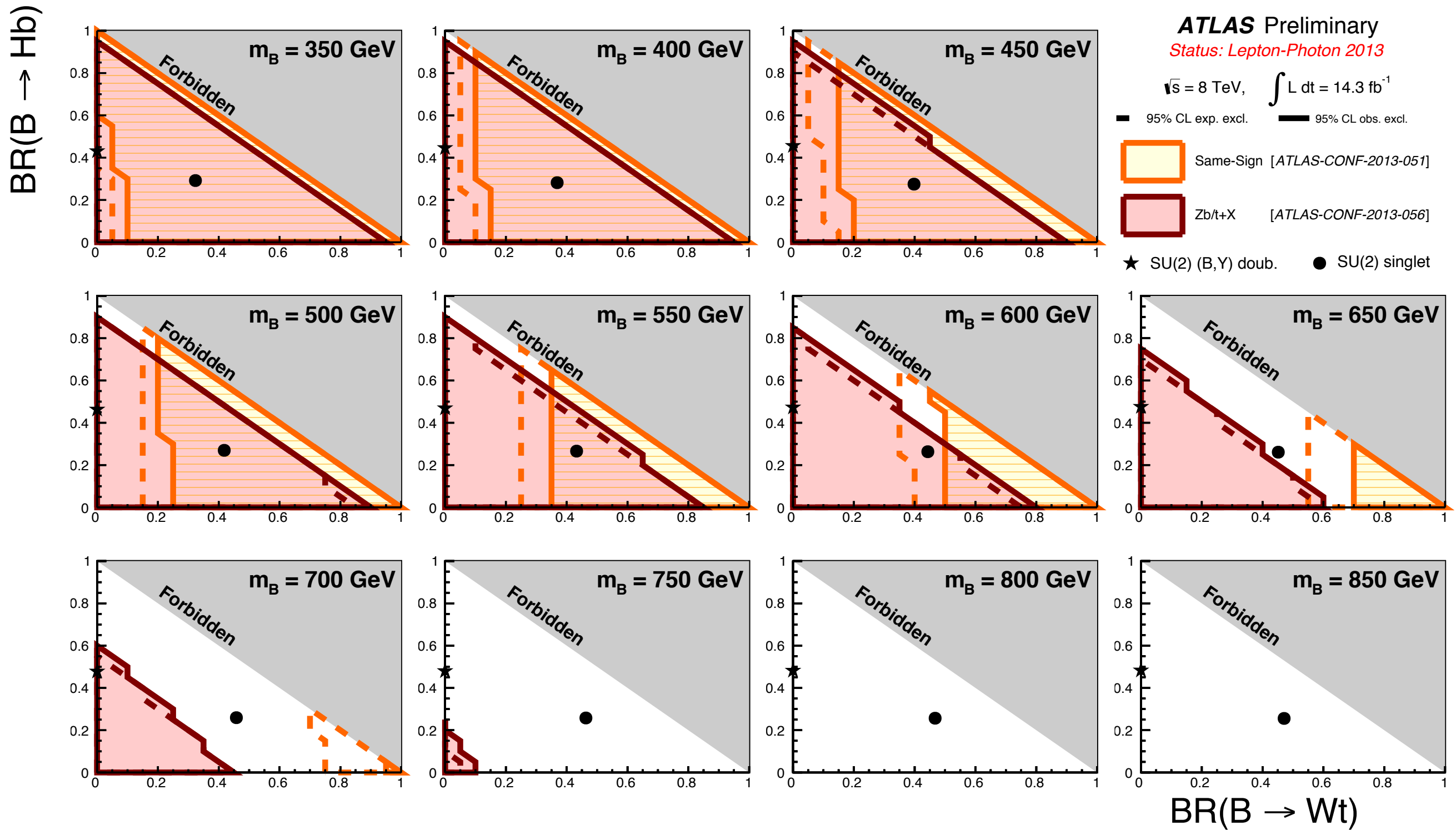
Limits also set for VLQ t'

# Top Partner : Summary



Top partner : ~600 GeVまではほぼ全てのBr領域で棄却  
→ より高い質量領域での探索 (单一生成での解析が進行中)

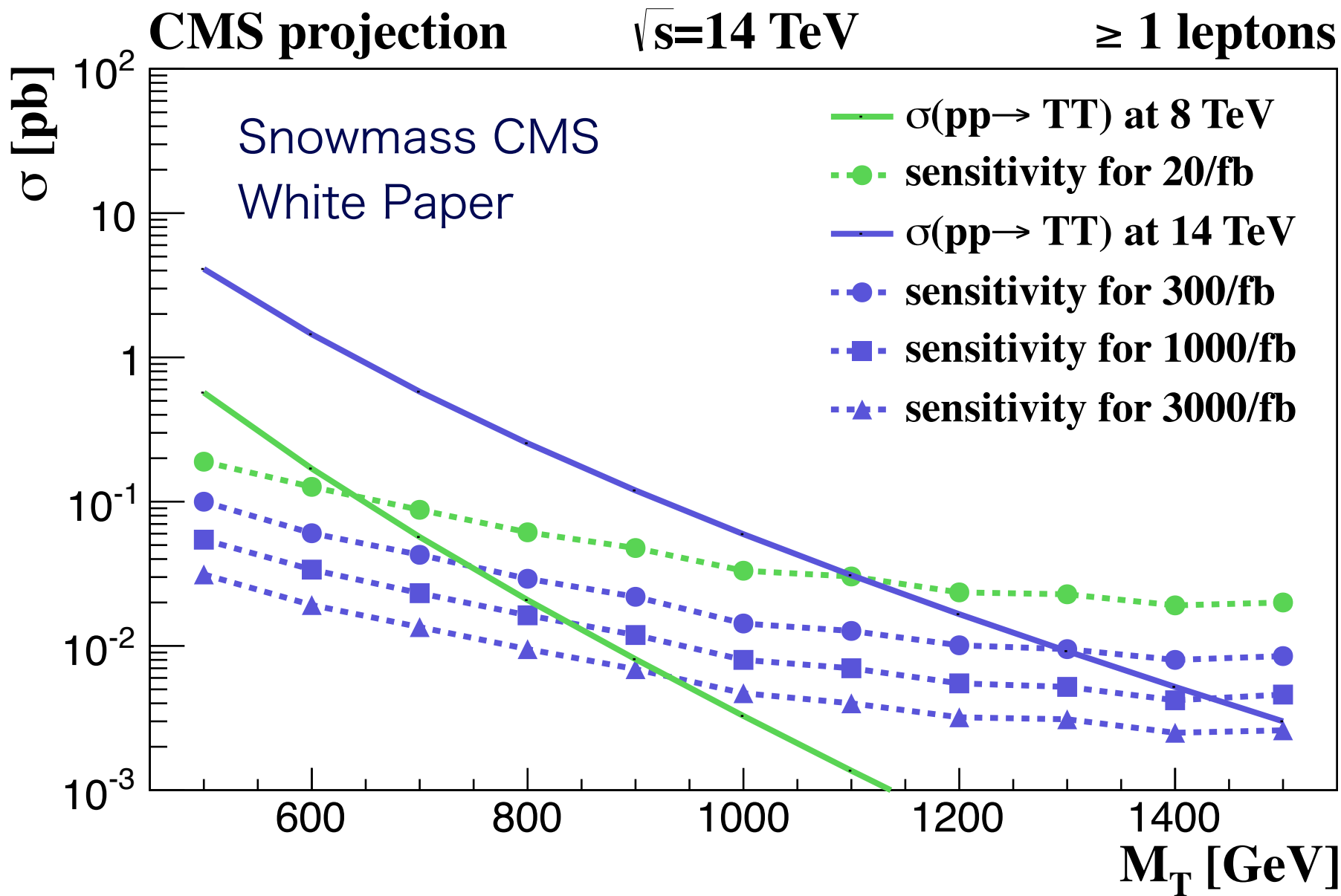
# Bottom Partner : Summary



Bottom partner : ~500 GeVまではほぼ全てのBr領域で棄却

## 14TeVでのTop partnerの発見感度

- ▶ 8TeV解析をルミノシティー・断面積比でスケール
- ▶ 10(50)% systematics for tt(all other)バックグラウンド
- ▶ SU(2) singlet : Wb/Zt/Ht = 50%/25%/25%



300(3000) $\text{fb}^{-1}$ で、~1.3(1.5)TeVまで発見可能

# Top

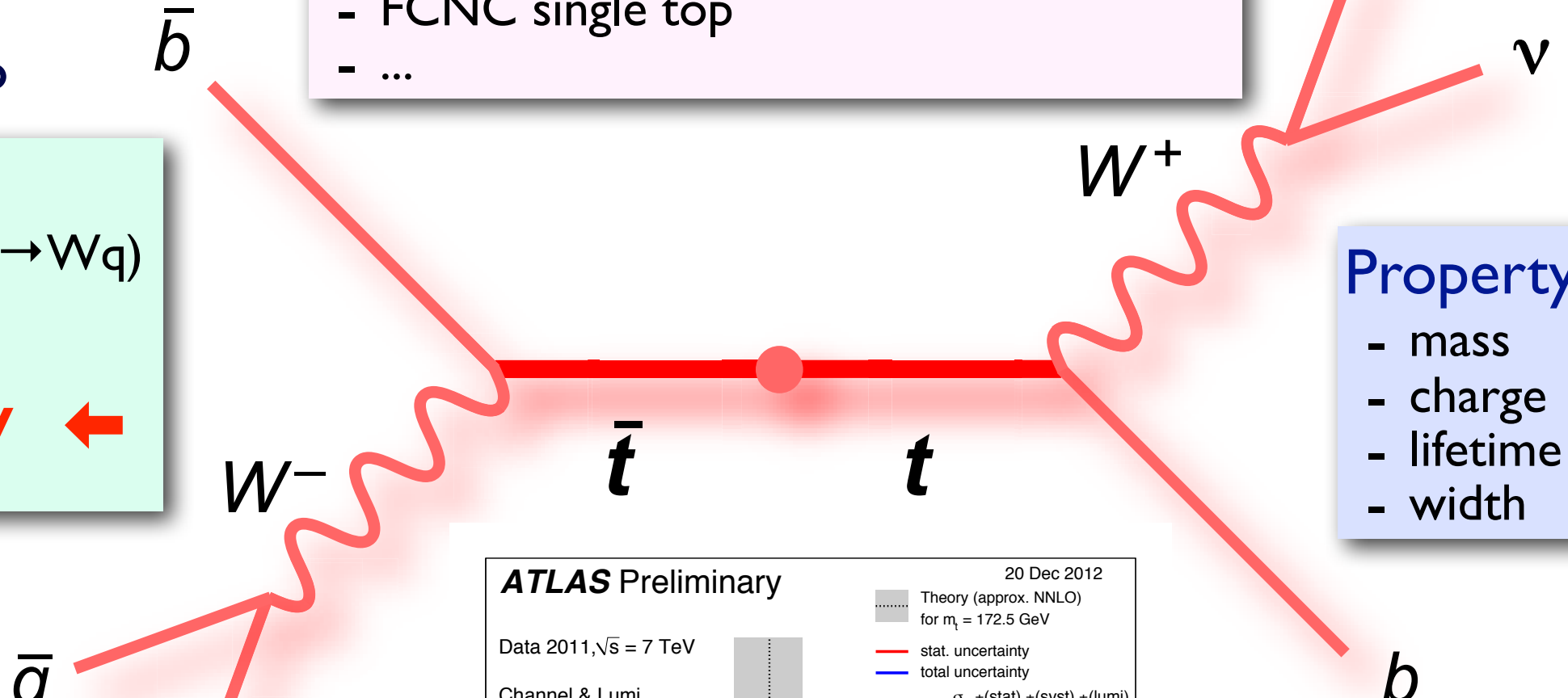
ちょっと寄り道。。。  
トップそのものの  
測定も面白い。

## Production

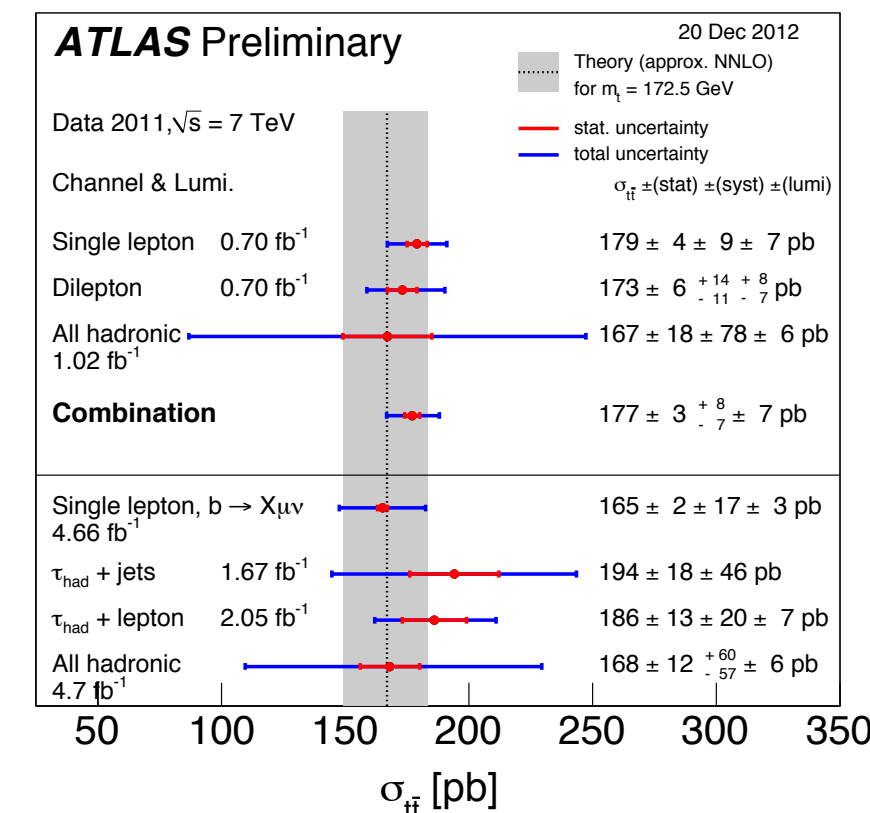
- cross section (total, **differential**) ←
- associated production
- asymmetries
- polarization
- spin correlation
- FCNC single top
- ...

**Decay**

- $\text{Br}(t \rightarrow Wb)/\text{Br}(t \rightarrow Wq)$
- $W$ -helicity
- $t \rightarrow H^+ + b$
- **FCNC decay** ←
- ...



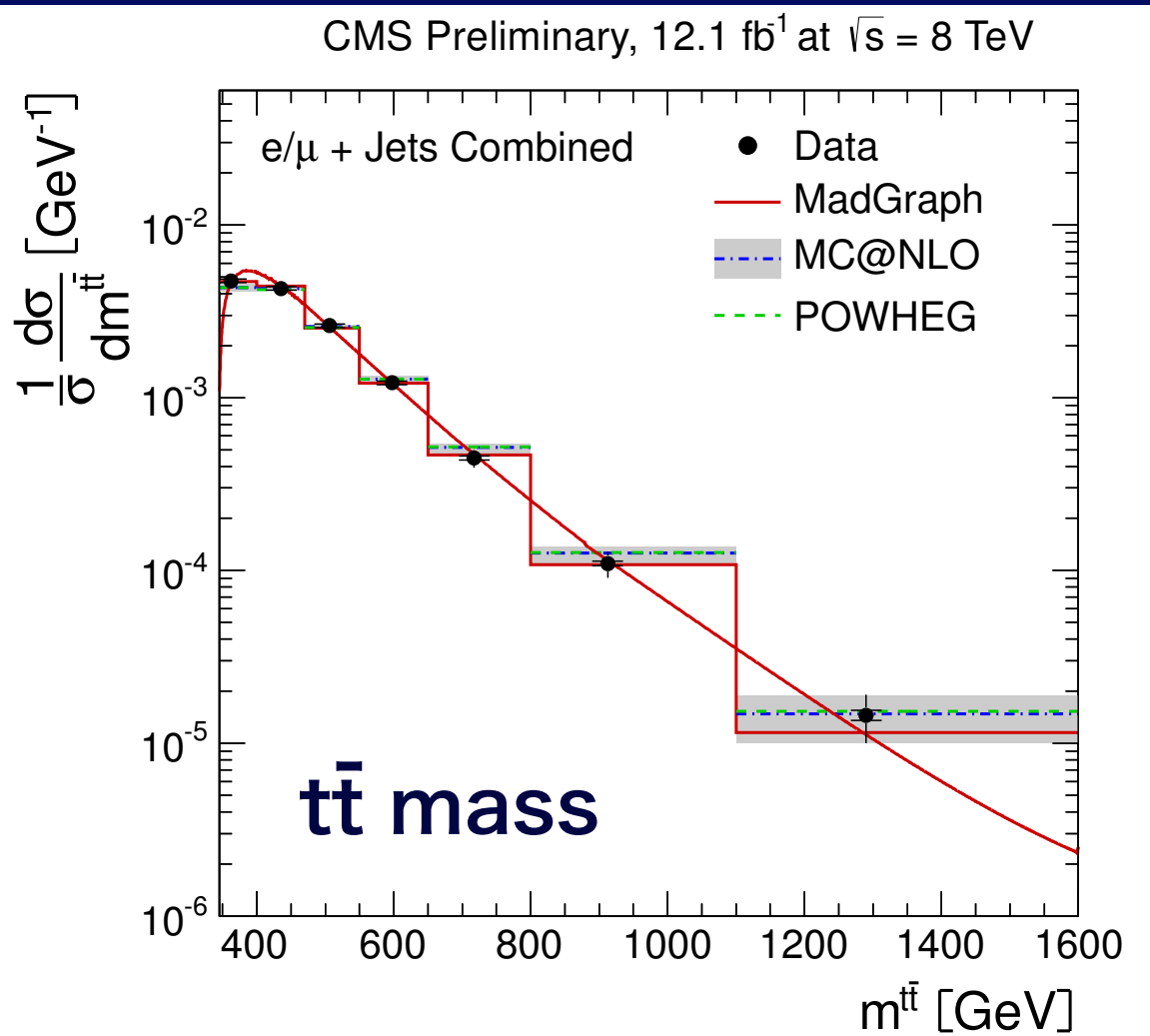
生成・崩壊・性質に標準模型  
からのずれはないか？



全断面積とNNLO  
QCD計算との比較  
→ 良い一致

# Differential Top Measurement

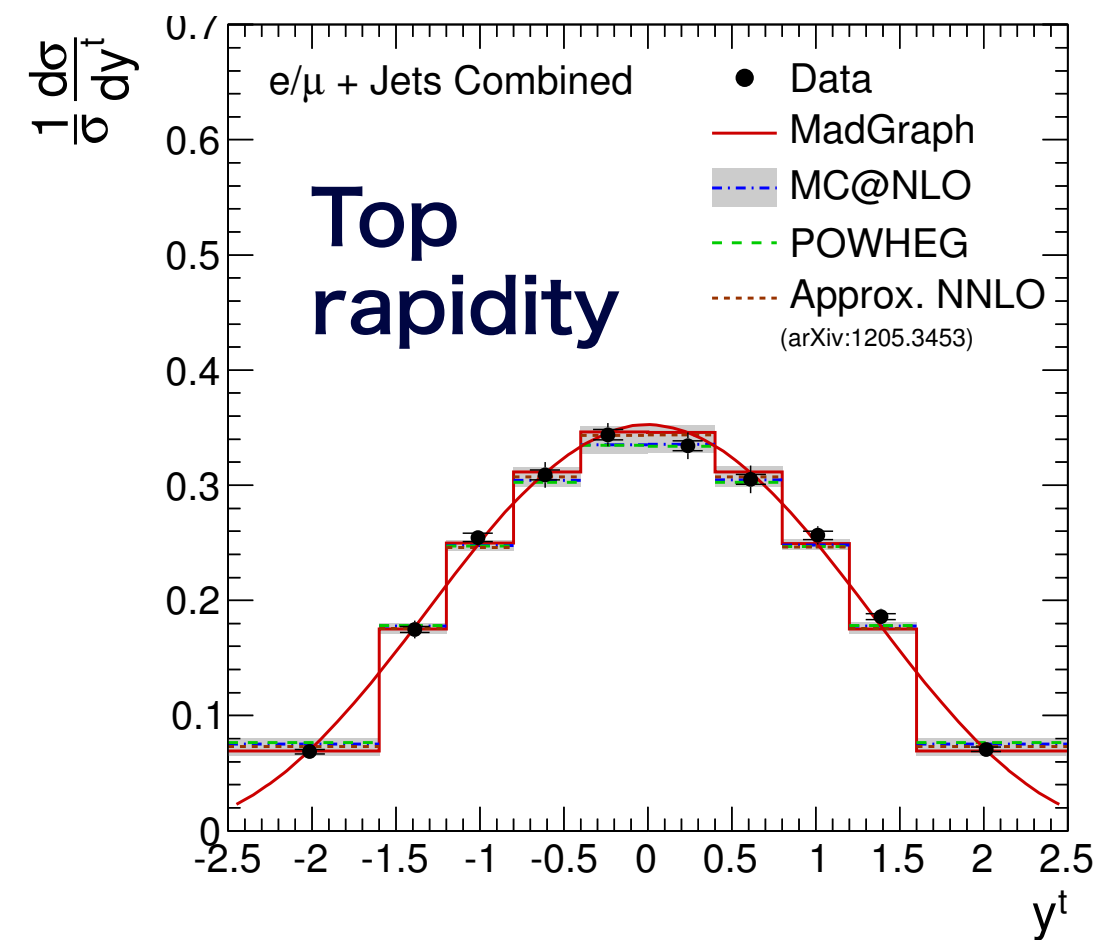
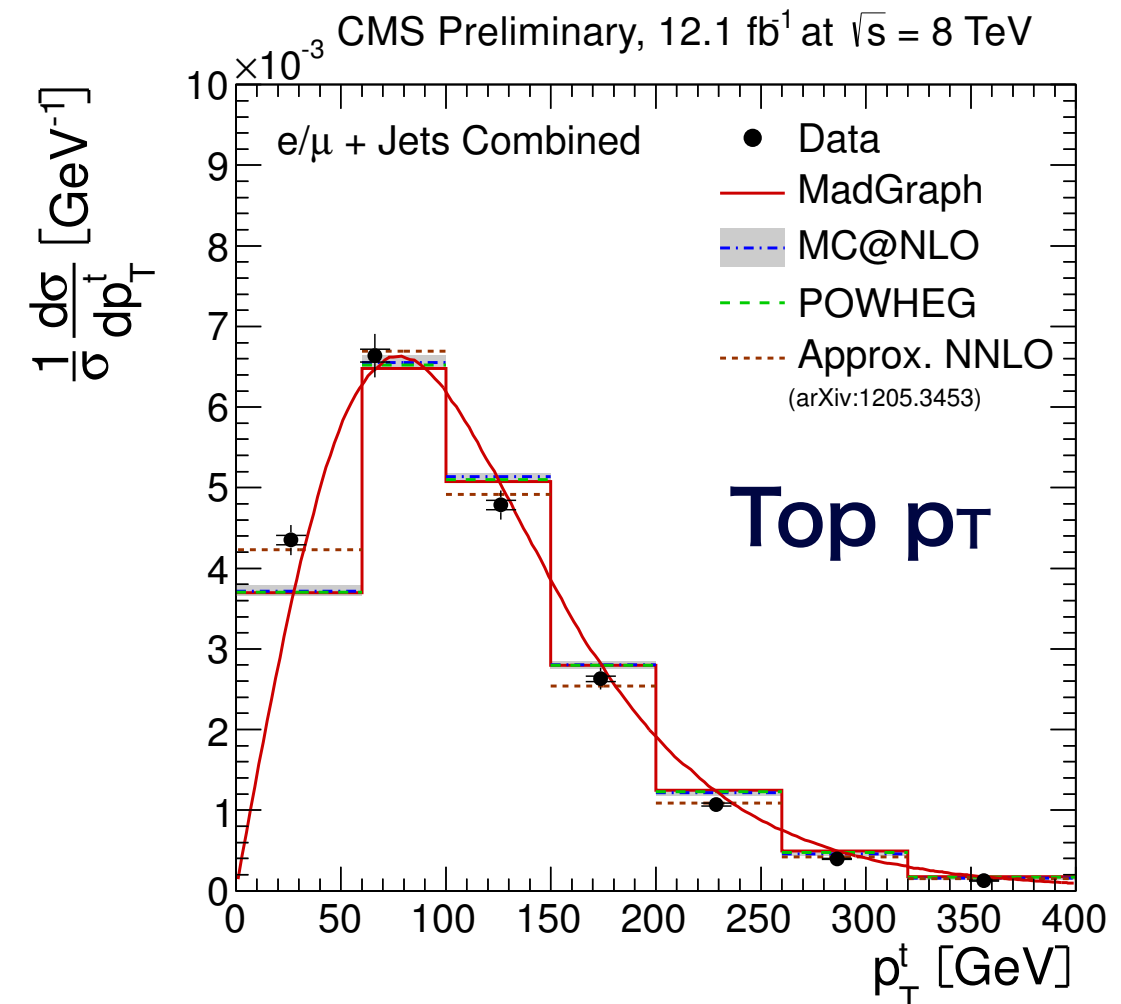
arXiv:1211.2220



近似NNLO計算はデータを良く再現する

$$\Delta_{\text{tot}} \left( \frac{1}{\sigma} \frac{d\sigma}{dm_{t\bar{t}}} \right) \sim 10\% \text{ (400GeV)} - 20\% \text{ (1TeV)}$$

→ 1TeV領域でも既に系統誤差がdominant  
もっと高精度の測定ができれば面白い。



# FCNC Top Decay

ATLAS-CONF-2013-081  
CMS PAS TOP-12-037

トップクォークのFCNC崩壊に  
新物理の兆候が現れないか？

- ▶ SM →  $\text{BR}(t \rightarrow cV) = 10^{-14}$
- ▶ 2HDM, MSSM, Top-color assisted TCなど →  $\text{BR}(t \rightarrow cV) = 10^{8-10} \times \text{BR}_{\text{SM}}$

現在の制限

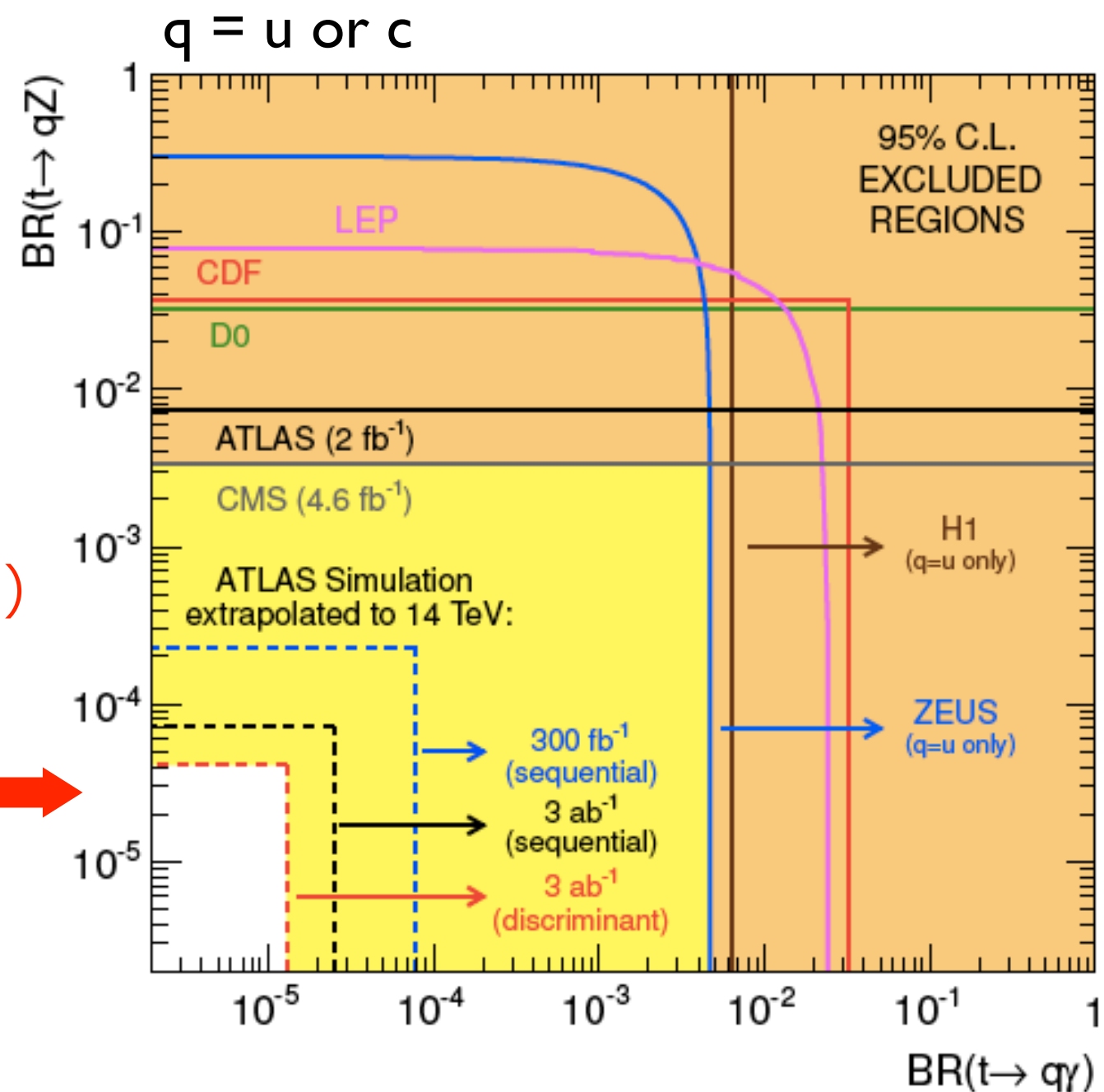
- ▶  $\text{BR}(t \rightarrow qZ) < 7 \times 10^{-4}$  (CMS,  $20 \text{ fb}^{-1}$ )
- ▶  $\text{BR}(t \rightarrow cH) < 8.3 \times 10^{-3}$  (ATLAS,  $20 \text{ fb}^{-1}$ )

$3000 \text{ fb}^{-1}$  (~500M  $t\bar{t} \rightarrow l+jets$  events!)  
で到達可能なBRの予想

- ▶  $\text{BR}(t \rightarrow c\gamma) \sim 10^{-5}$
- ▶  $\text{BR}(t \rightarrow cZ) \sim 5 \times 10^{-5}$

Snowmass ATLAS White Paper  
(arXiv:1307.7292)

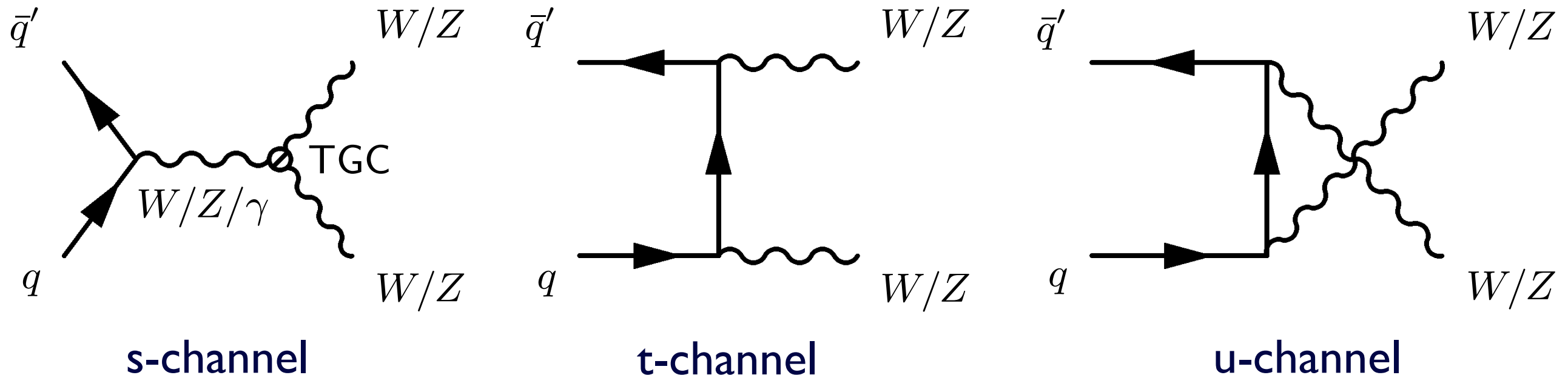
予想	SM	2HDM-III	MSSM	TC2
$t \rightarrow c\gamma$	$4.6 \times 10^{-14}$	$\sim 10^{-6}$	$2.0 \times 10^{-6}$	$\sim 10^{-6}$
$t \rightarrow cZ$	$1.0 \times 10^{-14}$	$\sim 10^{-7}$	$2.0 \times 10^{-6}$	$\sim 10^{-4}$
$t \rightarrow cH$	$3.0 \times 10^{-15}$	$\sim 10^{-3}$	$10^{-5}$	-



# Vector Boson Scattering

# Diboson Production

LO diagrams for  $WW/WZ/ZZ$  production

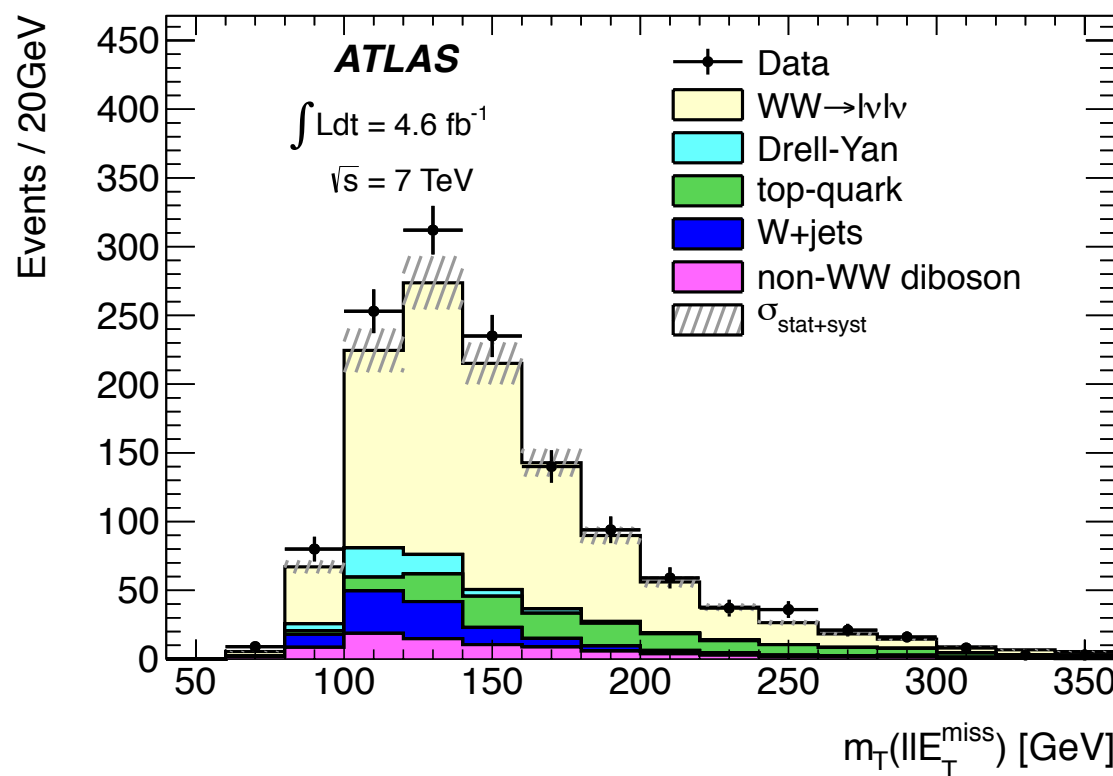


- ▶ SM生成過程の検証
  - ⇒ ヒッグス、BSM探索のバックグラウンド
- ▶ NLO計算 (MCFM with NLO PDF) との比較
- ▶ 3点ゲージ結合 (TGC) に対するプローブ
  - ⇒ 新物理からの寄与 → 異常3点ゲージ結合 (anomalous TGC)

# Diboson Measurement

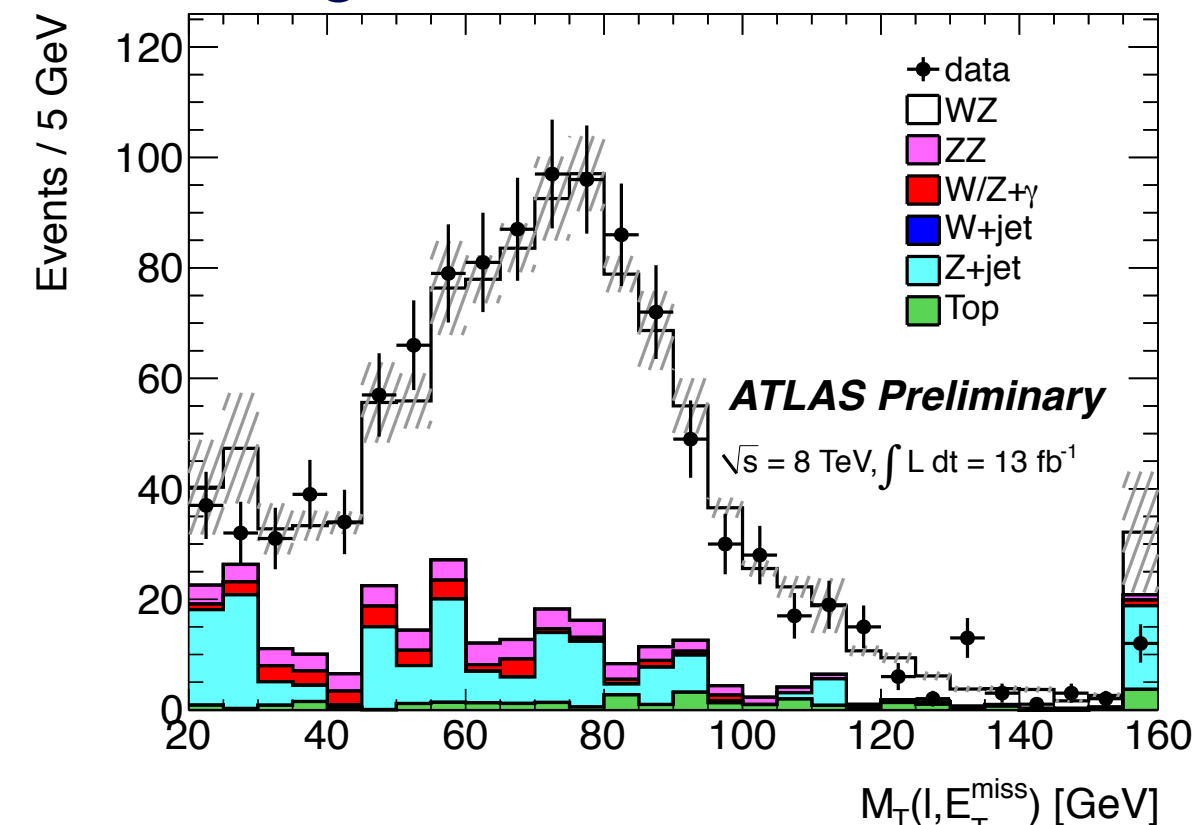
## WW selections

- ▶ Opposite-sign high-p<sub>T</sub> isolated leptons
- ▶ Large E<sub>T</sub><sup>miss</sup> (to suppress Z)
- ▶ Jet veto (to suppress tt)



## WZ selections

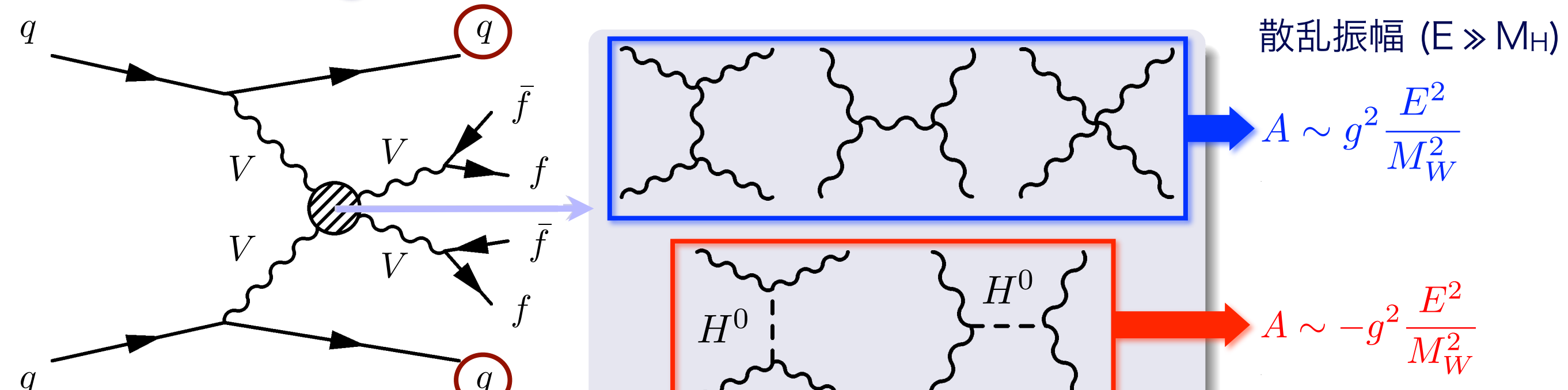
- ▶ 3 high-p<sub>T</sub> isolated leptons
- ▶ Opposite-sign leptons from Z
- ▶ 3rd lepton + E<sub>T</sub><sup>miss</sup> for W
- ▶ Large E<sub>T</sub><sup>miss</sup> and M<sub>T</sub><sup>W</sup>



Process	$\sqrt{s}$	$\sigma_{\text{meas}}$ [pb]	stat	syst	lumi	$\sigma_{\text{theory}}$ [pb]	Reference
WW	7 TeV	51.9	$\pm 2.0$	$\pm 3.9$	$\pm 2.0$	44.7 $^{+2.1}_{-1.9}$	PRD 87, 112001 (2013)
WZ	8 TeV	20.3	$+0.8$ $-0.7$	$+1.2$ $-1.1$	$+0.7$ $-0.6$	20.3 $\pm 0.8$	ATLAS-CONF-2013-021
ZZ	8 TeV	7.1	$+0.5$ $-0.4$	$\pm 0.3$	$\pm 0.2$	7.2 $^{+0.3}_{-0.2}$	ATLAS-CONF-2013-020

# Vector Boson Scattering (I)

## Longitudinal VBS → EWSBセクターの直接検証



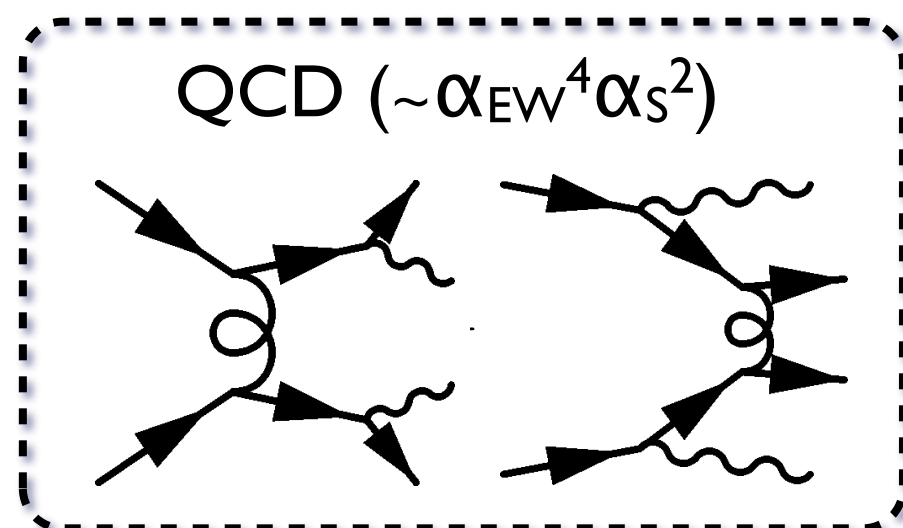
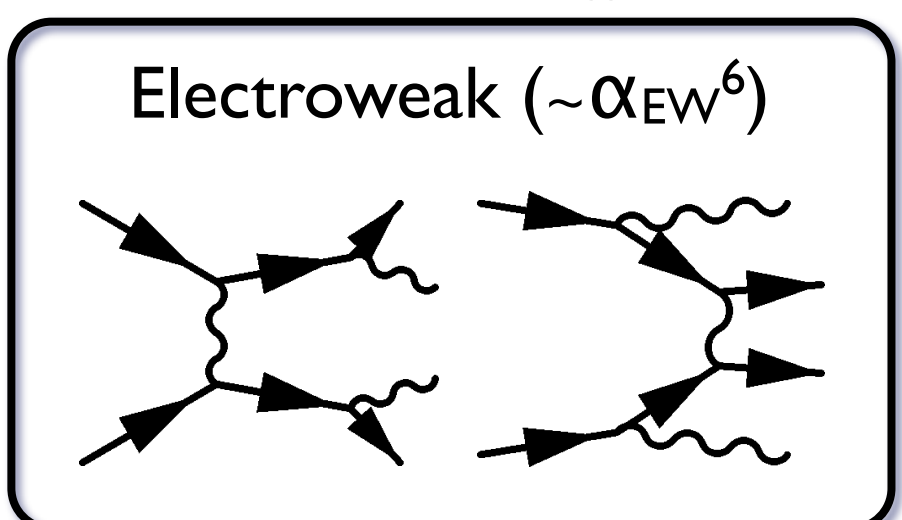
▶  $VV \rightarrow VV$  散乱

▶ 前後方へのクォーク  
由来ジェット

▶ 3点/4点ゲージ結合からの寄与

▶ ヒッグスの交換・生成過程

終状態に  $VV + jj$  を作る Non-VBS バックグラウンド過程



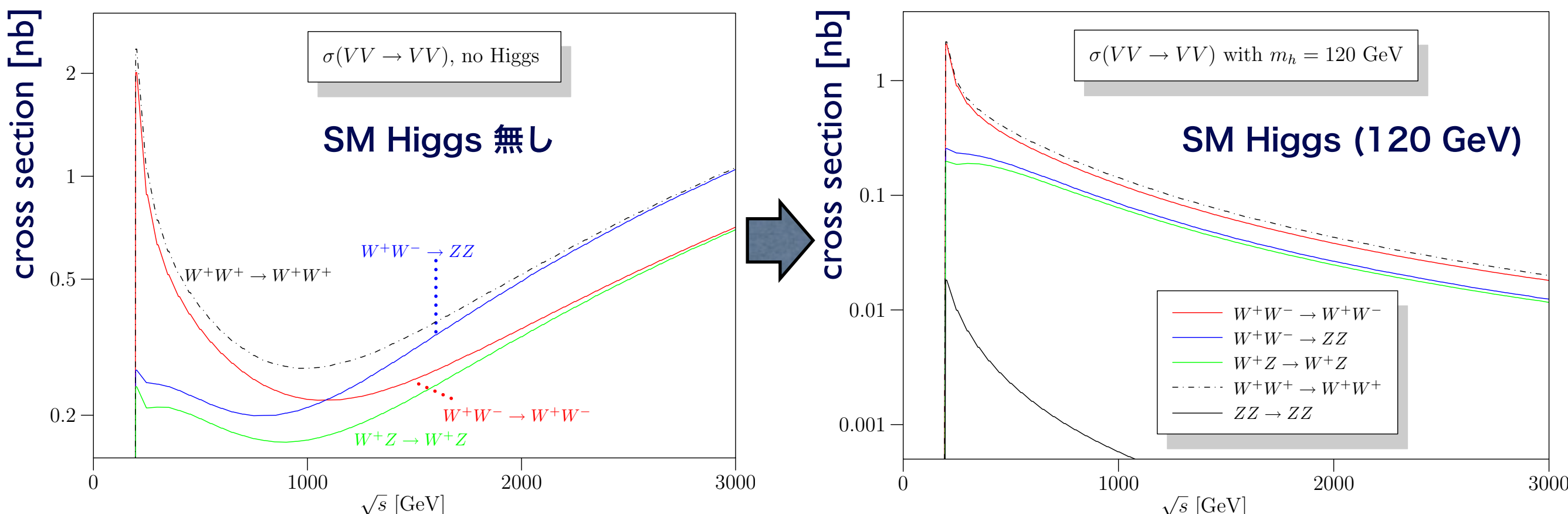
# Vector Boson Scattering (II)

arXiv:0806.4145

## Unitarity in VV scattering

- ▶  $V_L V_L$  scattering w/o a light SM Higgs  $\rightarrow$  Unitarity violation at  $\sqrt{s} \approx 1.2$  TeV
- ▶ Unitarity restored with a specific coupling to VV if only one resonance  
例) SM Higgs

$$A(W_L^+ W_L^- \rightarrow W_L^+ W_L^-) \approx \frac{1}{v^2} \left( s + t - \frac{s^2}{s - M_H^2} - \frac{t^2}{t - M_H^2} \right)$$



$\sigma_{VV \rightarrow VV}$  の  $\sqrt{s}$  依存性 ( $\sqrt{s} \gtrsim 1$  TeV) を検証する

# Vector Boson Scattering (III)

arXiv:0806.4145

- Unitarity also restored with a unique combination of couplings and resonances that plays a role of “SM Higgs”

例) Technicolor, 2HDM, ...

$$\sum_i g_{X_i WW}^2 = g_{H_{SM} WW}^2 = \left( \frac{2M_W^2}{v} \right)^2$$

新しい共鳴状態が現れる可能性？

	$J = 0$	$J = 1$	$J = 2$
$I = 0$	$\sigma^0$ (Higgs)	$\omega^0$ ( $\gamma'/Z'$ )	$f^0$ (Graviton?)
$I = 1$	$\pi^\pm, \pi^0$ (2HDM?)	$\rho^\pm, \rho^0$ ( $w'/Z'$ )	$a^\pm, a^0$
$I = 2$	$\phi^{\pm\pm}, \phi^\pm, \phi^0$ (Higgs triplet?)		$t^{\pm\pm}, t^\pm, t^0$

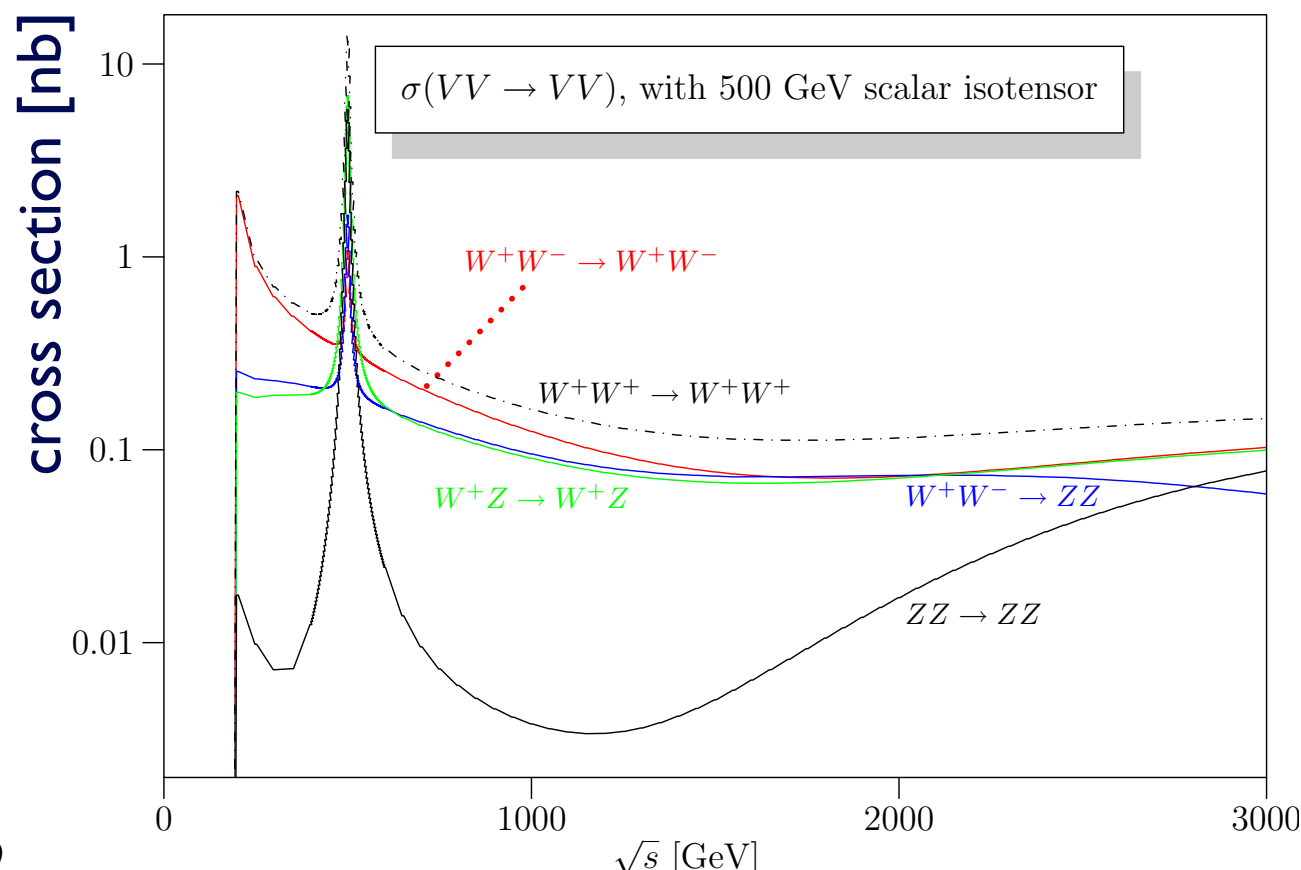
126GeV Higgsが非SM結合を持つと仮定

→ Unitarity結合を仮定した共鳴状態の質量制限？

126GeV HiggsがSM結合を持つと想定

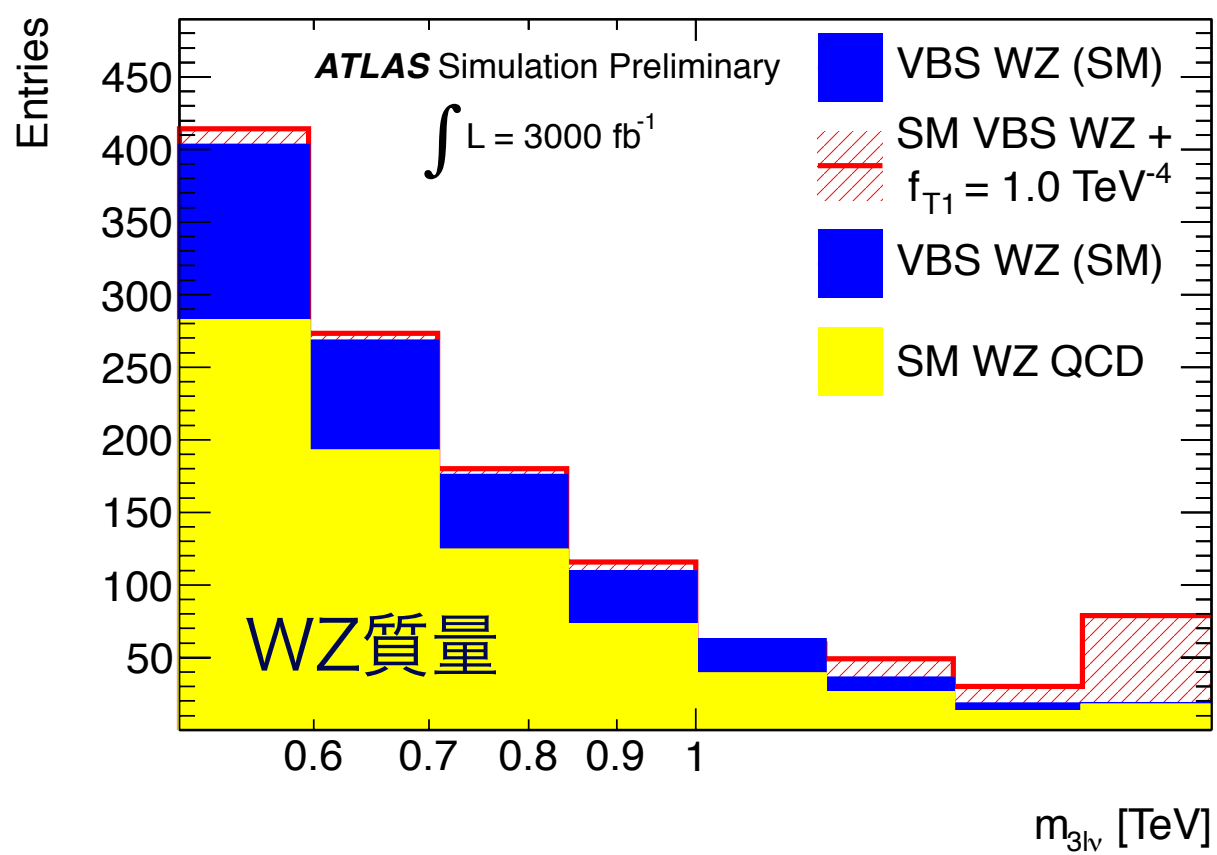
→ VV共鳴結合の制限 (質量の関数)？

$\sqrt{s}=14\text{TeV}$ でVV散乱への新物理の寄与は見えるか？

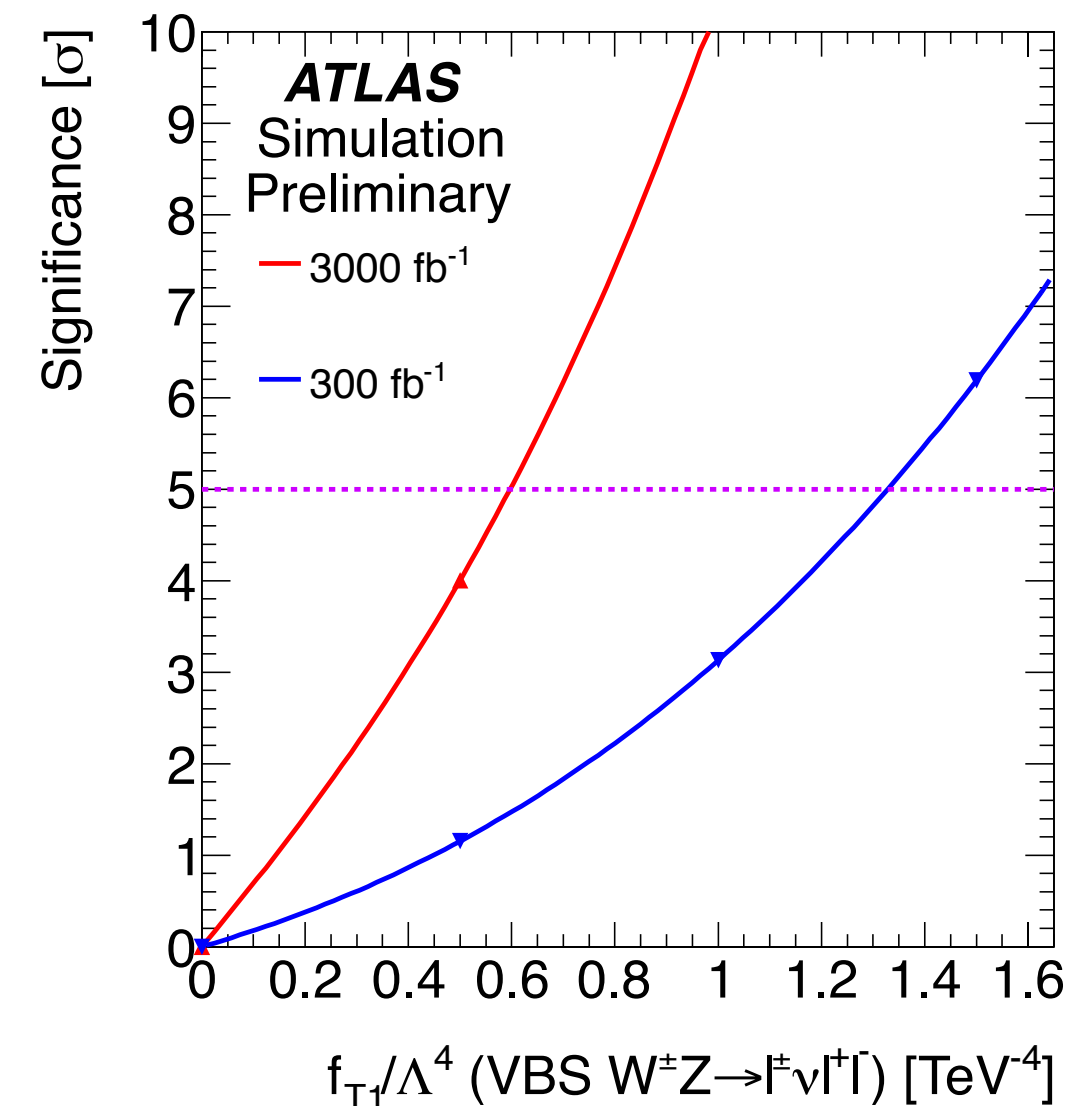


## WZ→3-lepton channel

- ▶ Exactly 3 high- $p_T$  leptons
- ▶ 1 OS-SF lepton pair forming  $Z$
- ▶  $\geq 2$  jets ( $p_T > 25$  GeV) with  $M_{jj} > 1$  TeV
  - Neutrino  $p_z$  using  $W$ -mass constraint from unpaired lepton
  - Small “fake” lepton background



~50 VBS WZ events ( $M_{WZ} > 1$  TeV)  
at  $3000 \text{ fb}^{-1}$



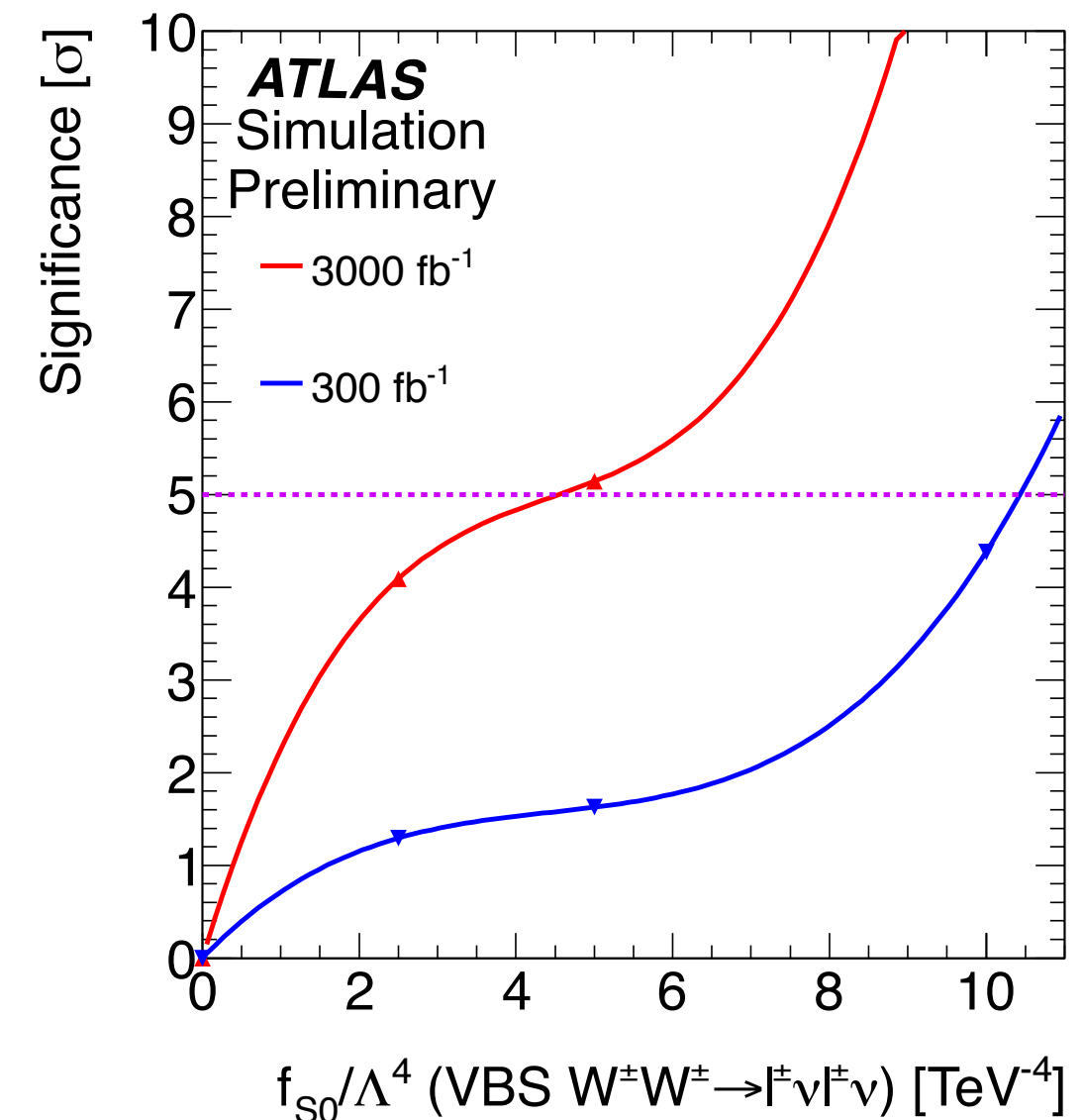
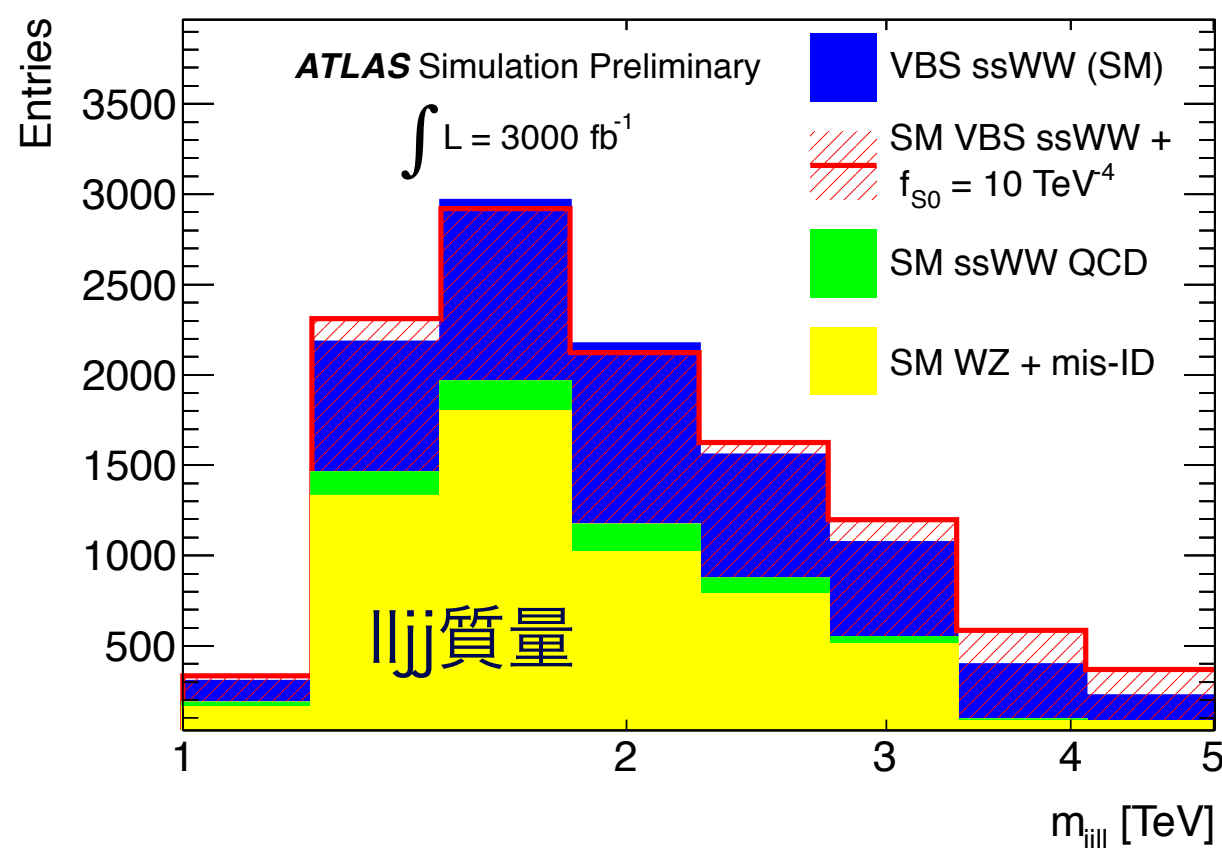
5 $\sigma$  discovery sensitivity for dim.-8 operator

$$\mathcal{L}_{T,1} = \frac{f_{T1}}{\Lambda^4} \text{Tr}[\hat{W}_{\alpha\nu} \hat{W}^{\mu\beta}] \times \text{Tr}[\hat{W}_{\mu\beta} \hat{W}^{\alpha\nu}]$$

	$300 \text{ fb}^{-1}$	$3000 \text{ fb}^{-1}$
$f_{T1}/\Lambda^4$	$1.3 \text{ TeV}^{-4}$	$0.6 \text{ TeV}^{-4}$

## Same-sign WW $\rightarrow$ 2-lepton channel

- ▶ Exactly 2 high- $p_T$  same-sign leptons
- ▶  $\geq 2$  jets ( $p_T > 50$  GeV) with  $M_{jj} > 1$  TeV
- Same-sign QCD ( $\sim \alpha_{EW}^4 \alpha_s^2$ ) WW process estimated from MadGraph
- “Fake” lepton and charge flip background estimated by scaling WZ background (based on 8 TeV analysis)



5 $\sigma$  discovery sensitivity for dim.-8 operator

$$\mathcal{L}_{S,0} = \frac{f_{S0}}{\Lambda^4} [(D_\mu \phi)^\dagger D_\nu \phi] \times [(D^\mu \phi)^\dagger D^\nu \phi]$$

	$300 \text{ fb}^{-1}$	$3000 \text{ fb}^{-1}$
$f_{S0}/\Lambda^4$	$10 \text{ TeV}^{-4}$	$4.5 \text{ TeV}^{-4}$

# Summary

## Resonance ( $W'$ , $Z'$ , $\rho$ , $g^{KK}$ )

- ▶ 多くの終状態で、質量にして約2TeVの制限がついている
- ▶ 14TeV (3000  $\text{fb}^{-1}$ ) では5-7TeV程度まで発見/棄却可能
  - 直接探索の限界に近づく? ( $\rightarrow$  HE-LHC?)
  - 正直な話、それまでに何か見つかっていて欲しい。。。

## Vector-like Quark

- ▶ 約600GeV程度までは、Brに関わらず棄却 (トップパートナー)
- ▶ 単一生成過程でどこまで制限を伸ばせるか?
- ▶ 14TeV (3000  $\text{fb}^{-1}$ ) では1.5TeV程度まで発見が可能

## Vector Boson Scattering

- ▶ 8TeVではEW VBS VVjj過程 (特に $W^\pm W^\pm$ ) の観測が限度
- ▶ 14TeVでどこまで  $\sigma_{VV \rightarrow VV(\sqrt{s})}$  を測定できるかはこれからの研究したい